

Effets de structure dans la diffusion des ions lourds

Thèse de Doctorat présentée par

Mohamed El Djalil KADI-HANIFI

TABLE DES MATIÈRES

1 . Introduction.	1
2 . Le Potentiel optique.	7
2.1 . La théorie de Feshbach.	7
2.2 . Modélisations de la théorie de Feshbach.	10
2.2.1 . Modèles phénoménologiques et semiphénoménologiques.	11
2.2.2 . Modèle de l'approximation de fermeture.	14
2.2.3 . Troncation des états dans le calcul du potentiel optique.	21
3 . Absorption au voisinage de la barrière.	29
3.1 . Données expérimentales.	29
3.2 . Analyse semiphénoménologique.	32
3.2.1 . Distributions angulaires et potentiels.	35
3.2.2 . Distributions radiales de l'absorption.	44
3.2.3 . Distributions de spin de l'absorption.	49
3.3 . Analyse avec le potentiel de Feshbach.	51
3.3.1 . Distributions angulaires et potentiels.	54
3.3.2 . Distributions radiales de l'absorption.	64
3.3.3 . Distributions de spin de l'absorption.	66
4 . Effets collectifs aux hautes énergies.	69
4.1 . Analyse de la diffusion élastique $^{16}O + ^{208}Pb$	70
4.2 . Dépendance de l'énergie du potentiel réel.	74
4.3 . Calculs microscopiques.	79
4.3.1 . Potentiel imaginaire.	79
4.3.2 . Diffusion élastique $^{16}O + ^{208}Pb$	81
5 . Considérations finales.	87

5.1 . Résultats et conclusions.	87
5.2 . Perspectives futures.	90
Références.	93
Annexe.	101

Chapitre 1

INTRODUCTION

La recherche de la solution exacte du problème posé par la collision de deux noyaux exige la résolution d'un système d'équations couplées dont le nombre et la complexité augmentent avec l'énergie de la collision. Cela est dû à l'accroissement rapide du nombre de canaux de réaction énergétiquement accessibles, à travers lesquels le système peut évoluer. Une solution alternative, formellement équivalente, a été proposée par Feshbach, (**FE58**), (**FE62**), et peut être obtenue par l'analyse de la voie élastique en introduisant dans sa description un opérateur complexe appelé potentiel optique, qui simule les effets de toutes les voies explicitement exclues. La partie réelle du potentiel optique contient deux termes : le premier, qui est local et indépendant de l'énergie décrit la diffusion élastique directe, tandis que le second terme, ou terme de polarisation, qui est non local et dépendant de l'énergie, rend compte de la contribution des différents états du système comme voies intermédiaires d'accès au canal élastique. Le terme d'absorption du potentiel qui est non local, et dépendant de l'énergie, décrit toutes les voies qui ont été explicitement ignorées, car ouvertes, et qui, par conséquent diminuent le flux de la voie élastique. Entre les termes non locaux de polarisation et d'absorption existe une relation de dispersion indiquant leur origine commune. Étant donné qu'habituellement, dans les calculs de diffusion élastique, on utilise des potentiels locaux, il est possible d'éliminer la non localité en la transformant en une dépendance énergétique additionnelle. Cette transformation est responsable du fait que la relation de dispersion ne soit pas satisfaite, en général, entre potentiels locaux. Cependant, sous certaines conditions qui affectent le caractère hermitique du propagateur et le type de localisation, il a été démontré que la relation de dispersion entre potentiels locaux est analytique (**PA91**). La forme la plus simple d'évaluer les termes locaux du potentiel est basée sur l'utilisation de potentiels phénoménologiques qui se caractérisent par des facteurs de forme très divers (**HO63**). Parmis les nombreux facteurs de forme existants, celui de Woods-Saxon s'est avéré être

particulièrement utile. Cependant, bien qu'avec ces potentiels il soit possible d'ajuster les données expérimentales de diffusion élastique de manière adéquate dans la majorité des cas, la paramétrisation phénoménologique est loin d'être complètement satisfaisante à cause de l'existence d'ambigüités dans les paramètres du potentiel optique qui rendent toute conclusion physique difficile.

L'utilisation de la méthode de la double convolution entre les densités des noyaux en interaction dans leurs états fondamentaux et une interaction effective obtenue sur des bases physiques a été une avancée importante, en ce sens qu'elle a permis de minimiser les ambiguïtés. En particulier, l'usage de l'interaction M3Y (**BE77**) a permis d'obtenir un potentiel réel, indépendant de l'énergie, qui, complété par un terme d'absorption du type Woods-Saxon, a été utilisé avec beaucoup de succès dans l'analyse de plusieurs systèmes. Le plus grand succès obtenu lors de l'analyse de données de diffusion élastique avec ce type de potentiels est, sans nul doute, le fait d'avoir observé pour la première fois l'anomalie de seuil pour le système $^{32}S + ^{40}Ca$ (**BA84**), postérieurement confirmée pour le système $^{16}O + ^{208}Pb$ (**LI85**) et qui a donné lieu à d'importants travaux menés dans le but de comprendre et d'interpréter ce phénomène (**BI91**), (**EL85**), (**MA86**) et (**NA85**) qui se produit lorsque l'on s'approche de la barrière de Coulomb et qui consiste en une diminution de la partie imaginaire du potentiel, dans la région de sensibilité, accompagnée d'une rapide augmentation du potentiel réel obligeant sa renormalisation par un facteur dépendant de l'énergie.

De nombreuses tentatives ont été menées dans le but d'obtenir le terme d'absorption du potentiel sur des bases physiques. Il existe ainsi la méthode de convolution des densités des noyaux avec des interactions effectives complexes (**FA83**) et (**KH81**) déduites de calculs de matière nucléaire qui s'avère être la plus appropriée pour les calculs aux énergies très loin de la barrière, ou encore les méthodes semiclassiques (**PO83**) calculant la contribution due aux états inélastiques et de transfert de nucléons les plus significatifs. Enfin, dans le formalisme de Feshbach, il est possible d'évaluer la contribution des canaux inélastiques de plus basses énergies d'excitation en utilisant des facteurs de forme macroscopiques (**KU81**), (**KU91**), (**LO77**) ou microscopiques (**AN90**).

Les plus grands succès obtenus dans l'analyse des données de diffusion élastique, nous les devons, sans aucun doute, au modèle dit de fermeture, proposé par N. Vinh Mau (**VI86**), (**VI87**) qui permet d'évaluer globalement le potentiel de Feshbach en assumant certaines hypothèses simplificatrices. Ce modèle a été utilisé avec beaucoup de succès, non seulement dans l'analyse des données de diffusion élastique (**BI91**), (**FE90**) et (**VI91**),

mais aussi pour prédire la fonction d'excitation de la fusion aux énergies proches ou en dessous de la barrière pour les systèmes sphériques ou faiblement déformés (**VI93**).

Cependant, lorsque l'énergie de la collision est proche de la barrière de Coulomb et que l'absorption, tel qu'il a été observé expérimentalement pour les systèmes très déformés (**SA81**), est due principalement à la contribution d'un nombre réduit de canaux inélastiques, le modèle de N.Vinh Mau surestime l'absorption. Il s'avère qu'il est plus adéquat d'évaluer la contribution due à chacun des quelques canaux qui contrôlent l'absorption. Une simple modélisation du potentiel de Feshbach nous a permis d'aborder ces calculs. Étant donné que, pour certains des systèmes que nous avons étudiés, cette contribution à l'absorption est trop faible à cause de l'importance des canaux de transfert de nucléons, il a été nécessaire de compléter le potentiel imaginaire par un terme de surface phénoménologique.

En dehors du caractère semi-classique des calculs de la référence (**PO83**), nos calculs du potentiel de Feshbach diffèrent de ces derniers dans la mesure où nous avons inclus les effets de non-localité. De plus, notre modélisation assume un propagateur complet et non adiabatique comme celui des références (**KU81**), (**KU91**) et (**LO77**), ce qui implique que non seulement nous avons inclus la contribution des processus directs, mais aussi celle des processus de multi étapes. Il est finalement important de signaler que nos calculs permettent d'évaluer la contribution de tous les états inélastiques d'intérêt et pas seulement les états RPA comme c'est le cas dans la référence (**AN90**).

Il est donc évident que l'intérêt de nos recherches englobe différents aspects. En premier lieu, nous prétendons déterminer la relation qui existe entre la structure des noyaux en interaction et l'absorption expérimentalement observée à des énergies proches de la barrière de Coulomb. En d'autres termes, il s'agit de voir quels sont les canaux de réaction qui contrôlent l'absorption. En second lieu, nous souhaitons localiser la région du potentiel imaginaire où se produit l'absorption, ce qui nous permettra de déterminer le rôle que jouent les voies de volume dans ce processus. Enfin, en vertu de son caractère fortement collectif, le modèle proposé par N. Vinh Mau ne peut être valide qu'aux basses énergies de diffusion. Pour cela, l'étude de son domaine d'applicabilité en termes d'énergie s'avère être d'un grand intérêt et peut nous informer sur les conditions sous lesquelles les processus collectifs cessent de contrôler l'absorption. Ainsi, le travail réalisé dans cette thèse est divisé en cinq chapitres.

Dans le chapitre deux nous décrivons brièvement le problème que pose l'étude de la collision entre deux ions et nous proposons sa résolution au moyen de la théorie de

Feshbach du potentiel optique que nous décrivons schématiquement dans la limite du couplage faible où la fonction de Green est diagonale. Nous obtenons, ainsi, les parties réelle et imaginaire du potentiel qui, comme nous l'avons signalé précédemment, sont non-locales et liées par une relation de dispersion. Étant donné que, dans la pratique, on utilise des potentiels locaux, leurs composantes réelle et imaginaire peuvent être facilement évaluées moyennant l'utilisation de différentes modélisations dont nous justifions l'utilité dans cette thèse. Celles que nous avons utilisées ont été :

1)- La modélisation phénoménologique dans laquelle les deux parties du potentiel sont décrites par des facteurs de forme du type Woods-Saxon dont les paramètres sont ajustés de manière à reproduire les données expérimentales.

2)- La modélisation semiphénoménologique dans laquelle la partie réelle du potentiel se calcule par double convolution des densités des deux noyaux dans leurs états fondamentaux et de l'interaction effective M3Y. Le potentiel ainsi obtenu doit être normalisé au moyen d'un facteur dépendant de l'énergie afin de simuler le terme de polarisation prévu par la théorie de Feshbach. La partie imaginaire, elle, reste décrite de façon phénoménologique.

3)- Le modèle de l'approximation de fermeture proposé par N. Vinh Mau qui permet d'évaluer globalement la contribution de toutes les voies non-élastiques du potentiel noyau-noyau moyennant l'introduction d'hypothèses simplificatrices que nous décrivons brièvement.

4)- La troncation de canaux. Dans la théorie de Feshbach il est démontré que les canaux de réaction dont l'énergie d'excitation est supérieure à l'énergie E_{cm} de la collision noyau-noyau ne participent pas à l'absorption et, par conséquent, ne contribuent pas au potentiel imaginaire. Partant de cette idée, nous avons construit une modélisation simple du potentiel, adaptée au calcul du terme d'absorption aux énergies proches de la barrière de Coulomb, car ne contenant que la contribution des canaux de basse énergie d'excitation qui sont facilement peuplés. L'introduction d'hypothèses simplificatrices nous a permis d'obtenir des expressions du potentiel imaginaire qui peuvent être évaluées sans difficulté.

Le chapitre trois est consacré à l'analyse des collisions noyau-noyau à des énergies proches de la barrière de Coulomb. Nous avons d'abord réalisé des calculs semiphénoménologiques qui ont été utilisés comme références pour les calculs microscopiques postérieurs. Une analyse consistante du système $^{32}S + ^{24}Mg$ à différentes énergies nous a permis de développer une méthodologie que nous avons appliquée aux autres systèmes étudiés. Dans

cette analyse, la partie réelle du potentiel a été déterminée par convolution des densités des noyaux en interaction dans leurs états fondamentaux avec l'interaction effective M3Y. La dépendance énergétique a été introduite au moyen d'un facteur de renormalisation qui a été déterminé par ajustement aux données expérimentales. La partie imaginaire du potentiel a été obtenue au moyen d'un terme du type Woods-Saxon dont la profondeur a été maintenue fixe et dont le rayon aux énergies les plus basses a été déduit de l'évolution en fonction de l'énergie observée aux plus hautes énergies. Avec ces potentiels, nous avons pu reproduire de façon satisfaisante les distributions angulaires de diffusion élastique et montrer la nécessité d'inclure un terme de polarisation coulombienne pour bien reproduire les données expérimentales aux énergies les plus basses. Nous avons également calculé les sections efficaces de réaction, les distributions de spin et les distributions radiales de l'absorption qui nous ont permis de nous assurer que la valeur de la profondeur du terme d'absorption n'était pas importante. Utilisant le potentiel réel extrait des ajustements précédents et le terme imaginaire calculé dans le cadre du formalisme de Feshbach incluant les états collectifs de moindre énergie d'excitation, nous avons obtenu des prédictions totalement compatibles avec les calculs semiphénoménologiques précédents pour les systèmes les plus fortement déformés et aux énergies les plus basses. Dans le cas des systèmes pour lesquels les canaux de transfert contribuent de façon significative à l'absorption, des résultats similaires ont été obtenus, moyennant l'introduction d'un terme d'absorption de surface phénoménologique dont la contribution est déterminée par ajustement aux données expérimentales.

Dans le chapitre quatre nous abordons l'étude des diffusions élastiques $^{16}O + ^{208}Pb$ aux énergies de 793 MeV et 1503 MeV, très loin de la barrière de Coulomb. Les ajustements avec des potentiels phénoménologiques du type Woods-Saxon nous permettent de reproduire les données et d'obtenir les sections efficaces de réaction. Les calculs réalisés avec ces potentiels ainsi que les potentiels eux-mêmes sont pris comme référence. Utilisant alors le pouvoir de prédiction de la relation de dispersion, nous avons obtenu la dépendance énergétique du potentiel réel de convolution à partir des valeurs des potentiels imaginaires (Woods-Saxon) dont les paramètres ont été déduits de l'ajustement aux données expérimentales à des énergies comprises entre 78 MeV et 312.6 MeV suivant la méthode décrite dans la référence (**MA86**). Après nous être assurés de la totale équivalence entre les potentiels réels phénoménologiques et ceux déduits de la relation de dispersion, nous avons utilisé ces derniers et le modèle proposé par N. Vinh Mau pour calculer le terme d'absorption. Les prédictions de diffusion élastique et les sections efficaces de réaction cal-

culées avec ces potentiels microscopiques représentent un test important qui nous permet de connaître les limites de validité du modèle de l'approximation de fermeture ainsi que les processus qui dominent l'absorption aux énergies de 793 MeV et 1503 MeV.

En conclusion, nous présentons, au chapitre cinq, les résultats obtenus et les conséquences qui en découlent. Nous proposons en outre certaines questions importantes qui restent posées et qui peuvent faire l'objet de recherches futures.

En annexe nous indiquons les distributions angulaires de la diffusion élastique mesurées par la collaboration Valencia-Strasbourg et analysées dans cette thèse, dont les valeurs n'ont pas été publiées. Les données correspondant aux diffusions $^{35,37}Cl + ^{24}Mg$ à différentes énergies n'apparaissent pas dans l'annexe car elles ont été publiées dans la référence (**BA91**).

Chapitre 2

LE POTENTIEL OPTIQUE

2.1 THÉORIE DE FESHBACH

L’interaction entre deux noyaux A et B est décrite par un Hamiltonien :

$$H = H_A + H_B + T(\mathbf{r}) + V(\mathbf{r}, X_n) \quad (2.1)$$

où H_A et H_B représentent les Hamiltoniens ”internes” des deux noyaux, $T(\mathbf{r})$ est l’énergie cinétique de leur mouvement relatif et $V(\mathbf{r}, X_n)$ décrit leur potentiel d’interaction mutuelle. La coordonnée \mathbf{r} est la séparation relative entre les centres de masse des deux noyaux.

La fonction d’onde non antisymétrisée, décrivant un état interne quelconque du système, peut s’écrire :

$$\phi_n(X_n) = \Phi_A(X_A)\Phi_B(X_B) \quad (2.2)$$

où Φ_A et Φ_B sont les fonctions d’onde décrivant les états internes de chaque noyau et les X_i représentent les variables internes.

A partir de ϕ_n il est possible de construire la fonction d’onde du système en interaction, qui est en fait un développement sur un ensemble complet d’états internes :

$$\psi(\mathbf{r}, E_n, X_n) = \sum_n \chi_n(\mathbf{r}, E_n) \phi_n(X_n) \quad (2.3)$$

où le symbole \sum_n représente une somme sur les états discrets et une intégrale sur les états continus. L’indice n se réfère à chacun des états internes du système. Les coefficients $\chi_n(\mathbf{r}, E_n)$ sont les fonctions d’onde du mouvement relatif des deux noyaux qui forment le système quand ils se trouvent dans un état interne décrit par $\phi_n(X_n)$. Pour des raisons de simplicité, nous n’expliciterons dans ce qui suit que la dépendance qu’il nous intéresse de mettre en relief.

Le développement de la fonction d'onde du système donné par l'équation (2.3) présente deux limitations fondamentales :

a) La dispersion d'inter-échange associée à l'indiscernabilité des nucléons n'est pas correctement décrite, vu que la fonction d'onde $\phi_n(X_n)$ n'a pas été antisymétrisée. Cependant, ce type de réactions, ainsi que celles qui conduisent à une réorganisation différente des nucléons qui, initialement, formaient les noyaux A et B, peut être décrit à travers des états non liés.

b) La fonction $\phi_n(X_n)$ n'est pas appropriée lorsque le potentiel nucléon-nucléon présente un coeur répulsif car elle ne s'annule pas automatiquement quand les noyaux se recouvrent et les nucléons s'approchent à une distance inférieure au rayon de répulsion du coeur.

La fonction ψ satisfait l'équation de Schrodinger : $H\psi = E\psi$ et lorsqu'on reporte l'expression de H dans cette équation, on aboutit à un système infini d'équations couplées :

$$(T + V_{mm} + E_m - E)\chi_m = - \sum_{n \neq m} \chi_n V_{mn} \quad \forall m \quad (2.4)$$

avec :

$$V_{mn} = \langle \phi_m | V | \phi_n \rangle \quad (2.5)$$

E_m est la valeur propre de l'Hamiltonien interne, correspondant à la fonction propre ϕ_m , qui satisfait l'équation :

$$(H_A + H_B)\phi_m = E_m\phi_m \quad (2.6)$$

Lorsque l'énergie d'interaction entre les deux noyaux A et B est très basse, le nombre de canaux ouverts est relativement petit et le système d'équations couplées (équation 2.4) peut être résolu ; mais à mesure que l'énergie de l'interaction augmente, le nombre de canaux ouverts et, par conséquent, le nombre d'équations couplées croît très rapidement et la solution exacte du problème devient inabordable.

La théorie de Feshbach (**FE58**), (**FE62**) permet de découpler le système d'équations différentielles à résoudre, de sorte que si l'on n'est intéressé que par N canaux de réaction, il devient possible de ramener le système à un autre, plus simple, de N équations couplées. C'est ainsi que dans le cas de la diffusion élastique on obtiendra une seule équation. On peut arriver à ce résultat en utilisant le formalisme des opérateurs de projection.

Soient P et Q les opérateurs qui projettent la fonction d'onde sur les canaux d'intérêt et sur les canaux restants, respectivement, de manière que $Q=1-P$. Comme nous ne sommes intéressés que par la voie élastique, $P = |\phi_0\rangle\langle\phi_0|$ et $Q=1-P=\sum_{n\neq 0}|\phi_n\rangle\langle\phi_n|$. L'équation

de Schrodinger s'écrit alors : $(E - H)(P + Q)|\psi\rangle = 0$. Moyennant quelques calculs utilisant les propriétés des opérateurs de projection on peut découpler l'équation décrivant la voie élastique de toutes les autres, ce qui nous permet d'obtenir, pour la voie élastique, l'équation **(FE62)** :

$$[E - T_0 - \langle \phi_0 | V | \phi_0 \rangle - \langle \phi_0 | VQ \frac{1}{E - H_{QQ} + i\eta} QV | \phi_0 \rangle] |\chi_0\rangle = 0 \quad (2.7)$$

où nous avons adopté la valeur propre $E_0=0$, pour la voie élastique et $H_{QQ} = QHQ$.

On appelle potentiel optique généralisé l'opérateur :

$$V_{opt} = \langle \phi_0 | V | \phi_0 \rangle + \langle \phi_0 | VQ \frac{1}{E - H_{QQ} + i\eta} QV | \phi_0 \rangle \quad (2.8)$$

Le premier terme de cet opérateur représente les transitions directes du canal d'entrée à la voie de diffusion élastique et porte le nom de potentiel de convolution. Si l'interaction V est locale et si les effets d'inter-échange sont négligeables, le terme de convolution sera local dans l'espace des configurations. Le second terme englobe la contribution à la voie élastique des canaux qui n'ont pas été considérés explicitement, mais qui peuvent participer comme états intermédiaires de transition à travers desquels le système évolue jusqu'à atteindre la voie élastique. La présence dans cet opérateur du propagateur du mouvement relatif $[E - H_{QQ} + i\eta]^{-1}$ a un effet triple sur le potentiel optique :

- a) La présence de $i\eta$ dans le propagateur fait que le potentiel optique est complexe.
- b) Étant donné que la probabilité de transition vers les canaux projetés par l'opérateur Q dépend de l'énergie, le potentiel optique présente également cette dépendance.
- c) Le terme H_{QQ} contient l'opérateur énergie cinétique du mouvement relatif, impliquant que le potentiel optique n'est pas local. Physiquement, cela signifie qu'un système qui dans la position \mathbf{r}' est excité par l'interaction vers un des canaux non considérés dans P , peut se propager dans cet état et réapparaître à la position \mathbf{r} dans le sous-espace P .

Pour n'importe quel Hamiltonien **(JA70)**, l'opérateur $[E - H_{QQ} + i\eta]^{-1}$ peut s'exprimer sous la forme :

$$\frac{1}{E - H_{QQ} + i\eta} = \sum_n \frac{|\psi_n\rangle \langle \psi_n|}{E - E_n + i\eta} \quad (2.9)$$

où E_n est la valeur propre correspondant à la fonction propre ψ_n de l'Hamiltonien H_{QQ} et le symbole \sum_n indique une somme sur les variables discrètes et une intégration sur les variables continues. Dans la limite du couplage faible, nous pouvons exprimer le potentiel optique comme suit :

$$V_{opt} = V_{00} + \sum_{n \neq 0} V_{0n} \frac{|\chi_n\rangle \langle \chi_n|}{E - E_n} V_{n0} + \int_{E_1}^{\infty} \frac{d\epsilon}{E - \epsilon + i\eta} \sum_{n \neq 0} V_{0n} |\chi_n(\epsilon)\rangle \langle \chi_n(\epsilon)| V_{n0} \quad (2.10)$$

où $V_{0n} = \langle \phi_0 | V | \phi_n \rangle$. Le terme $i\eta$ n'est pas nécessaire pour les états liés vu que pour $E = E_n$ le potentiel optique diverge, donnant lieu aux résonances.

Utilisant la relation de Dirac (**SA83**) :

$$\lim_{\eta \rightarrow 0^+} \frac{1}{E - \epsilon + i\eta} = \mathcal{P} \left[\frac{1}{E - \epsilon} \right] - i\pi\delta(E - \epsilon) \quad (2.11)$$

où \mathcal{P} représente la valeur principale de Cauchy, nous pouvons obtenir les parties réelle et imaginaire du potentiel optique. À partir de l'équation (2.10) :

$$\mathcal{R}eV_{opt} = V_{00} + \sum_{n \neq 0} V_{0n} \frac{|\chi_n\rangle \langle \chi_n|}{E - E_n} V_{n0} + \mathcal{P} \int_{E_1}^{\infty} \frac{d\epsilon}{E - \epsilon} \sum_{n \neq 0} V_{0n} |\chi_n(\epsilon)\rangle \langle \chi_n(\epsilon)| V_{n0} \quad (2.12)$$

et

$$\mathcal{I}mV_{opt} = \begin{cases} -\pi \sum_{n \neq 0} V_{0n} |\chi_n(\epsilon)\rangle \langle \chi_n(\epsilon)| V_{n0} & \text{si } E > E_1 \\ 0 & \text{si } E < E_1 \end{cases} \quad (2.13)$$

Ainsi, donc, les parties réelle et imaginaire du potentiel optique ont une origine commune, conséquence du principe de causalité, et qui se traduit par une relation de dispersion qui les lie (**FE62**) :

$$\mathcal{R}eV_{opt} = V_{00} + \sum_{n \neq 0} V_{0n} \frac{|\chi_n\rangle \langle \chi_n|}{E - E_n} V_{n0} - \frac{1}{\pi} \mathcal{P} \int_{E_1}^{\infty} \frac{\mathcal{I}mV_{opt}(\epsilon)}{E - \epsilon} d\epsilon \quad (2.14)$$

Cette expression traduit le fait qu'une onde diffusée ne peut être émise avant que l'interaction n'ait eu lieu et devient, dans l'approximation de matière nucléaire infinie :

$$\mathcal{R}eV_{opt} = V_{00} - \frac{1}{\pi} \mathcal{P} \int_{E_1}^{\infty} \frac{\mathcal{I}mV_{opt}(\epsilon)}{E - \epsilon} d\epsilon \quad (2.15)$$

La relation de dispersion lie des potentiels non locaux dont l'utilisation est compliquée. Dans la pratique, on utilise des potentiels locaux. La localisation du potentiel non local transforme sa non localité par une dépendance supplémentaire en énergie. Cette dépendance n'est pas d'origine physique et fait que, en général, la relation de dispersion n'est pas satisfaite entre potentiels locaux.

2.2 MODÉLISATIONS DE LA THÉORIE DE FESHBACH :

Plusieurs approximations ont été proposées pour évaluer, de manière approchée, le potentiel optique local calculé à partir des équations (2.12) et (2.13). Dans ce chapitre nous exposerons trois modélisations qui seront utilisées dans la suite de ce travail. La première consiste à remplacer le potentiel optique par une fonction dépendant de paramètres à

ajuster aux données expérimentales. Les deux autres consistent à évaluer le potentiel local déduit de l'équation (2.10) moyennant des hypothèses simplificatrices qui permettent de prendre en compte de façon globale l'ensemble des canaux ou en ne prenant en compte qu'un nombre réduit de voies qui sont celles qui contribuent de manière significative au potentiel.

2.2.1 Modèles phénoménologiques et semiphénoménologiques :

Dans cette approximation le potentiel optique s'écrit $V(r) = U(r) + iW(r)$. On attribue aux termes $U(r)$ et $W(r)$ une forme analytique physiquement raisonnable et dépendant d'un ensemble de paramètres à ajuster. Il s'agit de potentiels phénoménologiques qui doivent tenir compte des caractéristiques physiques de l'interaction nucléon-nucléon et du confinement des nucléons dans les noyaux. Ils doivent donc être attractifs et s'annuler rapidement dans la région superficielle.

Le facteur de forme le plus souvent utilisé pour ces potentiels est celui dit de Woods-Saxon qui a la même forme fonctionnelle que la distribution de Fermi des charges nucléaires et qui s'écrit (**WO54**) :

$$f(r) = \frac{1}{1 + e^{\frac{r-R}{a}}} \quad (2.16)$$

le paramètre de diffusivité, a , estime l'épaisseur superficielle du noyau et le rayon du potentiel, R , est donné par la relation :

$$R = r_0[A_P^{\frac{1}{3}} + A_C^{\frac{1}{3}}] \quad (2.17)$$

le rayon réduit r_0 est de l'ordre de 1.2 à 1.4 fermi et les nombres de masse A_P et A_C se réfèrent au projectile et à la cible, respectivement.

Dans cette approximation une forme simple du potentiel optique est donnée par :

$$V_{opt}(r) = -V_0 f_R(r) - i W_0 f_I(r) \quad (2.18)$$

où V_0 et W_0 représentent les profondeurs des parties réelle et imaginaire du potentiel optique et $f_R(r)$ et $f_I(r)$ leurs facteurs de forme respectifs qui peuvent présenter ou non la même géométrie.

Comme nous l'avons vu précédemment, tandis que la partie réelle, donnée par l'équation (2.12), est dominée par le terme de premier ordre, V_{00} , la partie imaginaire qui détermine la perte de flux de la voie élastique, provient uniquement du terme de polarisation qui inclut des processus d'ordre supérieur (équation 2.13), et que l'on décrit habituellement moyennant la contribution de termes de volume et de surface. Le terme de volume rend

compte des excitations, et donc, de l'absorption qui se produit pendant la propagation du projectile à travers la matière nucléaire. L'existence de modes collectifs d'excitation ainsi que de processus périphériques de transfert, conduit à une augmentation de l'absorption dans la région superficielle, ce qui justifie le terme de surface.

L'absorption superficielle se paramétrise de la forme suivante :

$$W_S(r) = -4W_D \frac{df_I(r)}{dr} \quad (2.19)$$

où W_D est la profondeur du terme de surface.

Cela a l'inconvénient d'augmenter le nombre de paramètres à déterminer sans apporter, en général, d'informations importantes sur le potentiel lui-même. Pour cette raison, il est fréquent de n'utiliser que le terme de volume et de simuler l'accroissement de l'absorption en surface moyennant un rayon R_I du potentiel imaginaire de volume supérieur au rayon du potentiel réel. C'est pourquoi nous avons utilisé, dans une partie de ce travail, le même facteur de forme mais avec des paramètres différents pour les parties réelle et imaginaire du potentiel. Nous avons également négligé le terme de spin-orbite, introduit dans les analyses de diffusion de nucléons mais qui s'est avéré très faible dans la diffusion d'ions lourds.

Il est par contre indispensable d'introduire dans l'analyse des données un potentiel coulombien dont la forme correspond à celle de l'interaction entre une particule ponctuelle chargée, Z_P , et une sphère uniformément chargée, Z_C , de rayon R_C et de diffusivité nulle (**PO76**). Sa forme analytique est donc :

$$V_C(r) = \begin{cases} \frac{Z_P Z_C e^2}{2R_C} \left(3 - \frac{r^2}{R_C^2}\right) & \text{pour } r \leq R_C \\ \frac{Z_P Z_C e^2}{r} & \text{pour } r > R_C \end{cases} \quad (2.20)$$

avec $R_C = r_C [A_P^{1/3} + A_C^{1/3}]$ et r_C le rayon réduit.

Ainsi, la forme du potentiel optique phénoménologique que nous avons utilisé est :

$$V_{tot} = V_C(r) - V_0 f_R(r) - i W_0 f_I(r) \quad (2.21)$$

Les paramètres de ce potentiel doivent être ajustés de façon à assurer une bonne concordance entre les sections efficaces différentielles calculées et les distributions angulaires mesurées. Pour notre part, nous avons utilisé la méthode dite du χ^2 , qui consiste à rendre minimale la valeur de la fonction :

$$\frac{\chi^2}{n} = \frac{1}{n} \sum_{i=1}^n \left[\frac{\sigma_{the}(\theta_i) - \sigma_{exp}(\theta_i)}{\Delta\sigma_{exp}(\theta_i)} \right]^2 \quad (2.22)$$

où n est le nombre de données expérimentales, σ_{the} et σ_{exp} sont, respectivement, les sections efficaces théoriques et expérimentales ; θ_i est l'angle de diffusion auquel se mesurent ou se calculent les sections efficaces différentielles et $\Delta\sigma_{exp}$ est l'incertitude absolue associée aux mesures.

Du fait de sa simplicité, la paramétrisation du potentiel est une méthode d'analyse très utilisée. Elle présente cependant l'inconvénient de conduire à des paramètres dont la signification physique n'est pas toujours claire. De plus, dans le cas de la diffusion d'ions lourds il est souvent difficile de choisir entre différents jeux de paramètres qui permettent de reproduire les données expérimentales avec la même qualité.

Afin de limiter ces ambiguïtés et de réduire le nombre de paramètres à ajuster, une estimation du potentiel à partir de considérations plus fondamentales a été développée : il s'agit du modèle du potentiel de convolution (**GR68**). Dans ce modèle le potentiel optique est calculé à partir des distributions de matière nucléaire et de l'interaction nucléon-nucléon. Dans sa forme la plus simple, on considère une interaction effective locale, $V_{eff}(\mathbf{r}_{12})$, entre les nucléons et on suppose que la collision entre les ions est suffisamment rapide pour que leurs densités restent inaltérées pendant la réaction. De cette façon le potentiel est, en première approximation, la somme de toutes les interactions nucléon-nucléon qui forment le système. Il s'écrit :

$$V_{opt}(\mathbf{r}) = \int \rho_P(\mathbf{r}_1)\rho_T(\mathbf{r}_2)V_{eff}(\mathbf{r}_{12})d\mathbf{r}_1d\mathbf{r}_2 \quad (2.23)$$

$\rho_i(\mathbf{r}_i)$ représentant les densités de nucléons pour les deux noyaux dans leur état fondamental. La figure 2.1, clarifie les notations des coordonnées entrant dans les calculs de convolution. $\mathbf{r}_{12} = \mathbf{r} + \mathbf{r}_2 - \mathbf{r}_1$ est un vecteur définissant la position d'un nucléon du noyau projectile relativement à un nucléon du noyau cible.

Les différences entre les nombreux potentiels de convolution qui existent sont liées au type d'interaction effective utilisée. Cependant les différentes interactions effectives doivent avoir une base physique réaliste afin d'arriver à une description unifiée des collisions noyau-noyau, qui soit indépendante du système considéré.

L'interaction effective la plus générale est complexe et difficile à établir. De ce fait on utilise des approximations dont les formes les plus fréquentes sont les potentiels centraux ou les formes semi-empiriques.

Dans ce travail, nous avons utilisé l'interaction effective appelée "interaction M3Y" (**LO75**), (**GO76**) et (**BE77**). Sa forme fonctionnelle est :

$$V_{M3Y} = 7999 \frac{e^{-4r_{12}}}{4r_{12}} - 2134 \frac{e^{-2.5r_{12}}}{2.5r_{12}} - J(E)\delta(\mathbf{r}_{12}) \quad (2.24)$$

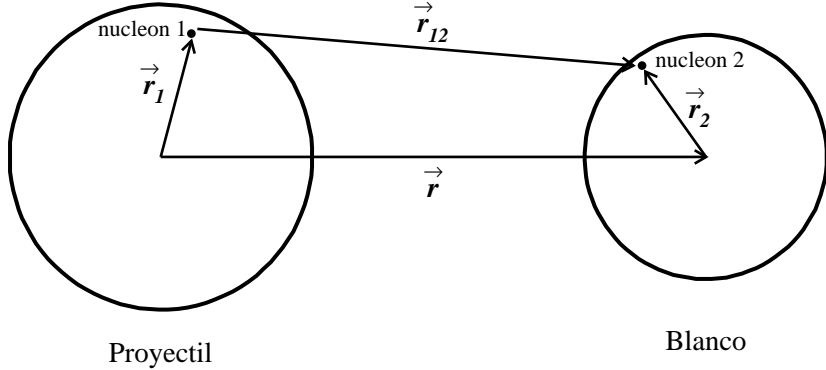


Figure 2.1: Coordonnées entrant dans les calculs de convolution.

où r_{12} est la distance entre les nucléons considérés. Cette interaction est indépendante de la densité nucléaire et dépend très faiblement de l'énergie via la profondeur du pseudo-potentiel $J(E) \simeq -276(1 - 0.005E/A_P)$ MeV.fm³. C'est en fait une moyenne sur un intervalle de densités nucléaires et d'énergies incidentes (**SA79**). L'interaction effective M3Y est réelle. Seule la partie réelle du potentiel peut donc être calculée avec cette force. La partie imaginaire, elle, reste phénoménologique et donc ses paramètres doivent être déterminés comme précédemment par ajustement aux données expérimentales.

Les densités nucléaires sont, elles aussi, très complexes. Nous sommes donc conduits, là également, à faire des approximations comme nous le verrons plus loin, pour chaque cas.

2.2.2 Modèle de l'approximation de fermeture :

L'expression du potentiel optique donnée par la théorie de Feshbach présente un inconvénient majeur lorsqu'il s'agit d'évaluer la contribution de tous les termes. En effet, il faudrait alors connaître les fonctions d'onde de tous les états excités possibles du système considéré. Une telle évaluation est évidemment irréalisable et il faut utiliser différentes modélisations de la théorie (**LO77**), (**KU81**), (**AN90**), (**KU91**) pour pouvoir calculer la contribution des termes les plus importants.

En ce sens, le modèle de l'approximation de fermeture proposé par N. Vinh Mau (**VI86**) et (**VI87**) a été utilisé avec succès. Ce modèle permet une évaluation globale du potentiel optique, moyenant quelques hypothèses simplificatrices et certaines approximations.

L'équation (2.8) qui décrit le potentiel d'interaction noyau-noyau, dans le formalisme

de Feshbach, peut s'écrire :

$$V(\mathbf{r}, \mathbf{r}') = U_0(\mathbf{r})\delta(\mathbf{r} - \mathbf{r}') + \Delta V(\mathbf{r}, \mathbf{r}') \quad (2.25)$$

où U_0 peut s'écrire :

$$U_0(\mathbf{r}) = <\phi_0^P \Phi_0^C|V(\mathbf{r})|\phi_0^P \Phi_0^C> \quad (2.26)$$

et, dans la limite du couplage faible, nous avons :

$$\Delta V(\mathbf{r}, \mathbf{r}') = \sum_{(m,n) \neq (0,0)} V_{mn}^*(\mathbf{r}) G_{mn}(\mathbf{r}, \mathbf{r}') V_{mn}(\mathbf{r}') \quad (2.27)$$

avec :

$$V_{mn}(\mathbf{r}) = <\phi_m^P \Phi_n^C|V(\mathbf{r})|\phi_0^P \Phi_0^C> \quad (2.28)$$

et :

$$V(\mathbf{r}) = \sum_{i \in P, j \in C} V_{ij}(\mathbf{r}) \quad (2.29)$$

où $V_{ij}(\mathbf{r}) = V(\mathbf{r}_i - \mathbf{r}_j + \mathbf{r})$ et \mathbf{r}_i , \mathbf{r}_j et \mathbf{r} sont définis dans la figure 2.2 ; ϕ_m^P et Φ_n^C sont, respectivement, les fonctions d'onde des noyaux projectile et cible dans les états m et n avec les énergies d'excitation E_m et E_n , tandis que les fonctions d'onde avec les indices $m = 0$ et $n = 0$ représentent les états fondamentaux ; $V(\mathbf{r})$ décrit l'interaction effective entre chaque paire de nucléons appartenant à chacun des deux noyaux en collision. $G_{mn}(\mathbf{r}, \mathbf{r}')$ est le propagateur du mouvement relatif dans le canal (m, n) . Il est donné par l'expression suivante :

$$G_{mn}(\mathbf{r}, \mathbf{r}') = \lim_{\eta \rightarrow 0^+} \frac{1}{E - H_{QQ} + i\eta} = \lim_{\eta \rightarrow 0^+} \int \frac{\chi_k(\mathbf{r}) \chi_k^*(\mathbf{r}')}{E - E_m - E_n - \frac{\hbar^2 k^2}{2\mu} + i\eta} d^3 k \quad (2.30)$$

où $\chi_k(\mathbf{r})$ et $\chi_k^*(\mathbf{r}')$ sont les fonctions d'onde du mouvement relatif des deux noyaux en collision, μ est la masse réduite du système et k le moment réduit. Enfin, $U_0(\mathbf{r})$ est un potentiel de double convolution, local et indépendant de l'énergie.

Lorsque l'énergie de la collision est assez élevée pour que tous les canaux inélastiques significatifs soient ouverts et puissent contribuer à la partie imaginaire du potentiel ou lorsque, au contraire, elle est suffisamment basse pour que toutes les voies inélastiques soient fermées et que seules des excitations virtuelles puissent avoir lieu, le calcul terme à terme du potentiel devient prohibitif. C'est alors qu'il s'avère utile et qu'il est valide d'évaluer globalement le potentiel, moyennant le modèle de fermeture qui s'appuie sur les considérations suivantes :

1) Le propagateur $G_{mn}(\mathbf{r}, \mathbf{r}')$ défini par l'équation (2.30) est approximé par le propagateur WKB (**SC69**) :

$$G_{mn}(\mathbf{r}, \mathbf{r}') \simeq G_{mn}^{WKB}(\mathbf{r}, \mathbf{r}') = -\frac{\mu}{2\pi\hbar^2} \frac{e^{iK_{mn}|\mathbf{r}-\mathbf{r}'|}}{|\mathbf{r}-\mathbf{r}'|} \quad (2.31)$$

Ce propagateur WKB peut être exprimé en fonction de R et s , qui représentent les modules des coordonnées du mouvement relatif et du centre de masse, $\mathbf{R} = (\mathbf{r} + \mathbf{r}')/2$ et $\mathbf{s} = \mathbf{r} - \mathbf{r}'$:

$$G_{mn}^{WKB} = -\frac{\mu}{2\pi\hbar^2} \frac{e^{iK_{mn}s}}{s} \quad (2.32)$$

Cette forme du propagateur a été utilisée avec succès pour décrire les collisions nucléon-noyau et alpha-noyau à basse énergie (**BO81**). Le moment local K_{mn} étant défini par :

$$K_{mn}^2(R) = \frac{2\mu}{\hbar^2} [E - E_m - E_n - V_L(R) - V_C(R)] \quad (2.33)$$

$V_L(R)$ et $V_C(R)$ étant respectivement les potentiels nucléaire local et coulombien. Si, comme il est habituel, $V_L(R)$ est un potentiel complexe, le propagateur WKB n'est pas hermitique.

2) Le propagateur, même sous cette forme simple dépend explicitement des valeurs propres E_m et E_n à travers le moment local. Ceci empêche l'évaluation globale des termes du potentiel optique. Cependant, si nous supposons que tous les états excités qui contribuent de manière importante au potentiel, se concentrent dans un étroit domaine d'énergie, nous pouvons remplacer leurs énergies d'excitation par des valeurs moyennes $\langle E_P \rangle$ (pour le projectile) et $\langle E_C \rangle$ (pour la cible). Sous ces hypothèses, le propagateur WKB peut être remplacé par un propagateur WKB moyen pour chacun des deux noyaux collisionnants :

$$G_{mn}^{WKB}(R, s) \simeq G_i^{WKB}(R, s) \quad i = 1, 2, 3 \quad (2.34)$$

Dans cette hypothèse, le terme de polarisation donné par l'équation (2.27) ne contient plus que trois termes qui décrivent les états excités de chacun des noyaux projectile ($m \neq 0, n = 0$) ou cible ($m = 0, n \neq 0$), ou des deux ($m \neq 0, n \neq 0$), ce qui correspond à $i=1,2,3$, respectivement.

3) La référence explicite aux fonctions d'onde des états excités dont les valeurs propres ont été moyennées, peut être éliminée. En effet, si l'énergie de la collision est suffisamment grande pour que toutes les voies inélastiques significatives soient ouvertes ou si elle est suffisamment basse pour qu'elles soient toutes fermées, nous pouvons introduire dans l'équation (2.27) les relations de fermeture qui, pour chaque noyau, peuvent s'écrire :

$$\sum_{m \neq 0} |\phi_m^P \rangle \langle \phi_m^P| = 1 - |\phi_0^P \rangle \langle \phi_0^P| \quad (2.35)$$

$$\sum_{n \neq 0} |\Phi_n^C > < \Phi_n^C| = 1 - |\Phi_0^C > < \Phi_0^C| \quad (2.36)$$

De cette façon nous pouvons éliminer toute référence explicite aux effets de structure ; cependant l'utilisation des relations de fermeture implique que tous les canaux soient implicitement pris en considération.

Ces trois approximations seules ne sont pas suffisantes pour évaluer le potentiel optique car elles conduisent à des expressions non triviales qui présentent trois types de difficultés :

a - Calcul d'intégrales triples et quadruples, chose qui n'est pas toujours aisée.

b - Les éléments non diagonaux de la matrice densité $\rho_i(\mathbf{r}, \mathbf{r}')$ sont, y compris dans les modèles les plus simples, des fonctions compliquées de \mathbf{r} et de \mathbf{r}' .

c - Un potentiel non local n'est traitable que s'il est exprimé en termes de coordonnées relatives et du centre de masse et non en fonction de \mathbf{r} et de \mathbf{r}' .

Il est possible d'éviter ces difficultés moyennant l'introduction des approximations supplémentaires suivantes :

4)- L'interaction nucléon-nucléon (figure 2.2.a) a souvent été décrite au moyen d'une force séparable qui permet de reproduire avec beaucoup de succès de nombreuses propriétés liées à la structure nucléaire (**BR59**) et (**BO75**). Analytiquement, cette interaction est de la forme :

$$V_{ij} = -V_0 f(\mathbf{r}_i) f(\mathbf{r}_j) \quad (2.37)$$

où V_0 représente la profondeur de l'interaction et $f(r)$ le facteur de forme. Bien que dans notre cas la situation soit différente, étant donné que les deux nucléons i et j qui interagissent appartiennent à chacun des noyaux en collision (figure 2.2.b), il semble raisonnable d'assumer une forme fonctionnelle similaire pour décrire leur interaction, à savoir :

$$V_{ij}(\mathbf{r}) = -V_0 f\left(\mathbf{r}_i + \frac{\mathbf{r}}{2}\right) f\left(\mathbf{r}_j - \frac{\mathbf{r}}{2}\right) \quad (2.38)$$

où $\mathbf{r}_{i(j)}$ est le rayon vecteur du nucléon $i(j)$ appartenant au noyau 1(2) et \mathbf{r} est le vecteur représentant la séparation entre les centres des deux noyaux (figure 2.2).

Pour des raisons de symétrie et de simplicité, nous adoptons des facteurs de forme gaussiens. Ceci conduit à réécrire la fonction d'interaction de la manière suivante :

$$V_{ij}(\mathbf{r}) = -V_0 e^{-\eta(\mathbf{r}_i + \mathbf{r}/2)^2} e^{-\eta(\mathbf{r}_j - \mathbf{r}/2)^2} \quad (2.39)$$

où η est un paramètre lié à la portée de l'interaction, $r_0 = (2/\eta)^{1/2}$ et V_0 est l'intensité de l'interaction.

5) Pour décrire les éléments non diagonaux de la matrice densité, on utilise une des formes les plus simples (**SA82**) qui est l'approximation de Slater, basée sur les expressions

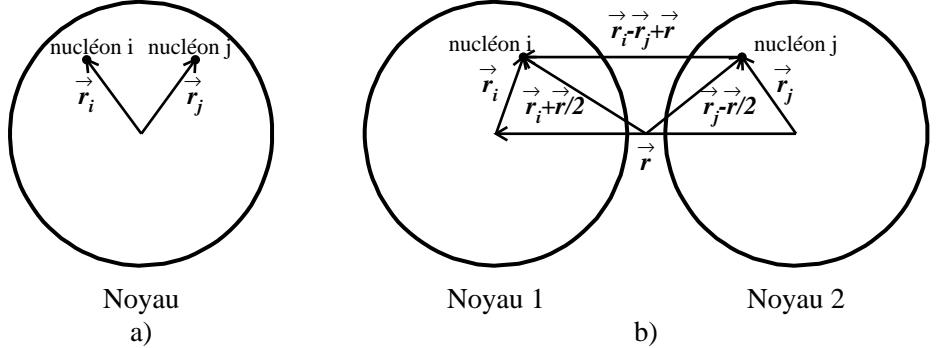


Figure 2.2: Coordonnées entrant dans le calcul de l'interaction n-n.

obtenues dans les calculs de matière nucléaire :

$$\rho(\mathbf{r}_1, \mathbf{r}_2) = \rho(R_{12}, s_{12}) = \rho(R_{12})\lambda_1(K_F s_{12}) \quad (2.40)$$

où R_{12} et s_{12} représentent les modules des coordonnées du centre de masse et du mouvement relatif de deux nucléons quelconques du noyau qui a été excité :

$$\mathbf{R}_{12} = \frac{\mathbf{r}_1 + \mathbf{r}_2}{2} \quad \mathbf{s}_{12} = \mathbf{r}_1 - \mathbf{r}_2 \quad (2.41)$$

et

$$\lambda_1(x) = \frac{3j_1(x)}{x} \quad (2.42)$$

$j_1(x)$ étant la fonction de Bessel de premier ordre. K_F est le moment de Fermi donné par :

$$K_F = K_F(R_{12}) = [3\pi^2\rho(R_{12})]^{\frac{1}{3}} \quad (2.43)$$

6) Dans le cas où la portée de la non-localité de ΔV est petite devant la portée du potentiel U_0 , le potentiel local peut être approximé par le premier terme de la transformation de Wigner du potentiel non local (**HO80**), (**PE62**), (**PE64**) et (**PE80**). Ainsi on écrira :

$$W_L(R) = 4\pi \frac{m_r^*(R)}{m} \int_0^\infty j_0(ks) \text{Im} \Delta V(R, s) s^2 ds \quad (2.44)$$

$j_0(ks)$ représente la fonction de Bessel d'ordre zéro, k est le moment réduit défini par :

$$k^2 = \frac{2\mu}{\hbar^2} [E - E_B] \quad (2.45)$$

où $E_B = V_L(R) + V_C$, $V_L(R)$ est le potentiel réel total et $\frac{m_r^*(R)}{m}$ est l'opérateur de masse effective défini par :

$$\frac{m_r^*(R)}{m} = 1 - \frac{d\Delta U_L(E)}{dE} \quad (2.46)$$

Étant donné que pour des grandes valeurs de R , $\frac{d\Delta U_L(E)}{dE} \ll 1$, (**NA85**), (**MA86**) et que les processus de dispersion ne sont pas sensibles à la valeur du potentiel optique à faibles distances, nous pouvons considérer que $m_r^*(R)/m \simeq 1$ dans le calcul de $W_L(R)$.

Une fois que $W_L(R)$ a été déterminé, le terme local équivalent à la partie réelle de $\Delta V(R, s)$, qui représente les corrections au potentiel U_0 , se calcule selon la relation suivante :

$$\Delta U_L(R) = 4\pi \int_0^\infty j_0(ks) \mathcal{R}e \Delta V(R, s) s^2 ds \quad (2.47)$$

La forme explicite de ces potentiels locaux dépend du caractère hermitique ou non hermitique de l'hamiltonien du système ainsi que de la valeur de l'énergie de la collision par rapport aux barrières d'absorption et de Coulomb. En particulier, dans le cas qui nous intéresse, lorsque l'énergie de la collision dépasse toutes les barrières et que, par conséquent, l'hamiltonien n'est pas hermitique, le potentiel imaginaire W_L et les corrections au potentiel réel ΔU_L peuvent être exprimés de la forme $W_L = f(W_L, \Delta U_L)$ et $\Delta U_L = g(W_L, \Delta U_L)$, vu que W_L et ΔU_L sont inter-dépendants à travers des moments locaux K_i et k . Ceci pose un problème d'autoconsistance qui requiert un calcul itératif.

Le calcul du potentiel noyau-noyau requiert la connaissance des valeurs des énergies d'excitation moyennes $\langle E_P \rangle$ et $\langle E_C \rangle$ des deux noyaux collisionnents, de l'intensité, V_0 , et de la portée, r_0 , de l'interaction effective et des densités des noyaux cible et projectile dans leurs états fondamentaux. Les énergies moyennes d'excitation, $\langle E_P \rangle$ et $\langle E_C \rangle$, se déterminent en moyennant les énergies des états les plus fortement excités dans chacun des deux noyaux interactifs. Dans les références (**VI86**) et (**BA92**) sont indiquées les valeurs pour différents noyaux. Comme il a été montré dans la référence (**VI91**) pour le système $^{16}O + ^{208}Pb$, l'introduction des énergies moyennes permet de bien reproduire l'absorption due aux voies collectives de plus basses énergies d'excitation, mais surestime l'absorption due aux états collectifs de plus hautes énergies d'excitation, bien que cet effet soit fortement atténué à mesure que l'énergie de la collision augmente. Dans cette même référence, il est justifié qualitativement comment le modèle de l'approximation de fermeture inclut beaucoup plus que la contribution des états de basse et de haute énergie d'excitation ; en particulier, la contribution à l'absorption due aux processus de transfert d'un ou de plusieurs nucléons est simulée, principalement, par la contribution des états de plus grande énergie d'excitation.

En raison de l'introduction des relations de fermeture, toutes les excitations des noyaux cible et projectile sont implicitement prises en considération. Cependant, d'autres voies telles que les canaux de diffusion nucléon-nucléon ne sont pas inclus dans le modèle. Il s'ensuit qu'à énergie élevée, lorsque ces processus dominent l'absorption, le modèle n'est pas en mesure de décrire de manière adéquate les collisions noyau-noyau.

La détermination de l'intensité V_0 de l'interaction effective et du paramètre η lié à

sa portée, se fait une seule fois pour chaque système. Pour un système donné et à une énergie suffisamment éloignée de la barrière de Coulomb pour que tous les canaux importants soient ouverts, on ajuste le potentiel réel total : $U_0(R) + \Delta U_L(R)$ au potentiel phénoménologique qui reproduit les données expérimentales de diffusion élastique dans le domaine de sensibilité. Pour tous les systèmes étudiés, nous avons trouvé une valeur de l'intensité de l'interaction $V_0 \simeq 58\text{MeV}$ (**FE90**, **VI91**, **BA91**, **VI93**). Par contre, la valeur du paramètre η est bien distincte selon que le système est symétrique ou non. Pour les systèmes symétriques ou faiblement assymétriques, nous obtenons toujours une valeur $\eta = 0.7\text{fm}^{-2}$ correspondant à une portée $r_0 \simeq 1.69\text{fm}$. Pour les systèmes fortement assymétriques, tels que le système $^{16}\text{O} + ^{208}\text{Pb}$, nous obtenons $\eta = 0.45\text{fm}^{-2}$ correspondant à une valeur de la portée $r_0 \simeq 2.1\text{fm}$. Cette différence est une conséquence de l'approximation de la force séparable. En effet, l'interaction donnée par l'équation (2.39) peut s'écrire sous la forme :

$$V_{ij}(\mathbf{r}) = -V_0 e^{-\frac{\eta}{2}(\mathbf{r}_i + \mathbf{r}_j)^2} e^{-\frac{\eta}{2}(\mathbf{r}_i - \mathbf{r}_j + \mathbf{r})^2} \quad (2.48)$$

Sur la figure 2.2 il est évident que le second facteur qui apparaît dans l'équation (2.48) est le facteur de forme gaussien de portée $(2/\eta)^{1/2}$ qui décrit l'interaction entre les nucléons i et j , tandis que le premier facteur induit une modification artificielle du facteur de forme usuel. Si les deux noyaux sont loin l'un de l'autre, ce facteur est évalué, en moyenne, à $g_0 = e^{-\frac{\eta}{2}(\mathbf{R}_P - \mathbf{R}_C)^2}$ où R_P et R_C sont, respectivement, les rayons des noyaux projectile et cible. Par ailleurs, si les deux noyaux sont identiques ou s'ils ont des rayons proches l'un de l'autre, le facteur g_0 tend vers l'unité alors que pour des systèmes fortement assymétriques, il est inférieur à l'unité ce qui implique nécessairement que V_0 doit être renormalisée et sa valeur augmentée afin de compenser la valeur de g_0 . D'autre part, lorsque les noyaux se recouvrent largement, g_0 atteint une valeur proche de 1 et la pente du potentiel augmente pour les systèmes assymétriques. Pour corriger cet effet, il faut diminuer le paramètre η dans un intervalle qui conduise à des valeurs de r_0 physiquement raisonnables.

Quant aux densités des noyaux dans leurs états fondamentaux, on utilise celles obtenues dans des expériences de diffusion d'électrons ou à partir de calculs réalisés dans le cadre du modèle en couches.

Bien que le modèle de l'approximation de fermeture permette d'écrire le potentiel réel comme somme d'un potentiel de double convolution et d'un terme de polarisation donné par l'équation (2.47), il est mieux adapté au calcul du terme d'absorption du potentiel donné par l'équation (2.44). Ceci est dû à certaines des approximations que nous avons faites et, en particulier, au type de force effective utilisée. En effet, ce type de force a

été amplement utilisé dans les études de structure nucléaire et il est donc raisonnable d'y recourir dans la description des éléments de matrice transition de V_{mn} , strictement liés aux effets de structure. Par contre, la dynamique du processus, inclue dans le propagateur, est mieux décrite par d'autres types d'interaction tels que l'interaction effective M3Y. Pour cette raison nous avons assumé comme potentiel réel $U_0(R) + \Delta U_L(R) \simeq N(E) V_{M3Y}(R)$ que nous avons utilisé pour l'évaluation du propagateur WKB qui intervient dans le calcul du terme d'absorption donné par l'équation (2.44).

Notons, pour terminer cette section, que pour des systèmes très déformés et aux énergies proches de la barrière de Coulomb, l'absorption est contrôlée par peu de canaux et l'hypothèse principale du modèle de fermeture n'est plus valide. Dans ce cas il est nécessaire de faire appel à la troisième modélisation de la théorie de Feshbach exposée dans ce travail, à savoir l'évaluation, terme à terme, de la contribution à l'absorption des canaux inélastiques les plus importants.

2.2.3 Troncation des états dans le calcul du potentiel optique :

Nous rappellerons rapidement le formalisme déjà abondamment décrit dans la littérature (**VI91**), (**BA91**), (**BA92**), (**PA95**). Nous pouvons réécrire le terme de polarisation de l'équation (2.27) sous la forme :

$$\Delta V(\mathbf{r}, \mathbf{r}') = \sum_{i \neq 0} V_i^*(\mathbf{r}) G_i(\mathbf{r}, \mathbf{r}') V_i(\mathbf{r}') \quad (2.49)$$

où l'indice i représente tous les canaux inélastiques et $V_i(\mathbf{r})$ est l'élément de matrice de transition qui, pour un état i de moment angulaire (λ, μ) , peut s'écrire :

$$V_i(\mathbf{r}) = \frac{1}{\sqrt{2\lambda + 1}} f_\lambda^{(i)}(r) Y_\lambda^\mu(\hat{\mathbf{r}}) \quad (2.50)$$

introduisant cette expression dans l'équation antérieure, nous obtenons :

$$\Delta V(\mathbf{r}, \mathbf{r}') = \sum_{i \neq 0} \sum_{\lambda} G_i(\mathbf{r}, \mathbf{r}') f_\lambda^{(i)*}(r) f_\lambda^{(i)}(r') \frac{P_\lambda(\cos \hat{\mathbf{r}} \cdot \hat{\mathbf{r}'})}{4\pi} \quad (2.51)$$

la fonction de Green, $G_i(\mathbf{r}, \mathbf{r}')$, décrit la propagation du système dans le canal i et peut, comme précédemment, être approximée par le propagateur WKB,

$$G_i(\mathbf{r}, \mathbf{r}') \simeq G_i^{WKB}(\mathbf{r}, \mathbf{r}') = -\frac{\mu}{2\pi\hbar^2} \frac{e^{iK_i|\mathbf{r}-\mathbf{r}'|}}{|\mathbf{r}-\mathbf{r}'|} = -\frac{\mu}{2\pi\hbar^2} \frac{e^{iK_is}}{s} \quad (2.52)$$

où $s = |\mathbf{r} - \mathbf{r}'|$ est la coordonnée relative et K_i est le moment local WKB pour le canal inélastique i d'énergie d'excitation E_i , donné par :

$$K_i^2 = \frac{2\mu}{\hbar^2} [E_{cm} - (E_i + U(R) + i\mathcal{I}m\Delta V_L^{in}(R) + V_C(R))] \quad (2.53)$$

où E_{cm} est l'énergie de collision dans le centre de masse, $U(R) = U_0(R) + \mathcal{R}e\Delta V_L^{in}(R)$ est le potentiel réel local, $V_C(R)$ est le potentiel de Coulomb et $\mathcal{I}m\Delta V_L^{in}(R)$ est le potentiel imaginaire local qui décrit l'absorption due à l'excitation des états inélastiques et que, par soucis de simplicité, nous noterons $W^{in}(R)$. Le moment local K_i peut être exprimé par $K_i = k_i + i\kappa_i$, avec :

$$k_i^2 = \frac{\mu}{\hbar^2} \left[E_{cm} - E_B^{i*}(R) + \sqrt{[E_{cm} - E_B^{i*}(R)]^2 + [W^{in}(R)]^2} \right] \quad (2.54)$$

$$\kappa_i = \frac{\mu}{\hbar^2} \cdot \frac{W^{in}(R)}{k_i} \quad (2.55)$$

où la hauteur de la barrière du canal i est donnée par : $E_B^{i*}(R) = E_i + U(R) + V_C(R)$.

Dans la théorie de Feshbach du potentiel optique, il est démontré qu'un canal déterminé ne participe pas à l'absorption si l'énergie de la collision E_{cm} est inférieure à l'énergie seuil : E_B^{i*} . Cela est dû au fait que le propagateur est réel. Cette propriété doit être satisfaite par notre propagateur WKB. En effet, lorsque $E_{cm} < E_B^{i*}$ le canal i est énergétiquement inaccessible et ne peut se peupler ; il ne contribue donc pas à l'absorption et $W_i^{in}(R) = 0$. Dans ce cas, $\kappa_i = 0$, $k_i^2 < 0$ et $K_i = i|k_i|$.

Introduisant les composantes k_i et κ_i (éqs. 2.54 et 2.55) de K_i dans l'équation (2.52), nous obtenons le propagateur WKB dans tout le domaine d'énergies :

$$G_i^{WKB} = -\frac{\mu}{2\pi\hbar^2} \frac{e^{-\kappa_is}}{s} [\cos(k_is) + i\sin(k_is)] \quad \text{si } E_{cm} > E_B^{i*}(R) \quad (2.56)$$

$$G_i^{WKB} = -\frac{\mu}{2\pi\hbar^2} \frac{e^{-|k_is}}{s} \quad \text{si } E_{cm} < E_B^{i*}(R) \quad (2.57)$$

Le propagateur du mouvement relatif donné par l'équation (2.52) se calcule avec l'hamiltonien total $H = H_0 + V_N$, où H_0 inclut la somme des hamiltoniens des deux noyaux indépendants et de l'interaction de Coulomb entre eux, tandis que V_N représente l'interaction nucléaire cible-projectile décrite par le potentiel optique, $V_N = \mathcal{R}eV_N + i\mathcal{I}mV_N$. Dans notre modélisation, tel qu'il sera indiqué plus loin, $\mathcal{R}eV_N$ est considéré comme le potentiel réel obtenu par ajustement des données expérimentales et inclut, par conséquent, la contribution de tous les processus réels (énergétiquement accessibles) et virtuels (énergétiquement inaccessibles). Par contre, $\mathcal{I}mV_N$ représente le terme d'absorption du potentiel dû aux voies ouvertes et qui ont une contribution significative. Ainsi donc, notre propagateur G est un propagateur complet et il peut être développé en termes du propagateur G_0 calculé seulement avec l'hamiltonien H_0 :

$$G = G_0 + G_0V_NG_0 + G_0V_NG_0V_NG_0 + \dots \quad (2.58)$$

et en introduisant cette relation dans l'équation (2.49), nous obtenons :

$$\Delta V(\mathbf{r}, \mathbf{r}') = \sum_{i \neq 0} [V_i^*(\mathbf{r})G_0(\mathbf{r}, \mathbf{r}')V_i(\mathbf{r}') + V_i^*(\mathbf{r})G_0(\mathbf{r}, \mathbf{r}')V_N G_0(\mathbf{r}, \mathbf{r}')V_i(\mathbf{r}') + \dots] \quad (2.59)$$

où le premier terme décrit les processus inélastiques directs tandis que les autres termes correspondent aux processus multi-étapes qui décrivent la contribution du noyau composé.

Nous pouvons déduire des équations (2.56) et (2.57) que tous les canaux, ouverts ou fermés, contribuent à la partie réelle du potentiel dans tout le domaine radial, tandis que seuls les canaux ouverts contribuent au potentiel imaginaire dans le domaine radial où ils sont ouverts. Ceci nous pose un problème difficilement abordable vu que pour calculer la partie réelle du potentiel de polarisation nous devons prendre en considération toutes les voies, tandis que pour le calcul de la partie imaginaire nous n'avons besoin d'inclure que les voies ouvertes. Notre modélisation s'avère donc plus appropriée pour le calcul de la partie imaginaire du potentiel et dans tout ce qui suit, nous ne ferons référence qu'au terme d'absorption du potentiel.

Si nous supposons une faible non-localité du potentiel non local, nous pouvons obtenir le potentiel local équivalent comme la transformée de Fourier du potentiel non local (**PE62**), (**PE64**), (**PE80**) et (**HO80**).

$$W^{in}(R) = \int e^{i\mathbf{k}\cdot\mathbf{s}} \mathcal{I}m\Delta V \left(\mathbf{R} + \frac{\mathbf{s}}{2}, \mathbf{R} - \frac{\mathbf{s}}{2} \right) ds \quad (2.60)$$

où \mathbf{R} et \mathbf{s} sont les coordonnées du centre de masse et du mouvement relatif

$$\mathbf{R} = \frac{\mathbf{r} + \mathbf{r}'}{2} \quad \text{et} \quad \mathbf{s} = \mathbf{r} - \mathbf{r}' \quad (2.61)$$

et \mathbf{k} est le moment local défini par :

$$k^2 = \frac{2\mu}{\hbar^2} [E_{cm} - E_B^*(R)] \quad (2.62)$$

avec :

$$E_B^*(R) = U(R) + V_C(R) \quad (2.63)$$

k est réel excepté si $E_{cm} < E_B^*(R)$, auquel cas $k = i|k|$.

Si nous supposons, pour l'interaction noyau-noyau, une faible dépendance angulaire entre les vecteurs \mathbf{R} et \mathbf{s} (comme cela a été montré pour le cas de l'interaction nucléon-noyau (**BOU81**)), il est possible d'évaluer $\mathcal{I}m\Delta V \left(\mathbf{R} + \frac{\mathbf{s}}{2}, \mathbf{R} - \frac{\mathbf{s}}{2} \right)$ en choisissant deux situations extrêmes correspondant à \mathbf{R} et \mathbf{s} ou, ce qui est équivalent, à \mathbf{r} et \mathbf{r}' , colinéaires ou anti-colinéaires.

Nous pouvons obtenir aisément les relations suivantes :

$$\mathcal{I}m\Delta V(R, s) = \begin{cases} \frac{1}{4\pi} \sum_{\lambda, i \neq 0} \mathcal{I}mG_i(R, s) f_\lambda^{(i)*}(R + \frac{s}{2}) f_\lambda^{(i)}(R - \frac{s}{2}) & \text{si } R > \frac{s}{2} \\ \frac{1}{4\pi} \sum_{\lambda, i \neq 0} (-1)^\lambda \mathcal{I}mG_i(R, s) f_\lambda^{(i)*}(R + \frac{s}{2}) f_\lambda^{(i)}(-R + \frac{s}{2}) & \text{si } R < \frac{s}{2} \end{cases} \quad (2.64)$$

Finalement à partir des équations (2.60) et (2.64) et vue la faible non localité du potentiel non local, $s \simeq 1fm$, (**BA91**), nous obtenons l'expression :

$$W^{in}(R) = \sum_{\lambda, i \neq 0} \int_0^{2R} s^2 ds \mathcal{I}mG_i(R, s) j_0(ks) f_\lambda^{(i)*}(R + \frac{s}{2}) f_\lambda^{(i)}(R - \frac{s}{2}) \quad (2.65)$$

qui est satisfaite pour des valeurs de $R > s/2$.

Le potentiel $W^{in}(R)$ doit être corrigé par un opérateur de masse effective car, dans la définition du moment local, k , nous n'avons inclus que la partie réelle du potentiel optique. Nous supposons que cet opérateur de masse effective est proche de l'unité ($\frac{m^*}{m} \simeq 1$) à la surface nucléaire (**VI86**), (**VI87**) et (**VI90**).

Lorsque nous nous intéressons aux états collectifs de plus basses énergies d'excitation, les facteurs de forme radiaux $f_\lambda^{(i)}$ qui apparaissent dans l'expression du potentiel de Feshbach sont bien décrits, dans le cadre du modèle collectif, par :

$$f_\lambda^{(i)}(r) = \beta_{\lambda j}^{(i)} R_j \frac{\partial U^{COP}(r)}{\partial r} = \delta_{\lambda j}^{(i)} \frac{\partial U^{COP}(r)}{\partial r} \quad (2.66)$$

où $\beta_{\lambda j}^{(i)}$ est l'amplitude de transition de multipolarité λ dans le canal i , pour le noyau j et $\delta_{\lambda j}^{(i)}$ est la longueur de déformation correspondante. R_j est le rayon de ce noyau et $U^{COP}(r)$ est le potentiel de Copenhague noyau-noyau (**BR81**) et (**BRO81**).

Il a été montré (**BR81**), que le facteur de forme nucléaire calculé à partir de l'équation précédente en utilisant le potentiel de Copenhague, reproduit les facteurs de forme nucléaires microscopiques RPA dans un large domaine radial de la surface nucléaire.

En introduisant la partie imaginaire du propagateur et ces facteurs de forme radiaux dans l'expression du potentiel donné par l'équation (2.65), nous obtenons la contribution des canaux inélastiques les plus bas au potentiel imaginaire :

$$W^{in}(R) = -\frac{\mu}{2\pi k \hbar^2} \sum_{\lambda, i \neq 0} \delta_{\lambda j}^{(i)2} \int_0^{2R} ds e^{-\kappa_i s} \sin(ks) \sin(k_i s) P(R, s) \quad (2.67)$$

quant à $P(R, s)$, il est défini par :

$$P(R, s) = g(R + \frac{s}{2}) g(R - \frac{s}{2}) \quad (2.68)$$

avec :

$$g(R \pm \frac{s}{2}) = \left. \frac{\partial U^{Cop}(r)}{\partial r} \right|_{r=R \pm \frac{s}{2}} \quad (2.69)$$

Le facteur de forme nucléaire pour l'excitation mutuelle est donné par (**SA83**) :

$$f_{\lambda\lambda'}^{(ii')}(r) = \frac{1}{4\pi} \beta_{\lambda j}^{(i)} \beta_{\lambda' k}^{(i')} R_j R_k \frac{\partial^2 U^{Cop}(r)}{\partial^2 r} = \delta_{\lambda j}^{(i)} \delta_{\lambda' k}^{(i')} \frac{\partial^2 U^{Cop}(r)}{\partial^2 r} \quad (2.70)$$

où tous les symboles ont déjà été définis et ils se rapportent à présent aux noyaux j, k dans leurs états excités respectifs i, i' de multipolarités λ, λ' . Dans le cas de l'excitation mutuelle, nous pouvons obtenir une expression similaire à celle donnée par l'équation 2.67, sans rien faire de plus que remplacer des facteurs de forme par d'autres. Dans la pratique, il suffit de remplacer les longueurs de déformation $\delta_{\lambda j}^{(i)2}$ par $\delta_{\lambda j}^{(i)2} \delta_{\lambda' k}^{(i')2}$ et les fonctions $g(R \pm \frac{s}{2})$ par les fonctions $h(R \pm \frac{s}{2})$, définies par :

$$h(R \pm \frac{s}{2}) = \left. \frac{\partial^2 U^{Cop}(r)}{\partial^2 r} \right|_{r=R \pm \frac{s}{2}} \quad (2.71)$$

Nous pouvons obtenir une indication qualitative sur la forme du potentiel imaginaire due à la contribution des canaux inélastiques ouverts, dans la limite où la portée de la non-localité est proche de zéro :

$$W^{in}(R) = \lim_{s \rightarrow 0} \mathcal{I}m \Delta V(R, s) = -\frac{\mu}{8\pi^2 \hbar^2} \sum_{\lambda, i \neq 0} k_i \left| f_{\lambda}^{(i)}(R) \right|^2 \quad (2.72)$$

Cependant, la portée de la non-localité est faible mais non nulle et cette dernière équation ne peut être considérée que comme une approximation asymptotique. Elle indique que dans la limite où la portée de la non-localité est proche de zéro, le potentiel imaginaire de l'équation précédente peut être obtenu comme la contribution des termes proportionnels au carré des facteurs de forme radiaux. Avec le type de facteurs de forme adoptés (équation 2.66) nous obtenons :

$$W^{in}(R) \propto \sum_{\lambda, i \neq 0} k_i \delta_{\lambda j}^{(i)2} \left| \frac{\partial U(R)}{\partial R} \right|^2 \quad (2.73)$$

Ceci indique que les canaux inélastiques les plus bas ne contribuent qu'à la surface du potentiel, ce qui est en parfait accord avec les résultats obtenus par de Broglia et al. (**BRO81**) utilisant des méthodes semiclassiques. Les principales différences entre nos calculs et ceux de Broglia et al., en dehors de l'utilisation d'une méthode semiclassique, proviennent des points suivants :

1. La non localité du potentiel que nous avons correctement prise en considération.
2. L'utilisation d'un propagateur complet, entraînant que, dans nos calculs, tous les processus, et pas seulement les processus directs, sont pris en considération.

L'approximation adoptée, consistant à n'inclure dans notre modélisation de la théorie de Feshbach que les états collectifs de basse énergie d'excitation et à approximer leurs facteurs de forme radiaux par des fonctions de surface, signifie que nous n'avons pris en considération que la contribution de surface des états du noyau composé. C'est une approximation qui, à basse énergie, ne doit pas affecter les sections efficaces de diffusion élastique, vu qu'il n'existe aucune sensibilité à la valeur du potentiel imaginaire à l'intérieur.

Remarquons que, dans le formalisme de Feshbach, la partie absorbante du potentiel trouve son origine dans le potentiel de polarisation imaginaire dont la structure est compliquée du fait qu'il inclut des processus de second ordre ou plus.

Dans tout ce qui précède nous n'avons pas considéré la partie réelle du potentiel. Il est possible de déduire des expressions similaires pour le potentiel de polarisation réel. Cependant nous avons montré que tous les canaux, ouverts ou fermés, contribuent au potentiel de polarisation réel tandis que seuls les canaux ouverts contribuent au potentiel imaginaire. Par conséquent, nous devons inclure dans nos calculs tous les canaux, ouverts ou fermés, parce qu'ils contribuent tous, non seulement explicitement, au potentiel réel, mais aussi, implicitement, aux potentiels réel et imaginaire, à travers le moment local. Afin d'éviter les difficultés posées par ce problème, nous remplaçons dans nos calculs le potentiel réel total par le potentiel renormalisé que nous avions obtenu en ajustant les données expérimentales. Ainsi, la contribution de tous les canaux est prise en compte :

$$U_0(R) + \mathcal{R}e\Delta V_L(R) \simeq N(E)V_{M3Y}(R) \quad (2.74)$$

Nous arrivons ainsi à obtenir le potentiel imaginaire dû aux canaux inélastiques ouverts, explicitement inclus dans les calculs. Cependant il faut avoir à l'esprit qu'à travers les moments locaux k_i , κ_i et k , le potentiel $W^{in}(R)$ dépend à la fois du potentiel réel total et du potentiel imaginaire total de la manière suivante :

$$W^{in}(R) = F \left[N(E)V_{M3Y}(R), W^{in}(R) \right] \quad (2.75)$$

Cela signifie que, pour effectuer le calcul du potentiel imaginaire, une procédure itérative est nécessaire.

Pour terminer ce chapitre, il nous reste à dire que, tel que celà a été démontré dans la référence (**VI91**), la relation de dispersion donnée par l'équation (2.15) est satisfaite analytiquement entre les parties réelle et imaginaire des potentiels non locaux obtenus avec les modélisations de Feshbach décrites dans les parties 2.2.2 et 2.2.3 lorsque le propagateur est évalué dans l'approximation WKB à partir d'un hamiltonien hermitique. D'autre

part, Pacheco et al. (**PA91**) ont démontré que dans le cas de potentiels locaux obtenus en introduisant un hamiltonien hermitique dans l'évaluation du propagateur, la relation de dispersion est satisfaite exactement sous certaines conditions (couplage faible, propagateur WKB, localisation par ondes planes et masse effective proche de l'unité). Ces résultats apportent un soutien théorique à toutes les analyses phénoménologiques basées sur l'utilisation de potentiels locaux. Cependant, si, comme il est habituel, l'hamiltonien qui décrit l'interaction n'est pas hermitique, sa non hermiticité introduit une violation de la relation de dispersion dont l'évaluation par des méthodes numériques (**VI91**), indique qu'elle est faible. Son origine réside dans le fait que les équations qui permettent de déterminer les parties réelle et imaginaire du potentiel optique forment un système d'équations couplées qui ne peuvent être évaluées séparément et qui nécessitent un calcul itératif.

Chapitre 3

ABSORPTION AU VOISINAGE DE LA BARRIÈRE

3.1 DONNÉES EXPÉRIMENTALES :

Une collaboration de plusieurs années entre une équipe du CRN (actuellement IReS) de Strasbourg (France) et une autre de l'IFIC de Valencia (Espagne) a permis d'accumuler des données très précises, sur un large domaine angulaire et à différentes énergies incidentes, de la diffusion élastique, inélastique et des transferts de quelques nucléons dans l'interaction de différents noyaux de la couche sd.

La méthode expérimentale utilisée est basée sur l'identification par la cinématique des produits de réaction. Cette méthode, valable pour les réactions à deux corps dans la voie de sortie, nécessite la mesure de quatre grandeurs. En pratique le dispositif mis au point permettait la mesure des énergies cinétiques des noyaux formés ainsi que leur angle d'émission par rapport à la direction des noyaux incidents. Il a été décrit dans différents travaux publiés (voir en particulier (**BI86**), (**ER72**), (**HU81**), (**ST85**), (**WE72**) et (**ZE77**)).

Nous ne reprendrons ici que les grandes lignes et les points qui ont fait l'objet d'une attention particulière permettant d'optimiser la méthode et d'obtenir des données de grande qualité.

La détection des produits de réaction était effectuée à l'aide de deux détecteurs solides (Si) de grandes surfaces (9x48mm), sensibles à la position et associés à un dispositif électronique de coïncidence. Celui-ci permettait de sélectionner les noyaux provenant d'une même réaction. Les détecteurs étaient placés dans une chambre à réaction installée sur l'une des aires expérimentales de l'accélérateur électrostatique de type tandem qui fut en fonction au CRN jusqu'en 1989. Le dispositif permettait de mesurer en même temps une partie de la distribution angulaire (typiquement un intervalle de 40°). Pour obtenir l'ensemble de la distribution, plusieurs mesures effectuées avec des configurations angu-

laires différentes des détecteurs étaient nécessaires. La normalisation entre les différentes portions de distributions angulaires était réalisée par recouvrement des zones communes. Le nombre de configurations différentes des détecteurs variait de 4 à 6 suivant les systèmes étudiés.

Durant les mesures une analyse en ligne d'un échantillonage des événements enregistrés (sur bandes magnétiques) permettait le contrôle de la qualité des données. Celle-ci dépend de la stabilité de l'électronique, de la qualité des cibles et des détecteurs. La réponse des détecteurs était régulièrement étalonnée à l'aide de grilles, formées de fentes très fines régulièrement espacées, placées devant les détecteurs à une position repérée avec précision.

La résolution en énergie du dispositif était assez pauvre. Cela était lié aux caractéristiques des détecteurs mais était aussi inhérent à l'interaction des ions lourds de basse énergie avec la matière. Lorsqu'ils traversent une épaisseur de matière donnée, les ions perdent une partie de leur énergie et sont déviés. Les valeurs de cette perte d'énergie et de cet angle de déviation sont distribuées autour de valeurs moyennes qui dépendent de l'ion, de la matière traversée et de l'énergie incidente. La largeur des distributions dépend des mêmes causes. Ces effets sont d'autant plus importants que les ions sont lourds, les énergies faibles et l'épaisseur traversée importante.

Afin de minimiser ces effets, un soin particulier a été apporté aux cibles. Elles ont été choisies très minces (de quelques $\mu\text{g}/\text{cm}^2$ à $20 \mu\text{g}/\text{cm}^2$), fabriquées par évaporation ou par implantation sur des supports minces de carbone ($20 \mu\text{g}/\text{cm}^2$). Leur orientation par rapport au faisceau incident a été déterminée, pour chaque configuration angulaire des détecteurs, de façon à minimiser l'épaisseur traversée après la réaction par les noyaux d'énergies les plus basses. Dans tous les cas, elles ont été placées de sorte que le faisceau incident rencontre d'abord le support de carbone. De cette façon, l'énergie incidente la plus probable était la même pour tous les événements retenus. Les énergies incidentes pour lesquelles sont données les distributions angulaires tiennent compte de la perte d'énergie dans le support de carbone et dans la moitié de l'épaisseur de la cible utile.

Contrairement à leur résolution en énergie, la résolution angulaire des détecteurs était très bonne à condition de les placer à une distance suffisante. Leur résolution spatiale était meilleure que le millimètre. Les distances choisies pour les détecteurs correspondaient à un compromis entre :

- a) La résolution angulaire nécessaire. (La séparation des diffusions élastiques et inélastiques est d'autant plus difficile que l'énergie du premier niveau d'excitation de l'un ou l'autre des noyaux étudiés est basse).

- b) L'angle solide couvert par le détecteur. De cette valeur dépend le nombre de mesures différentes, donc le temps total pour mesurer une distribution angulaire.

Rappelons que les effets de dispersion angulaire (straggling angulaire) décrits dans le paragraphe précédent dégradent la résolution angulaire du dispositif. Ils ont été minimisés par les précautions apportées à l'orientation de la cible et à son épaisseur mais ils sont responsables de la limite en résolution angulaire.

Tenant compte des considérations précédentes sur la résolution en énergie et en angle du dispositif, l'analyse des données a été faite en deux étapes. Tout d'abord les grandeurs expérimentales (énergies et angles) ont été utilisées pour sélectionner les systèmes de noyaux dans la voie de sortie. Ensuite, seules les données angulaires, beaucoup plus précises, étaient utilisées pour analyser la voie de réaction intéressante. De façon plus concrète, pour les données de diffusion élastique utilisées dans ce travail, la première étape consistait à sélectionner les événements dont les noyaux dans la voie de sortie correspondaient à ceux de la voie d'entrée. La seconde étape permettait de séparer la voie élastique des voies inélastiques et de déterminer les sections efficaces différentielles, avec un pas angulaire de 0.5° dans le système du centre de masse.

Le domaine angulaire mesurable est limité aux petits angles par le fort taux de comptage qui, d'une part entraîne une destruction des détecteurs, et d'autre part perturbe les mesures car le temps de réponse du détecteur est trop faible. Il n'était pas possible en général de mesurer les sections efficaces en dessous de 30° dans le système du laboratoire.

Une autre difficulté, inhérente à la méthode, est la mesure des sections efficaces, généralement très faibles, aux grands angles. Les configurations angulaires des détecteurs pour ces mesures sont très proches de celles utilisées pour les mesures aux petits angles. Lors d'une telle mesure, les événements correspondant à la diffusion aux petits angles sont collectés en même temps que les événements qui correspondent à la diffusion aux grands angles et dont le rendement peut être inférieur de plusieurs ordres de grandeur. Le nombre, rapidement prohibitif, d'événements à analyser entraîne des erreurs statistiques importantes sur les points aux grands angles et même l'impossibilité de ces mesures lorsque le rapport des rendements aux angles avant et arrière dépasse 10^4 .

Les erreurs sur les points des distributions angulaires tiennent compte des erreurs statistiques, des erreurs dues aux recouvrements des portions de distributions angulaires mesurées pour des configurations différentes des détecteurs et des erreurs dues à la normalisation absolue effectuée aux petits angles, en supposant que la diffusion y est purement coulombienne.

En conclusion de cette rapide description de la méthode expérimentale nous indiquons les valeurs courantes des grandeurs caractéristiques expérimentales obtenues :

- Résolution en énergie : $\simeq 450 \text{ keV}$
- Résolution angulaire : $\simeq 1^0$ dans le système du laboratoire.
- Erreur sur la normalisation absolue : $\simeq 2\%$

Toutes les données expérimentales utilisées dans ce travail ont été obtenues par la méthode exposée précédemment à l'exception des données de la diffusion de $^{16}\text{O} + ^{208}\text{Pb}$ (**VA75**), (**LI**) et (**RO**)

3.2 ANALYSE SEMIPHÉNOMÉNOLOGIQUE :

La première étude concerne l'analyse de différents systèmes à différentes énergies incidentes au voisinage de la barrière de Coulomb. La hauteur de celle-ci est estimée par la relation (**BR81**) :

$$E_B = \frac{Z_P Z_C e^2}{r_B} \left(1 - \frac{a}{r_B}\right) \quad (3.1)$$

où a est une constante valant 0.63 fm et r_B est donné par la relation (**BR81**) :

$$r_B = [1.07(A_P^{\frac{1}{3}} + A_C^{\frac{1}{3}}) + 2.72] \text{ fm} \quad (3.2)$$

Dans les deux relations précédentes, l'indice P se réfère au noyau projectile tandis que l'indice C concerne le noyau cible. Les lettres Z et A symbolisent le numéro atomique et le nombre de masse. Enfin, e est la charge élémentaire.

La valeur de la hauteur de la barrière de Coulomb pour tous les systèmes étudiés est reportée dans le tableau 3.1 avec les énergies incidentes pour lesquelles une analyse a été effectuée dans ce travail. La méthode employée est décrite dans la section 2.2.1. Le potentiel réel de convolution a été calculé grâce au code DFPOT (**CO82**) tandis que la partie imaginaire a été obtenue en assumant un facteur de forme radial du type Woods-Saxon dont les paramètres ont été déterminés en ajustant les données de diffusion élastique.

Système	$E_B^{lab}(\text{MeV})$	E_{lab} (MeV)
$^{16}O + ^{208}Pb$	81.3	78.0, 83.0, 87.0, 90.0, 104.0, 129.5, 192.0
$^{31}P + ^{27}Al$	60.1	79.5
$^{32}S + ^{24}Mg$	64.9	65.0, 75.0, 86.3, 95.0, 110.0
$^{32}S + ^{28}Si$	68.3	90.0
$^{32}S + ^{32}S$	71.9	70.0, 90.0, 97.1, 120.0, 160.0
$^{32}S + ^{36}S$	67.0	90.0
$^{32}S + ^{40}Ca$	78.8	90.0, 100.0, 110.0, 120.0, 151.5
$^{35}Cl + ^{24}Mg$	71.8	79.9, 85.0, 95.0, 110.0, 120.0
$^{37}Cl + ^{24}Mg$	73.8	87.9, 98.2, 113.7, 124.0

Tableau 3.1 : Hauteurs de la Barrière de Coulomb et énergies incidentes

Le code ECIS (**RA94**) a été utilisé pour tous les calculs de modèle optique décrits dans cette thèse. Ainsi, le potentiel total utilisé pour les calculs de modèle optique a été :

$$V_T(R) = N(E)V_{M3Y}(R) + iW_{WS}(R) + V_C(R) \quad (3.3)$$

où $V_C(R)$ est le potentiel de Coulomb et $N(E)$ est un facteur de renormalisation, dépendant de l'énergie, qui est introduit afin de décrire la partie réelle du terme de polarisation. Cette dépendance énergétique, connue sous le nom de l'anomalie de seuil, a été observée dans la diffusion de différents systèmes (**BA84**), (**LI85**), (**DI89**) et (**TH85**) et il est, aujourd'hui, parfaitement expliqué (**NA85**), (**MA86**) et (**PA91**). Il provient des couplages des canaux non élastiques à la voie élastique. La dépendance énergétique du potentiel réel est en relation avec l'intensité de ces couplages. Elle est directement liée, par une relation de dispersion (eq. 2.15), au taux de variation de l'absorption en fonction de l'énergie, d'une manière qui dépend de la structure des deux noyaux en collision.

Le facteur de renormalisation a été obtenu en ajustant les données de diffusion élastique et sa présence change, non seulement la profondeur du potentiel réel, mais également sa pente. Par conséquent, la forme de la contribution de polarisation n'est pas la même que celle du potentiel nu.

Les densités nucléaires utilisées dans les calculs du potentiel par convolution M3Y ont été obtenues à partir des distributions de charge des nucléons (**BOR75**) et (**JA74**), de la manière standard (**SA79**). Les distributions de charge nucléaires ont été obtenues à partir d'expériences de diffusion d'électrons, excepté pour le ^{208}Pb dont les densités ont été obtenues par une méthode variationnelle semi-classique et pour le ^{36}S pour lequel il n'existe pas de données de diffusion d'électrons. Pour les noyaux inclus dans le tableau 3.2 les densités ont été paramétrées par une forme parabolique de Fermi à quatre paramètres.

$$\rho_c(r) = \rho_0[1 + \omega(r^2/c^2)][1 + \exp((r - c)/z)^{-n}] \quad (3.4)$$

Noyau	c(fm)	z(fm)	ω	n	Note	Ref.
^{16}O	2.608	0.513	-0.051	1.00		VR87
^{24}Mg	3.192	0.604	-0.249	1.00		LI74
^{27}Al	3.079	0.519	0.0	1.00		VR87
^{28}Si	3.239	0.574	-0.149	1.00		BR77
^{31}P	3.369	0.582	-0.173	1.00		VR87
^{32}S	3.441	0.624	-0.213	1.00		LI74
^{35}Cl	3.490	0.602	-0.120	1.00		BR80
^{37}Cl	3.554	0.588	-0.130	1.00		VR87
^{40}Ca	3.676	0.585	-0.102	1.00		FR68
^{208}Pb	7.194	0.658	0.0	1.56	neutron	BR85
^{208}Pb	6.975	0.635	0.0	1.42	proton	BR85

Tableau 3.2 : Paramètres des densités de charge expérimentales.

Dans le tableau 3.3 sont donnés les coefficients d'une paramétrisation du type Bessel-Fourier utilisée dans le cas du ^{36}S

$$\rho_c(r) = \begin{cases} \sum_{n=1}^{15} a_n j_0\left(\frac{n\pi r}{R}\right) & \text{si } r \leq 8.0 \text{ fermi} \\ 0 & \text{si } r > 8.0 \text{ fermi} \end{cases} \quad (3.5)$$

j_0 représente la fonction de Bessel d'ordre zéro.

a_1	0.3703210^{-1}	a_6	0.6188210^{-2}	a_{11}	-0.8406310^{-4}
a_2	0.5793910^{-1}	a_7	0.3779510^{-2}	a_{12}	0.3410110^{-4}
a_3	0.1004910^{-1}	a_8	-0.5527210^{-3}	a_{13}	-0.1166310^{-4}
a_4	-0.1985210^{-1}	a_9	-0.1290410^{-3}	a_{14}	0.3520410^{-5}
a_5	-0.6717610^{-2}	a_{10}	0.1584510^{-3}	a_{15}	-0.9513510^{-6}

Tableau 3.3 : Les coefficients de Bessel-Fourier de la densité de charge du ^{36}S (**VR87**).

3.2.1 Distributions angulaires et potentiels

Aux énergies proches de la barrière de Coulomb les distributions angulaires présentent très peu de sensibilité aux paramètres du potentiel nucléaire. Il est donc utile de diminuer le nombre de paramètres. Pour cela, la profondeur de la partie imaginaire du potentiel a été fixée. Une valeur de 60 MeV a été choisie car cette valeur est proche de la profondeur du potentiel imaginaire calculé avec des modèles microscopiques (**VI86**), (**VI87**), (**VI90**), (**FE90**) et (**BA92**). Comme nous le vérifierons plus tard, la valeur de ce paramètre n'est importante ni pour le calcul de la valeur de l'absorption totale ni pour la détermination de la région du potentiel où a lieu l'absorption.

Dans l'analyse de tous les systèmes pour lesquels nous disposons de données de diffusion élastique dans un large domaine d'énergies, incluyant la diffusion sous-coulombienne,

nous avons utilisé la même systématique que nous détaillons, dans ce qui suit, pour le système $^{32}S + ^{24}Mg$. Nous avons commencé notre analyse en ajustant les données de diffusion élastique à 83.6, 95.0 et 110.0 MeV. Étant donné que ces énergies sont suffisamment loin de la barrière, il y a une grande sensibilité aux valeurs des paramètres de potentiel optique ; par conséquent, nous avons recherché les valeurs du rayon et de la diffusivité du potentiel imaginaire, ainsi que le facteur de renormalisation du potentiel réel qui reproduisent au mieux les données expérimentales à 110.0 MeV. Ces paramètres ont été utilisés comme valeurs de départ pour l'ajustement correspondant à 95.0 MeV, et ainsi de suite. Les paramètres qui reproduisent au mieux les expériences sont inclus dans le tableau 3.4.

E_{lab} (MeV)	N_R	W_0 (MeV)	R_W (fm)	a_W (fm)	$\langle l \rangle$	$\langle l^2 \rangle$	χ^2/n	σ_R (mb)	σ_{2+}^C (mb)	Note
110.0	1.27	60	6.75	0.563	22.50	581.0	3.6	1163		
95.0	1.60	60	7.40	0.460	18.70	405.0	2.3	948		
86.3	1.59	60	7.60	0.408	15.80	288.0	0.9	738		
75.0	1.72	60	7.95	0.370	11.80	165.0	3.4	445		
	1.52	60	7.95	0.330	-	-	2.2	546	169	a,b
65.0	1.91	60	8.10	0.223	5.94	45.5	5.5	54.7	a	
	1.72	60	8.10	0.093	-	-	1.2	155	121	a,b

a) R_W fixé.

b) Couplage coulombien de l'état $^{24}Mg(2^+; 1.37MeV)$ à la voie élastique.

Tableau 3.4 : Meilleurs paramètres du modèle optique pour $^{32}S + ^{24}Mg$.

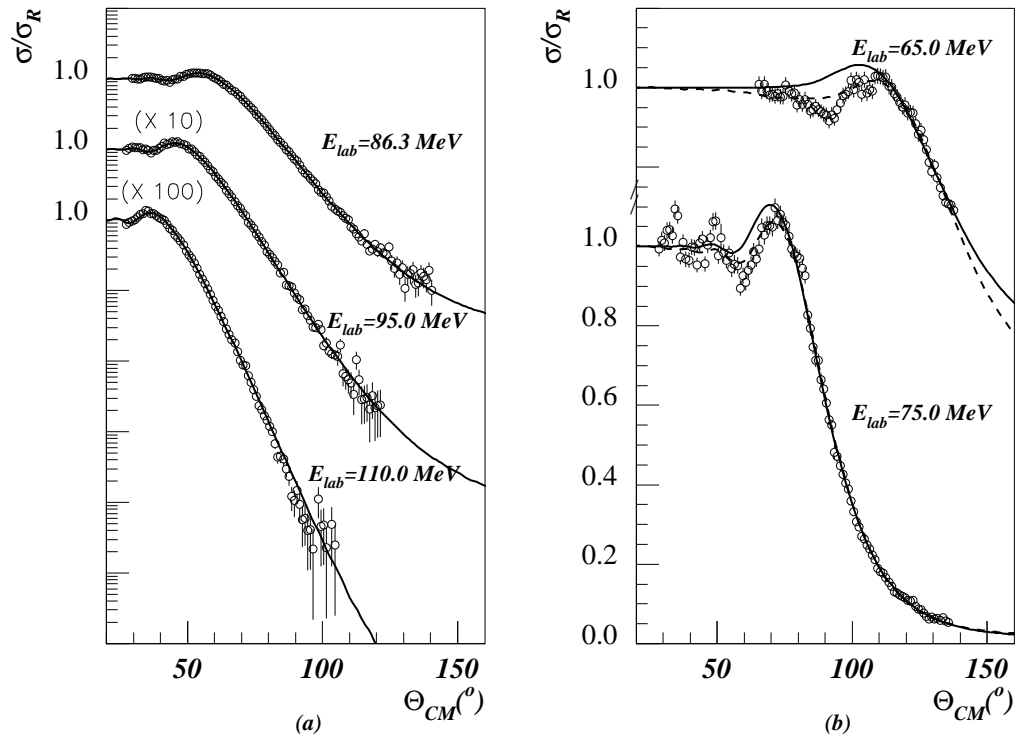


Figure 3.1: Ajustement des données expérimentales pour le système $^{32}\text{S} + ^{24}\text{Mg}$

La figure 3.1.a montre les excellents ajustements aux données expérimentales obtenus aux énergies les plus hautes, tandis que dans la figure 3.1.b sont indiqués les ajustements correspondants aux énergies les plus basses. A 75.0 MeV, nous avons suivi la même procédure, partant des paramètres optimum obtenus à 86.3 MeV, mais à 65.0 MeV la situation est un peu plus complexe. En effet, la hauteur de la barrière de Coulomb pour le système $^{32}\text{S} + ^{24}\text{Mg}$, dans le laboratoire, est approximativement de 64.9 MeV ; étant donné que l'état excité le plus accessible énergétiquement est le 2^+ du ^{24}Mg situé à 1.37 MeV, la hauteur de la barrière correspondant à cet état est supérieure à l'énergie de la collision, tout au moins dans un certain intervalle radial. Ceci justifie la faible sensibilité observée par rapport aux valeurs des paramètres du potentiel optique. Afin de résoudre le problème posé par ce manque de sensibilité, il est nécessaire de diminuer le nombre de paramètres à ajuster. Pour cela nous avons étudié l'évolution, avec l'énergie, du rayon du terme d'absorption obtenue lors de l'ajustement des données de diffusion élastique aux quatre énergies les plus hautes. Ces ajustements ont été obtenus utilisant différentes profondeurs du potentiel imaginaire dont les valeurs ($W_0=20, 30, 40, 50, 60$ y 100 MeV) étaient maintenues constantes dans chaque cas.

Dans la figure 3.2, nous montrons l'évolution avec l'énergie du rayon du potentiel

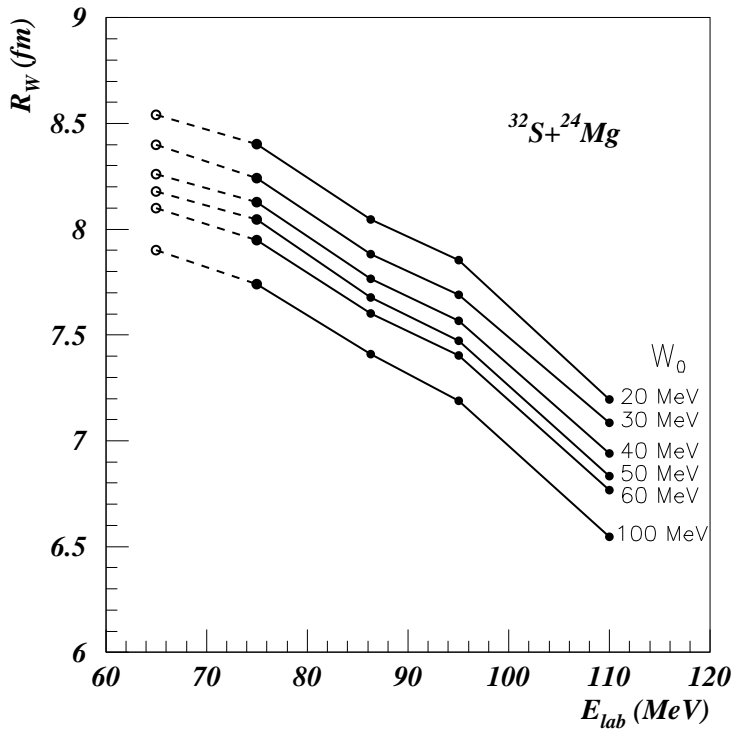


Figure 3.2: Évolution du rayon du pot. imaginaire avec l'énergie

imaginaire, R_W , correspondant aux meilleurs ajustements aux données. Suivant cette tendance, nous avons déterminé, à 65.0 MeV les valeurs de R_W qui correspondraient à chacune des profondeurs W_0 du potentiel imaginaire. Ces valeurs du rayon ont été maintenues fixes dans les différents calculs du modèle optique.

Il est bien connu que l'absorption due aux effets de polarisation coulombiens augmente avec l'énergie de la collision ; cependant, son importance par rapport à l'absorption due au potentiel nucléaire, diminue très rapidement lorsque l'énergie de l'interaction croît. Ceci implique que les effets de polarisation coulombienne doivent être pris en considération aux énergies proches et surtout inférieures à celle correspondant à la barrière de Coulomb ; c'est à dire : lorsque les collisions périphériques dominent. L'effet de la polarisation de Coulomb se manifeste par l'existence de plus d'absorption aux angles de diffusion petits qui correspondent à des collisions très périphériques au cours desquelles les noyaux se maintiennent à des distances assez importantes pour que les forces nucléaires, de courte portée, n'agissent pas.

Pour cette raison, dans la recherche des paramètres optiques que nous avons laissés libres à 65.0 MeV, $N(E)$ et a_W , nous n'ajustons que les données de diffusion élastique situées au delà de la région de l'arc-en-ciel ; c'est à dire celles correspondant à l'intervalle

angulaire $107.5^0 \leq \theta_{cm} \leq 137.5^0$, où l'absorption due à la polarisation se doit d'être minimum. Il n'y aurait aucun sens physique à ajuster la partie de la distribution angulaire de la diffusion élastique qui correspond aux collisions périphériques avec un potentiel nucléaire de courte portée, étant donné que cette région est dominée par les effets de polarisation coulombienne. Dans la figure 3.1.b, nous représentons en trait continu, le résultat des calculs de diffusion élastique obtenus avec les paramètres optiques qui ajustent au mieux les données dans l'intervalle angulaire précédemment mentionné. Les valeurs des paramètres et de la section efficace de réaction se trouvent dans le tableau 3.4.

Dans le but de reproduire de manière adéquate la région angulaire de la distribution élastique dominée par les effets de polarisation coulombienne, nous avons effectué un calcul simple de canaux couplés dans lequel nous n'avons pris en considération que le couplage du premier état excité du $^{24}Mg(2^+; 1.37 \text{ MeV})$ avec le canal élastique et en ne prenant comme potentiel de couplage que le potentiel de polarisation de Coulomb.

Pour ces ajustements, nous avons recherché la nouvelle valeur du facteur de renormalisation du potentiel réel car le fait d'inclure explicitement une voie a pour effet d'atténuer le potentiel central et, ainsi, le facteur de renormalisation doit diminuer. De même, nous avons ajusté la diffusivité du terme d'absorption qui, comme prévu, diminue. En effet, la majeure partie de l'absorption due à la polarisation de Coulomb se produit dans l'intervalle angulaire de la diffusion élastique qui correspond aux collisions périphériques. Cependant, nous ne pouvons exclure le fait que son effet, bien que plus faible, se répercute dans la région angulaire que nous avons ajustée pour déterminer les paramètres du potentiel optique. Ainsi, en incluant explicitement dans les calculs en canaux couplés le potentiel de polarisation de Coulomb, de portée supérieure à celle du potentiel nucléaire, nous évitons de forcer ce dernier à reproduire ce qui n'est pas d'origine nucléaire.

Dans la figure 3.1.b nous représentons par une ligne pointillée le résultat des ajustements obtenus dans les calculs en canaux couplés à 65.0 et à 75.0 MeV. Dans le tableau 3.4 nous donnons les valeurs des paramètres ajustés et des sections efficaces obtenues dans les calculs en canaux couplés. Nous pouvons facilement vérifier que bien qu'à 75.0 MeV la section efficace de réaction correspondant à l'état excité du $^{24}Mg(2^+; 1.37 \text{ MeV})$ couplé à la voie élastique est, en valeur absolue, supérieure à celle obtenue dans le calcul effectué à 65.0 MeV, son importance relative par rapport à la section efficace totale diminue. En effet, à 75.0 MeV elle représente 30% de la section efficace totale de réaction, tandis qu'à 65.0 MeV elle représente 80%. Une procédure équivalente a été utilisée pour l'ajustement des données de diffusion élastique correspondant aux systèmes $^{32}S + ^{32}S$ et $^{16}O + ^{208}Pb$

pour lesquels nous disposons de données à des énergies inférieures à la hauteur de la barrière de Coulomb. Les paramètres optiques obtenus en ajustant les distributions angulaires expérimentales et les valeurs calculées de la section efficace totale de réaction sont indiqués dans les tableaux 3.5 et 3.6. Dans les figures 3.3.a-b et 3.4.a-b, nous présentons les ajustements des données pour les deux systèmes.

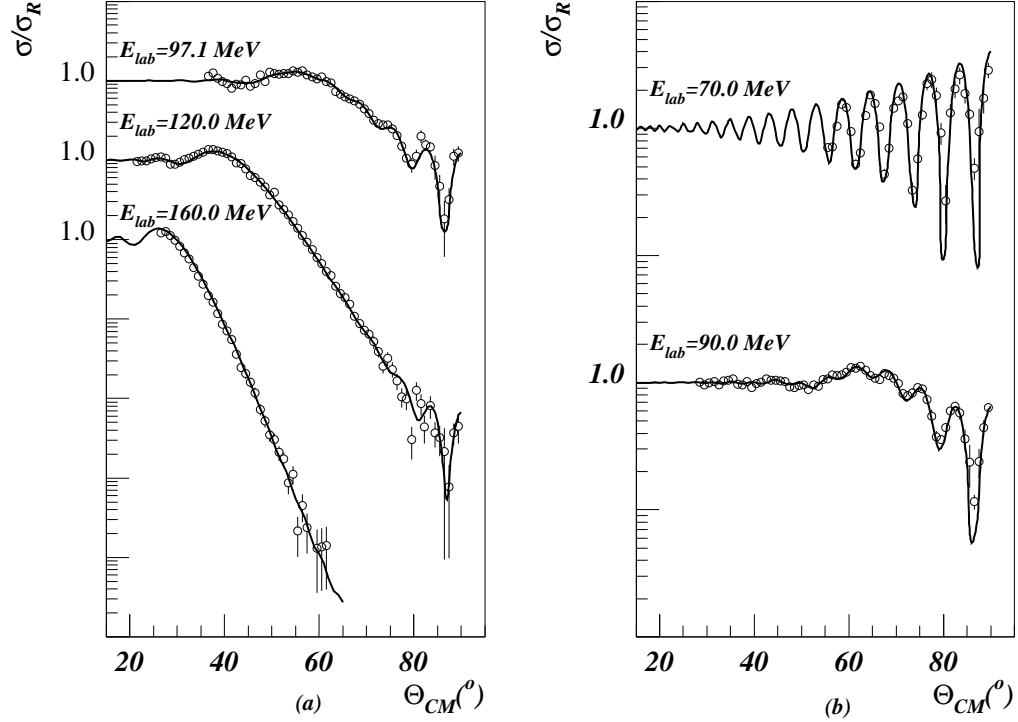


Figure 3.3: Ajustement des données expérimentales pour le système $^{32}\text{S} + ^{32}\text{S}$

E_{lab} (MeV)	N_R	W_0 (MeV)	R_W (fm)	a_W (fm)	$\langle l \rangle$	$\langle l^2 \rangle$	χ^2/n	σ_R (mb)
160.0	1.160	60	7.48	0.486	37.1	1562.2	2.50	1596.0
120.0	1.453	60	7.89	0.430	27.8	882.8	1.56	1240.0
97.09	1.621	60	8.31	0.310	20.3	473.1	1.54	800.0
90.0	1.672	60	8.42	0.305	17.4	349.3	2.90	631.0
70.0	1.780	60	8.80	0.210	7.0	64.2	4.30	24.0

Tableau 3.5 : Meilleurs paramètres du modèle optique pour $^{32}\text{S} + ^{32}\text{S}$.

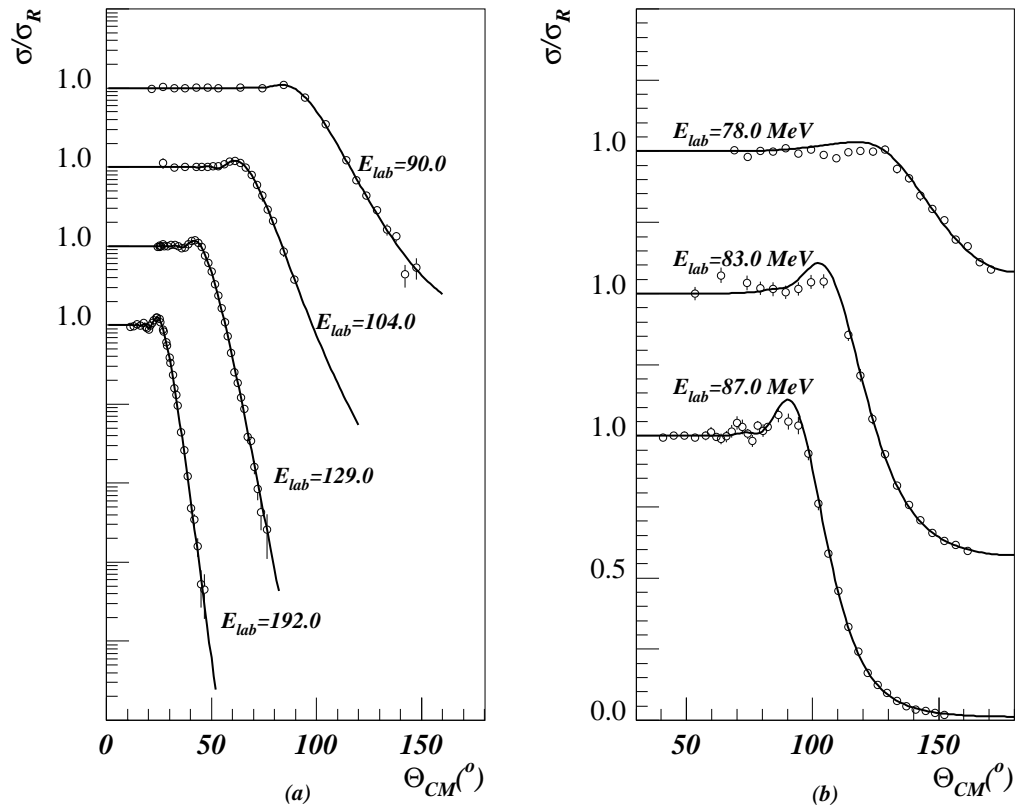


Figure 3.4: Ajustement des données expérimentales pour le système $^{16}\text{O} + ^{208}\text{Pb}$

E_{lab} (MeV)	N_R	W_0 (MeV)	R_W (fm)	a_W (fm)	$\langle l \rangle$	$\langle l^2 \rangle$	χ^2/n	σ_R (mb)
192.0	0.988	60	10.07	0.607	72.4	5945	1.07	2905.2
129.5	1.150	60	10.19	0.618	50.9	2957.5	0.49	2095.2
104.0	1.062	60	10.40	0.530	35.4	1442.0	4.00	1267.0
90.0	1.272	60	10.67	0.439	23.8	663.7	0.66	637.2
87.0	1.607	60	11.10	0.324	20.2	475.0	1.08	474.3
83.0	1.801	60	11.30	0.250	15.2	176.0	0.39	240.3
78.0	1.901	60	11.50	0.176	9.9	125.0	0.56	38.53

Tableau 3.6 : Meilleurs paramètres du modèle optique pour $^{16}\text{O} + ^{208}\text{Pb}$.

Les tableaux 3.7, 3.8 et 3.9 et les figures 3.5.a-b, 3.6.a-b et 3.7.a-b représentent, respectivement, les résultats obtenus pour les systèmes $^{32}\text{S} + ^{40}\text{Ca}$, $^{35}\text{Cl} + ^{24}\text{Mg}$ et $^{37}\text{Cl} + ^{24}\text{Mg}$.

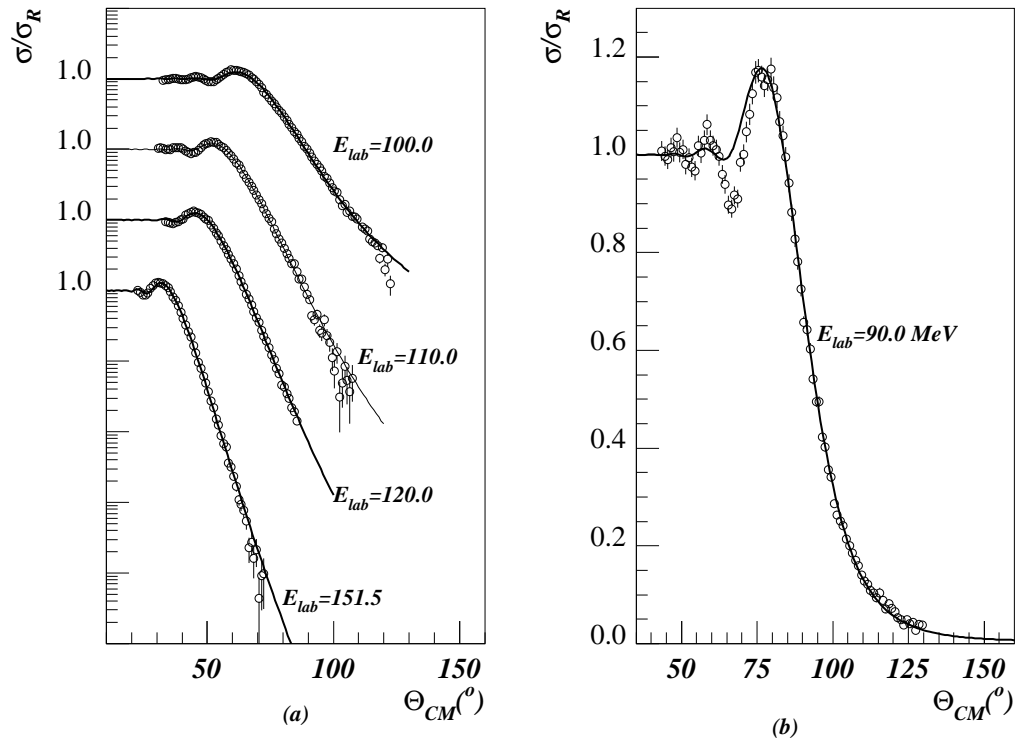


Figure 3.5: Ajustement des données expérimentales pour le système $^{32}\text{S} + ^{40}\text{Ca}$

E_{lab} (MeV)	N_R	W_0 (MeV)	R_W (fm)	a_W (fm)	$\langle l \rangle$	$\langle l^2 \rangle$	χ^2/n	σ_R (mb)
151.5	0.979	60	7.98	0.498	39.8	1806.6	3.7	1567.5
120.0	1.074	60	8.05	0.479	30.3	1052.3	3.02	1153.1
110.0	1.195	60	8.24	0.455	26.9	829.0	3.09	994.7
100.0	1.435	60	8.61	0.361	21.8	548.4	3.59	745.7
90.0	1.419	60	8.54	0.378	16.3	314.3	3.59	473.0

Tableau 3.7 : Meilleurs paramètres du modèle optique pour $^{32}\text{S} + ^{40}\text{Ca}$.

Pour ces systèmes nous disposons de distributions angulaires mesurées à différentes énergies, toujours supérieures à la barrière. Pour les analyser, nous avons adopté la même systématique que pour les diffusions élastiques antérieures correspondant aux énergies les plus hautes. Pour chaque système nous avons calculé les valeurs de $\langle l \rangle$, $\langle l^2 \rangle$ et σ_R qui nous serviront de comparaison avec les valeurs obtenues dans des calculs similaires utilisant des potentiels de Feshbach.

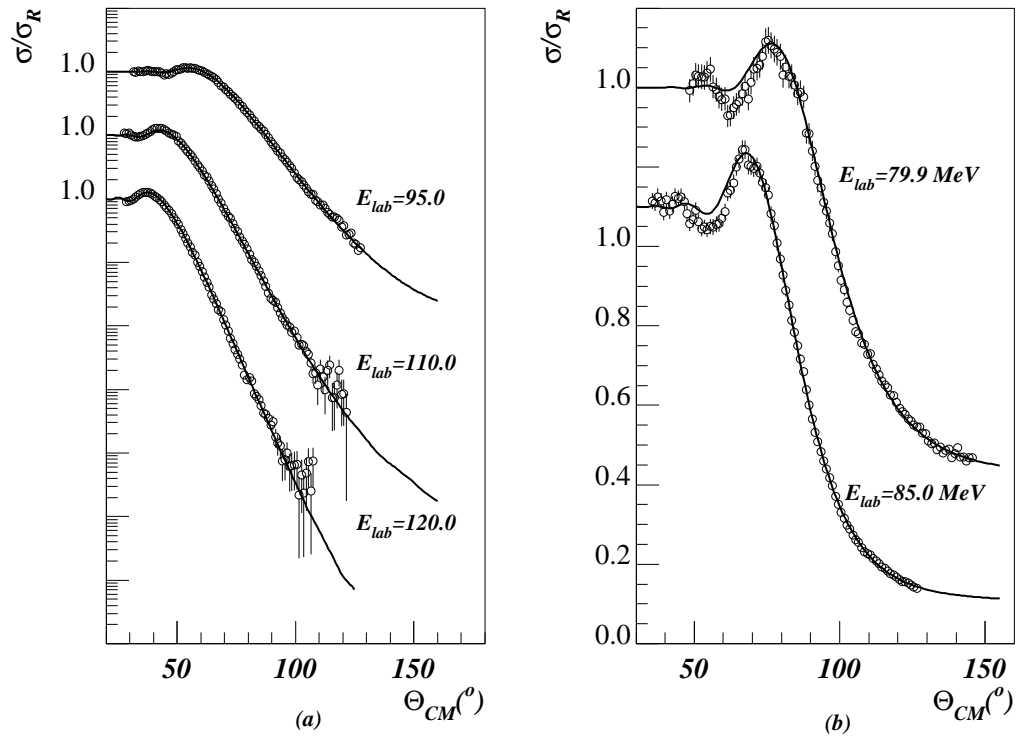


Figure 3.6: Ajustement des données expérimentales pour le système $^{35}\text{Cl} + ^{24}\text{Mg}$

E_{lab} (MeV)	N_R	W_0 (MeV)	R_W (fm)	a_W (fm)	$\langle l \rangle$	$\langle l^2 \rangle$	χ^2/n	σ_R (mb)
120.0	0.985	60	6.88	0.574	23.5	634.4	1.26	1171.1
110.0	1.014	60	7.14	0.552	21.2	533.2	2.02	1065.0
95.0	1.032	60	7.32	0.523	17.2	346.4	1.59	778.7
85.0	1.252	60	7.90	0.386	13.1	202.3	1.60	489.0
79.9	1.451	60	8.10	0.365	11.4	150.7	2.53	361.9

Tableau 3.8 : Meilleurs paramètres du modèle optique pour $^{35}\text{Cl} + ^{24}\text{Mg}$.

Pour les systèmes $^{31}\text{P} + ^{27}\text{Al}$, $^{32}\text{S} + ^{28}\text{Si}$ et $^{32}\text{S} + ^{36}\text{S}$ nous ne disposons de distributions angulaires de diffusion élastique qu'à une seule énergie pour chaque système. Les données ont été ajustées en partant des valeurs des paramètres optiques obtenues dans l'analyse de systèmes de masses voisines et à l'énergie la plus proche possible. Les paramètres optiques qui ajustent au mieux les données sont inclus dans le tableau 3.10, tandis que dans la figure 3.8, nous présentons les ajustements respectifs.

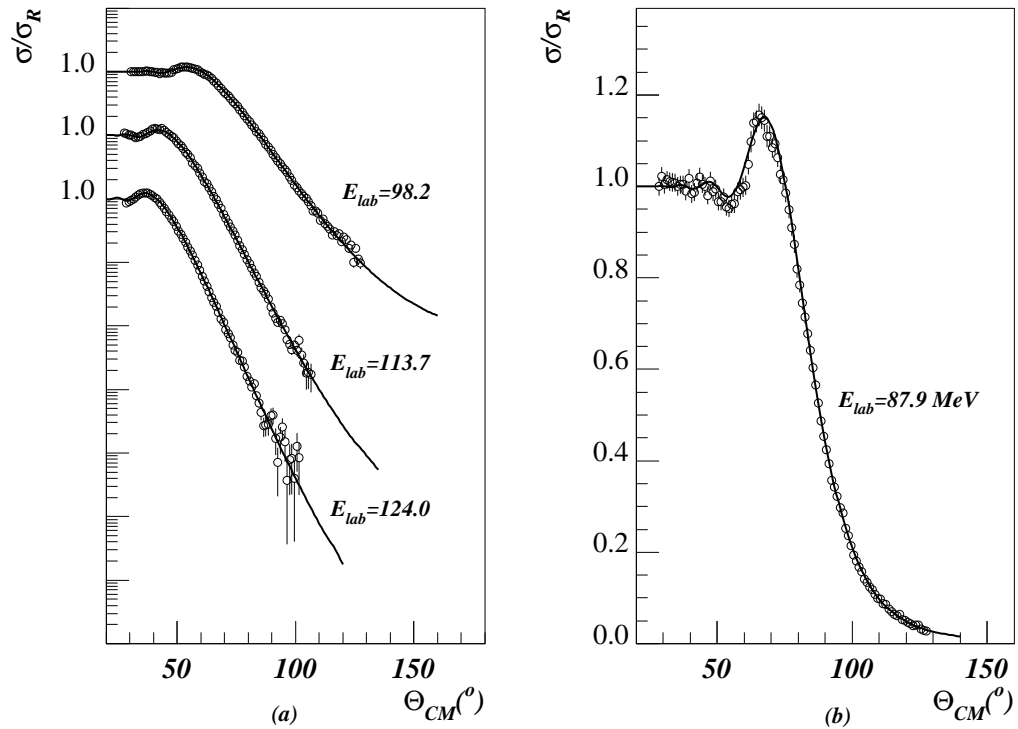


Figure 3.7: Ajustement des données expérimentales pour le système $^{37}\text{Cl} + ^{24}\text{Mg}$

E_{lab} (MeV)	N_R	W_0 (MeV)	R_W (fm)	a_W (fm)	$\langle l \rangle$	$\langle l^2 \rangle$	χ^2/n	σ_R (mb)
124.0	1.150	60	7.14	0.567	24.6	694.7	1.46	1256.1
113.7	1.192	60	7.25	0.548	22.2	565.5	1.47	1110.5
98.2	1.293	60	7.51	0.491	17.6	360.6	0.95	808.3
87.9	1.366	60	7.93	0.382	13.4	211.4	0.90	508.0

Tableau 3.9 : Meilleurs paramètres du modèle optique pour $^{37}\text{Cl} + ^{24}\text{Mg}$.

Système	E_{lab} (MeV)	N_R	W_0 (MeV)	R_W (fm)	a_W (fm)	$\langle l \rangle$	$\langle l^2 \rangle$	χ^2/n	σ_R (mb)
$^{31}\text{P} + ^{27}\text{Al}$	79.5	1.217	60	7.38	0.471	16.6	318.1	1.80	737.0
$^{32}\text{S} + ^{28}\text{Si}$	90.0	1.410	60	7.85	0.406	17.3	345.1	1.15	749.0
$^{32}\text{S} + ^{36}\text{S}$	90.0	1.710	60	7.97	0.501	22.8	597.0	1.75	943.0

Tableau 3.10 : Meilleurs paramètres du modèle optique.

3.2.2 Distributions radiales de l'absorption

L'analyse précédente a l'avantage de bien reproduire les données expérimentales. Cependant il est difficile d'en tirer des conclusions générales sur le comportement de l'absorption. Nous introduisons ci-après une représentation beaucoup mieux adaptée à

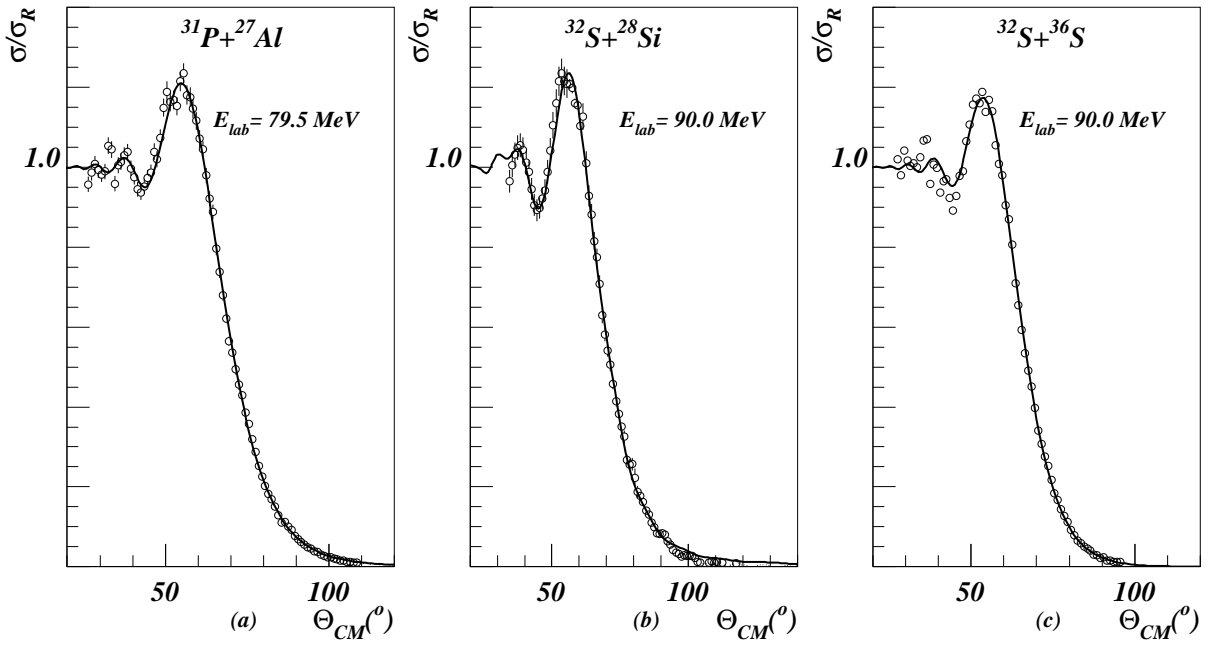


Figure 3.8: Ajustement des données expérimentales

cette étude. La section efficace totale de réaction, σ_R , s'écrit (**SA83**) :

$$\sigma_R = -\frac{1}{(2I_P + 1)(2I_T + 1)} \frac{2}{\hbar v_0} \langle \chi_0^+ | \mathcal{I}m \Delta V_L | \chi_0^+ \rangle \quad (3.6)$$

où I_P et I_T sont les spins intrinsèques du projectile et de la cible dans leurs états fondamentaux, v_0 et χ_0^+ sont la vitesse relative et la fonction d'onde du mouvement relatif dans le canal élastique à une énergie E_{cm} du centre de masse, telle que :

$$(E_{cm} - T - V_C - V_L) \chi_0^+ = 0 \quad (3.7)$$

où T est l'énergie cinétique et $V_L = U_0 + \mathcal{R}e \Delta V_L + i \mathcal{I}m \Delta V_L$.

Introduisant le développement en onde partielle de χ_0^+ :

$$\chi_0^+ = \frac{1}{kr} \sum_l i^l (2l + 1) \chi_l(r) P_l(\cos\theta) \quad (3.8)$$

nous pouvons réécrire la section efficace totale sous la forme suivante :

$$\sigma_R = \int_0^\infty \sigma(r) dr \quad (3.9)$$

où $\sigma(r)$ vaut :

$$\sigma(r) = -\frac{1}{(2I_P + 1)(2I_T + 1)} \frac{8\pi}{k^2 \hbar v_0} \sum_l (2l + 1) |\chi_l(r)|^2 \mathcal{I}m \Delta V_L(r) \quad (3.10)$$

k étant le nombre d'onde, $\chi_l(r)$ la partie radiale de la fonction d'onde partielle du mouvement relatif et $\mathcal{I}m \Delta V_L(r)$, le potentiel d'absorption phénoménologique ou celui calculé

dans le cadre du formalisme de Feshbach selon les modélisations décrites dans le chapitre précédent.

Nous avons utilisé le code ECIS (**RA94**) pour calculer les fonctions d'onde $\chi_l(r)$ pour les différents potentiels imaginaires décrits précédemment. Ceci nous a permis de tracer les graphes des fonctions $\sigma(r)$ en fonction de r , représentant la distribution radiale de l'absorption. Pour notre système de référence, $^{32}S + ^{24}Mg$, la figure 3.9 représente les distributions radiales d'absorption correspondantes obtenues avec les paramètres optiques inclus dans le tableau 3.4.

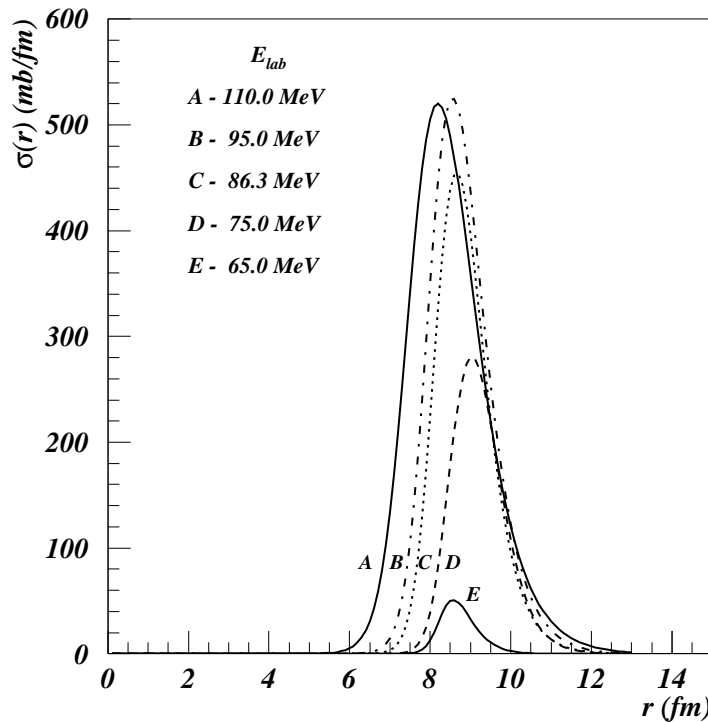


Figure 3.9: Distribution radiale de l'absorption pour $^{32}S + ^{24}Mg$

L'étude de cette distribution radiale de l'absorption nous permet de tirer les conclusions générales suivantes :

- L'absorption se trouve localisée dans un étroit domaine de la surface du potentiel nucléaire. L'origine de ce confinement peut facilement se comprendre à partir de l'équation 3.10 en tenant compte du fait qu'aux grandes valeurs du rayon, le potentiel imaginaire de courte portée annihile la fonction d'onde tandis qu'aux faibles valeurs du rayon, la fonction d'onde, fortement absorbée à la surface nucléaire, à cause du phénomène de forte absorption qui domine les interactions entre noyaux lourds, annihile le potentiel imaginaire. Il en résulte que l'absorption est concentrée dans un domaine réduit de la

surface nucléaire.

- b) Lorsque l'énergie de la collision est élevée, le domaine où a lieu l'absorption est large. Mais lorsque l'énergie diminue, ce domaine devient de plus en plus étroit.
- c) Pour les énergies supérieures à la barrière de Coulomb, l'absorption périphérique commence approximativement à la même valeur du rayon, pour un système donné. Mais lorsque l'énergie diminue, l'absorption dans la région interne du noyau est fortement réduite.
- d) Pour une énergie en dessous de la barrière de Coulomb, l'absorption est concentrée dans un domaine très étroit de la surface nucléaire et nous observons un écart dans l'absorption radiale entre cette énergie et une autre située au-dessus de la barrière de Coulomb. Cet écart est lié à un changement brusque de la diffusivité du potentiel imaginaire lorsque l'énergie de la collision passe en dessous de la barrière. Le même comportement, quoique plus prononcé, est observé avec des potentiels microscopiques. Il est dû à l'absence d'absorption en dessous de la barrière de Coulomb.

Dans cette représentation, l'aire sous la courbe correspond à la section efficace totale de réaction que nous trouvons à l'avant dernière colonne du tableau 3.4

E_{lab} (MeV)	N_R	W_0^a (MeV)	R_W (fm)	a_W (fm)	χ^2/n	σ_R (mb)
95.0	1.61	100	7.19	0.454	2.3	941
	1.60	60	7.40	0.460	2.3	948
	1.57	30	7.69	0.466	2.3	949
65.0	1.88	100	7.90 ^a	0.240	5.5	55.5
	1.91	60	8.10 ^a	0.223	5.5	54.7
	1.99	30	8.40 ^a	0.185	5.5	54.0

a) W_0 et/ou R_W a été maintenu fixe.

Tableau 3.11 : Paramètres équivalents du modèle optique pour $^{32}S + ^{24}Mg$.

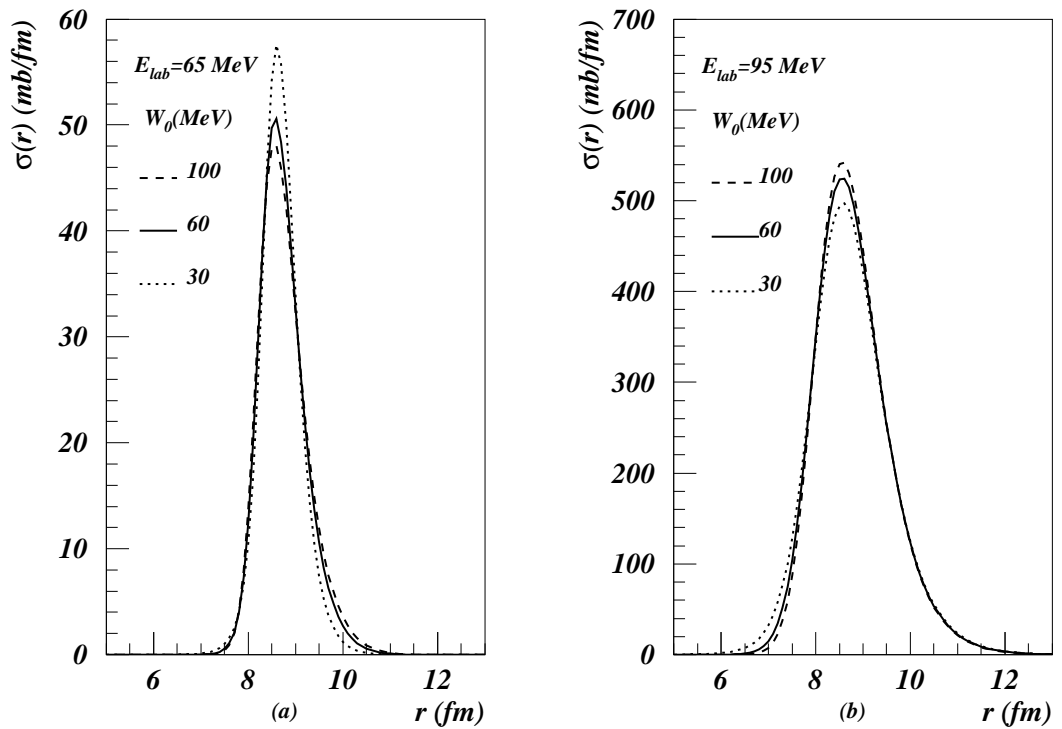


Figure 3.10: Absorption radiale à 65 et 75 MeV pour $^{32}\text{S} + ^{24}\text{Mg}$

La représentation de la distribution radiale de l'absorption permet de comprendre le manque de sensibilité aux valeurs des paramètres du potentiel optique observé aux énergies proches ou en dessous de la barrière de Coulomb. En effet, à ces énergies, le domaine radial où l'absorption a lieu est très étroit et des potentiels imaginaires avec des géométries différentes peuvent avoir les valeurs adéquates dans ce domaine et bien reproduire l'absorption totale expérimentale.

Nous pouvons également utiliser cette représentation pour montrer que la profondeur du potentiel imaginaire, W_0 , utilisée dans l'ajustement des données expérimentales n'est pas importante pour la localisation du domaine radial où l'absorption a lieu. Nous l'avons fait pour le système $^{32}\text{S} + ^{24}\text{Mg}$. La figure 3.10 représente les fonctions $\sigma(r)$ à deux énergies différentes et pour différentes valeurs du potentiel optique incluses dans le tableau 3.11. Nous constatons que l'absorption a lieu dans la même région de la surface nucléaire bien que la profondeur du potentiel imaginaire varie de 30 à 100 MeV.

Dans la figure 3.11 nous avons inclus les distributions radiales de l'absorption pour tous les systèmes étudiés. Les résultats obtenus, dans tous les cas confirment les conclusions auxquelles nous sommes arrivés pour le système $^{32}\text{S} + ^{24}\text{Mg}$.

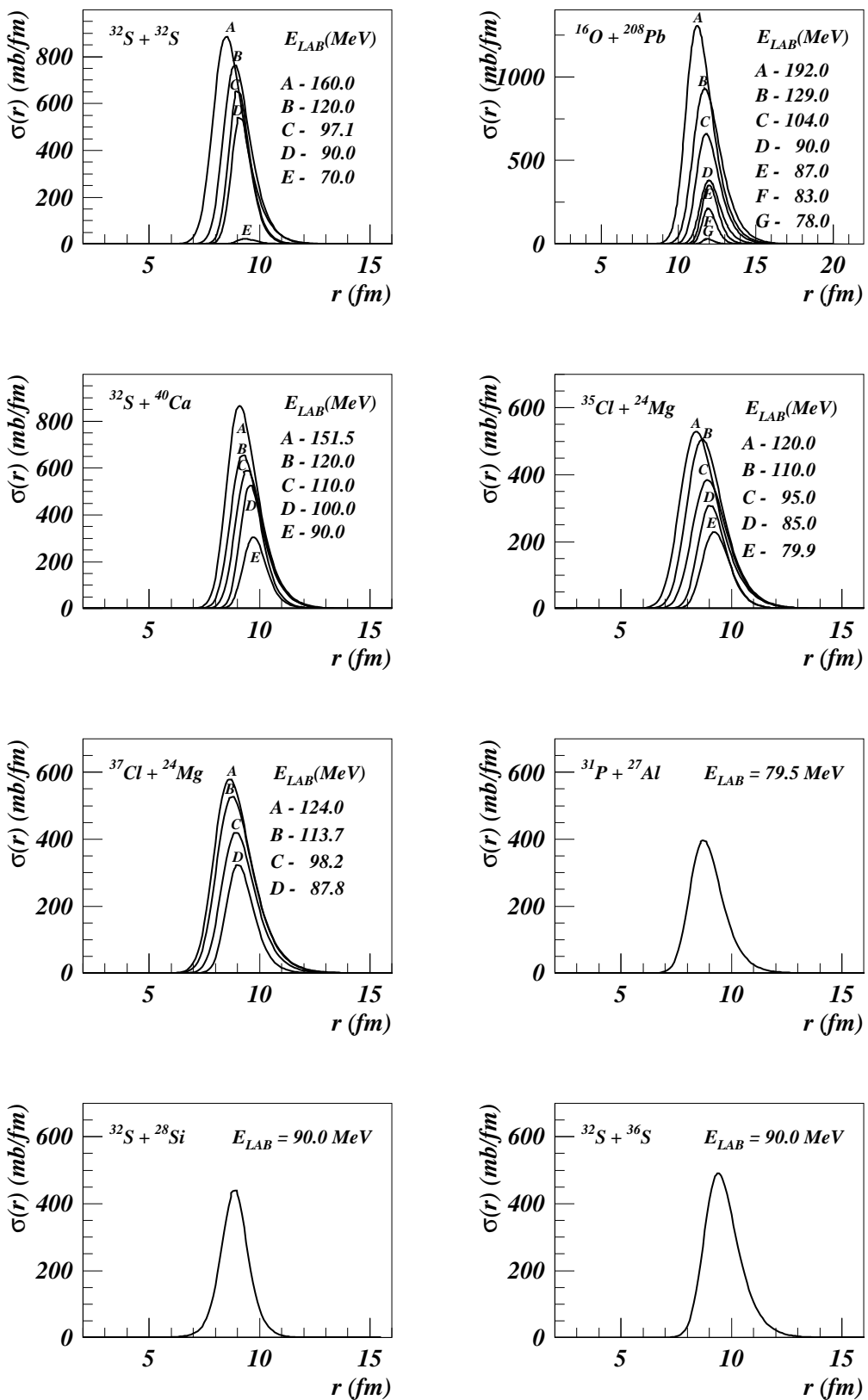


Figure 3.11: Distributions radiales de l'absorption

3.2.3 Distributions de spin de l'absorption

Outre la représentation de la distribution radiale de l'absorption, il est intéressant d'étudier la distribution de spin qui s'est avérée très sensible au modèle utilisé, en particulier dans l'étude de la fusion au voisinage de la barrière de Coulomb.

Nous pouvons réécrire la section efficace totale de réaction de la manière suivante :

$$\sigma_R = \sum_l \sigma_R(l) \quad (3.11)$$

avec

$$\sigma_R(l) = -\frac{1}{(2I_P + 1)(2I_T + 1)} \frac{8\pi}{k^2 \hbar v_0} (2l + 1) \int_0^\infty |\chi_l(r)|^2 \text{Im} \Delta V_L(r) dr \quad (3.12)$$

La fonction $\sigma_R(l)$ représente la contribution de chaque onde partielle à l'absorption totale. La figure 3.12, représente les distributions de spin calculées pour notre système de référence, $^{32}\text{S} + ^{24}\text{Mg}$, avec les potentiels semiphénoménologiques du tableau 3.4. La dépendance énergétique des valeurs moyennes de $\langle l \rangle$ et de $\langle l^2 \rangle$ est également indiquée.

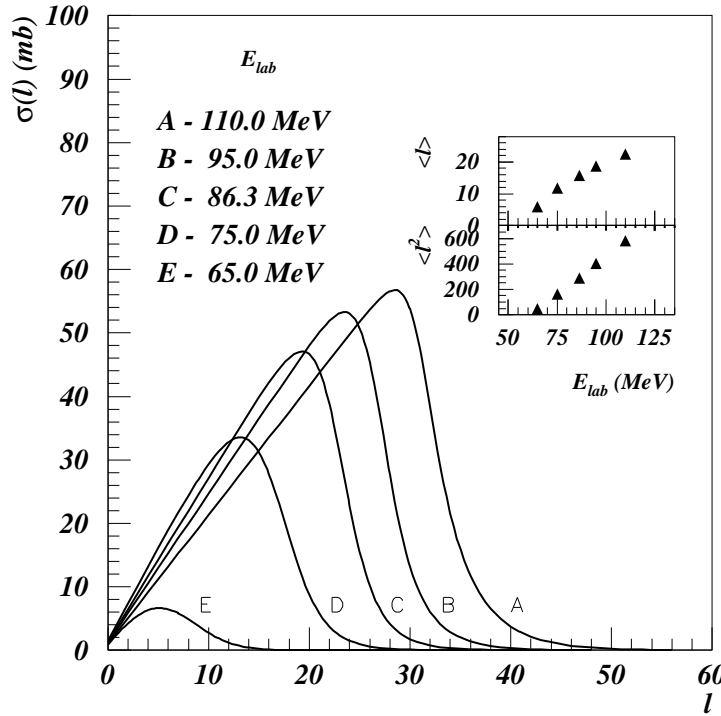


Figure 3.12: Distributions de spin pour le $^{32}\text{S} + ^{24}\text{Mg}$

Dans cette représentation, l'aire sous chaque courbe correspond aussi à la section efficace totale de réaction que nous trouvons à l'avant dernière colonne du tableau 3.4

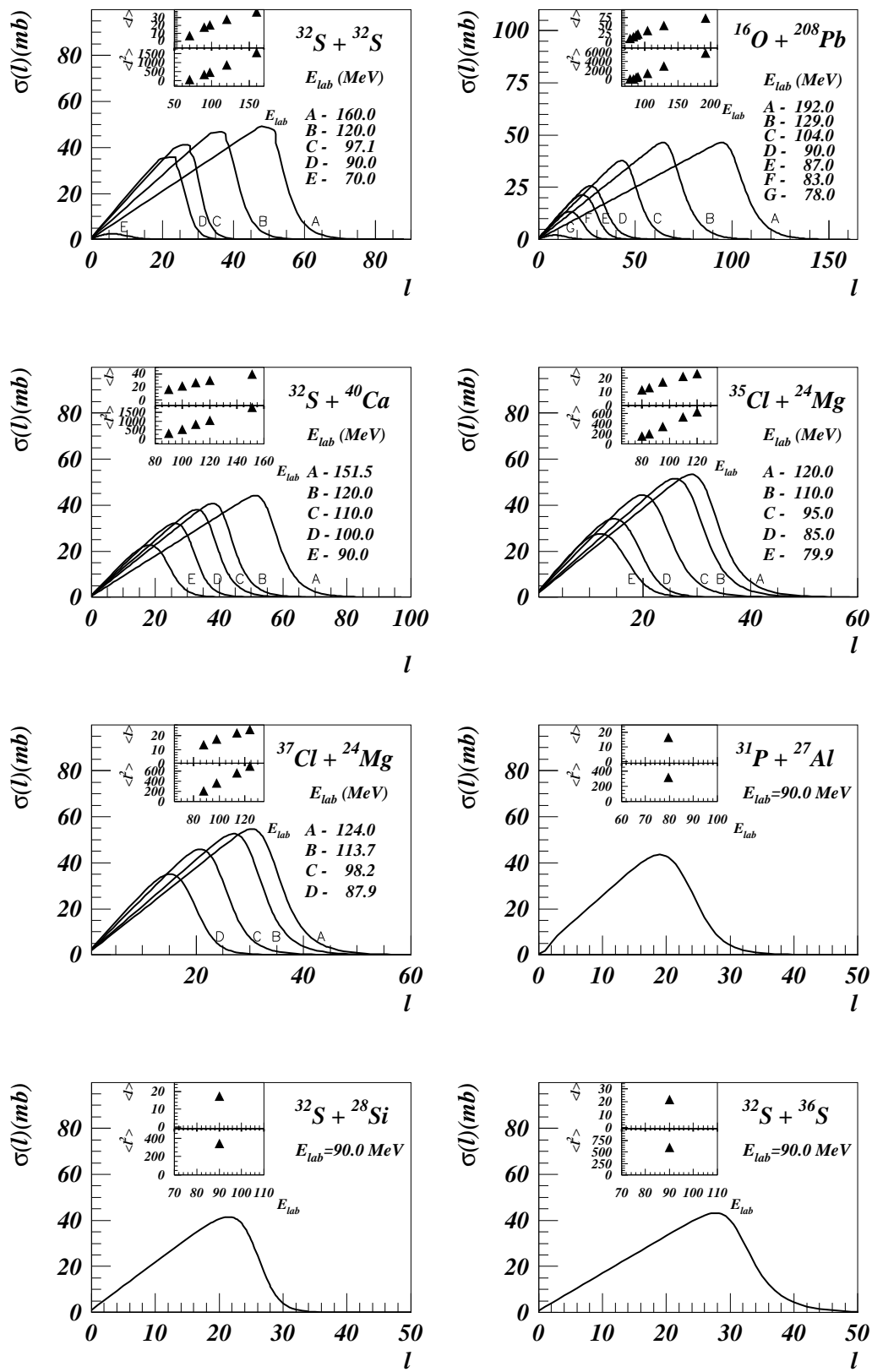


Figure 3.13: Distributions de spin

Dans la figure 3.13 nous montrons les distributions de spin et la variation avec l'énergie des valeurs moyennes $\langle l \rangle$ et $\langle l^2 \rangle$ pour les autres systèmes étudiés. Étant donné que les potentiels semiphénoménologiques ont été ajustés de manière à reproduire les données expérimentales, ils incluent tous les effets (dépendance de l'énergie, de la densité, interéchange de nucléons, etc.). Par conséquent les calculs réalisés avec ces potentiels nous serviront de référence pour tester la validité de l'étude microscopique que nous abordons à la section suivante.

3.3 ANALYSE AVEC LE POTENTIEL DE FESHBACH :

Nous avons jusqu'à présent effectué une étude du comportement de l'absorption pour différents systèmes de noyaux. Nous avons mis en évidence l'importance des processus périphériques, étant donné que l'absorption se produit dans une région étroite de la surface du potentiel nucléaire. Nous nous intéressons maintenant à déterminer quelles sont les voies de réaction prépondérantes et ceci en relation avec la structure des noyaux en présence. C'est dans ce but que nous utilisons les modèles microscopiques décrits dans le chapitre 2 de cette thèse.

Aux énergies voisines de la barrière de Coulomb il a été montré (**VIN93**) que le modèle de l'approximation de fermeture peut décrire de manière adéquate la diffusion élastique entre noyaux sphériques ou peu déformés. Par contre, le modèle ne décrit pas correctement les interactions entre noyaux très déformés lorsque l'absorption est contrôlée par un nombre réduit de canaux (**BA91**),(**BA92**), vu que son hypothèse fondamentale, qui remplace pour chaque noyau l'énergie d'excitation de tous les états par une valeur moyenne, surestime l'absorption. Pour ces systèmes très déformés, il s'avère plus adéquat d'évaluer la contribution d'un nombre réduit de canaux qui contrôlent l'absorption.

En ce sens, l'étude des systèmes constitués de noyaux en interaction qui possèdent des états de basse énergie d'excitation très déformés, est très attrayante. En ce sens, les systèmes $^{32}S + ^{24}Mg$ et $^{35,37}Cl + ^{24}Mg$ sont d'excellents candidats, mais tandis que pour le premier nous disposons de données expérimentales à des énergies supérieures et inférieures à la barrière de Coulomb, nous ne disposons, pour les seconds, que de diffusions élastiques mesurées à des énergies proches, bien que supérieures, à celle correspondant à la barrière. De plus, le système $^{32}S + ^{24}Mg$ présente des caractéristiques intéressantes vu que ses deux

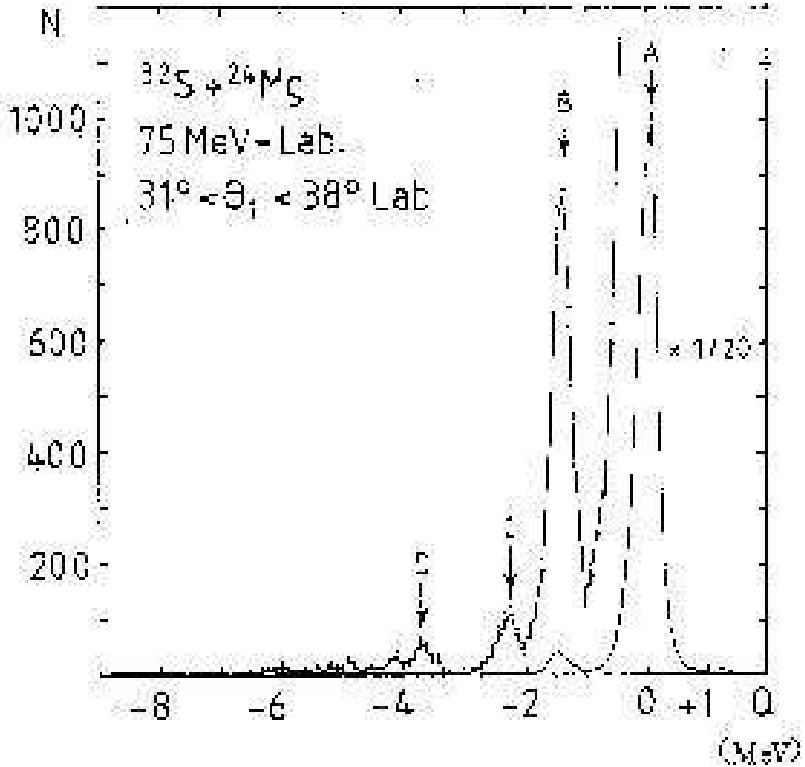


Figure 3.14 : Spectre expérimental de la diffusion de $^{32}S + ^{24}Mg$

premiers états excités 2_1^+ , c'est à dire les états ($1.37 \text{ MeV} - ^{24}Mg$) et ($2.23 \text{ MeV} - ^{32}S$) sont très déformés et fortement peuplés y compris à des énergies inférieures à la barrière, eu égard aux effets de polarisation coulombienne.

Les analyses phénoménologiques nous indiquent que même pour les systèmes sphériques, l'absorption observée aux énergies proches de la barrière est un processus fondamentalement superficiel et bien que le modèle de l'approximation de fermeture soit capable de reproduire de manière satisfaisante les données expérimentales mesurées pour ces systèmes, nous ne pouvons obtenir d'informations sur l'importance, pour l'absorption, de certaines voies déterminées car il évalue, en moyenne, la contribution de toutes les voies.

Dans cette optique, nous avons inclus l'étude de systèmes de caractéristiques très différentes qui vont de ceux formés par des noyaux sphériques à couches fermées à ceux constitués de noyaux déformés à couches ouvertes.

De ces considérations, on peut s'attendre à ce qu'un calcul dans le modèle de Feshbach, qui prenne en compte explicitement les niveaux les plus bas des noyaux en interaction, permette de reproduire de façon satisfaisante les données expérimentales. C'est l'objet de la présente partie de notre travail.

Dans la figure 3.14, nous présentons un spectre expérimental caractéristique de la dif-

fusion $^{32}S + ^{24}Mg$ à 75.0 MeV. Sur ce spectre, nous pouvons aisément identifier la diffusion élastique (A) ; la diffusion inélastique (B) dans laquelle le ^{24}Mg reste dans son premier état excité ($2^+, 1.37\text{MeV}$) ; la diffusion inélastique (C) dans laquelle le ^{32}S est observé dans son premier état d'excitation ($2^+, 2.23\text{MeV}$) et l'excitation mutuelle des deux états (D). Le reste du spectre inclut d'autres processus qui contribuent très faiblement à l'absorption. Pour le système $^{32}S + ^{24}Mg$ nous avons étudié les diffusions élastiques à 65.0 et à 75.0 MeV qui correspondent, respectivement, à des énergies inférieure et supérieure à la barrière de Coulomb. Pour les autres systèmes nous avons analysé les diffusions élastiques à une seule énergie. Cette énergie a été choisie de façon à être la plus proche possible de la barrière et à ce que les données de diffusion élastique correspondantes aient la meilleure qualité possible. Comme cela a été indiqué antérieurement (section 2.2.3), nous avons utilisé les parties réelles des potentiels semiphénoménologiques obtenus dans la section précédente pour effectuer les calculs microscopiques des potentiels imaginaires de chaque système. Ces potentiels imaginaires seront comparés aux potentiels phénoménologiques qui nous servent de références.

Système	E_{lab} (MeV)	N_R	W_0 (MeV)	R_W (fm)	a_W (fm)	χ^2/n	σ_R (mb)
$^{16}O + ^{208}Pb$	87.0	1.607	60	11.10	0.324	1.08	474
$^{31}P + ^{27}Al$	79.5	1.217	60	7.378	0.471	1.80	737
$^{32}S + ^{28}Si$	90.0	1.410	60	7.853	0.406	1.15	749
$^{32}S + ^{32}S$	90.0	1.672	60	8.416	0.305	2.90	631
$^{32}S + ^{36}S$	90.0	1.710	60	7.967	0.501	1.75	943
$^{32}S + ^{40}Ca$	90.0	1.419	60	8.539	0.378	3.59	473
$^{35}Cl + ^{24}Mg$	85.0	1.252	60	7.897	0.386	1.60	489
$^{37}Cl + ^{24}Mg$	87.9	1.366	60	7.929	0.382	0.90	508

Tableau 3.12 : Meilleurs paramètres du modèle optique.

Le tableau 3.12 indique, pour chaque système, l'énergie incidente considérée et rappelle les paramètres d'ajustement du modèle optique obtenus dans l'étude semiphénoménologique.

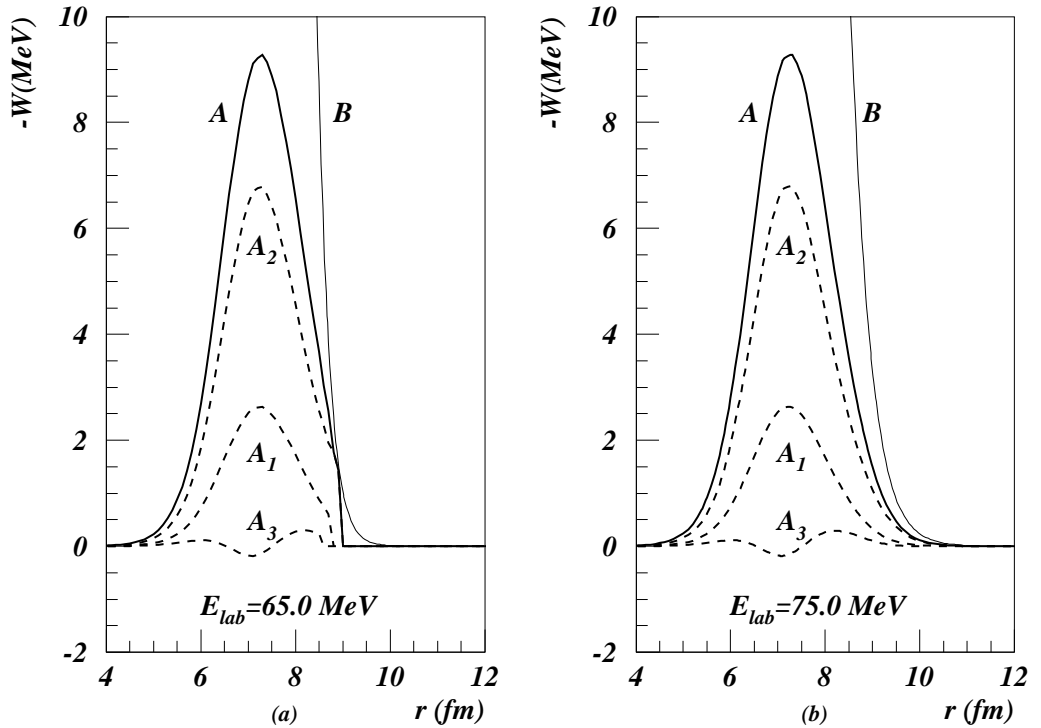


Figure 3.15: Potentiels imaginaires à 65 et à 75 MeV pour $^{32}\text{S} + ^{24}\text{Mg}$

3.3.1 Distributions angulaires et potentiels :

Sur la base du formalisme présenté à la Section 2.2.3 du précédent chapitre, nous avons utilisé le code FESHIOP (**PAC95**) pour évaluer le potentiel imaginaire dû à la contribution des états excités listés, pour chaque système, dans le tableau 3.13 et pour lesquels les énergies ainsi que les informations spectroscopiques sont indiquées. Les paramètres de déformation utilisés dans le calcul des facteurs de forme radiaux, ont été déduits de données expérimentales sur les temps de vie des états excités (**EN78**). Pour les noyaux rotationnels avec moment quadripolaire intrinsèque, les valeurs du paramètre de déformation ont été corrigés de façon adéquate (**SA89**). Les états inélastiques inclus dans les calculs ont été choisis de manière à ce qu'ils donnent une contribution d'au moins 1% à la section efficace de réaction. Dans la figure 3.15.a-b nous comparons les potentiels imaginaires phénoménologiques (ligne continue B) obtenus par ajustement des données de diffusion élastique $^{32}\text{S} + ^{24}\text{Mg}$ à 65.0 et à 75.0 MeV aux calculs effectués dans le cadre du formalisme de Feshbach (ligne continue A). Les différentes composantes du potentiel imaginaire sont représentées par des lignes discontinues ; A_1 , A_2 et A_3 représentent, respectivement, les contributions à l'absorption dues à l'excitation des états 2_1^+ , 2.23MeV du ^{32}S , 2_1^+ , 1.37MeV du ^{24}Mg et l'excitation mutuelle de ces deux états.

<i>Noyau_{g.s.}</i>	<i>J^π</i>	<i>E_J^π(MeV)</i>	<i>E_λ</i>	<i>β_N</i>	Branching Ratio	Mixing Ratio
$^{16}O_{0+}$	3^-	6.130	E3	0.71	100.0	
	2^+	6.920	E2	0.38	100.0	
$^{24}Mg_{0+}$	2^+	1.370	E2	0.6	100.0	
	2^+	4.250	E2	0.14	78.9	
$^{27}Al_{\frac{5}{2}^+}$	$\frac{3}{2}^+$	1.014	E2+M1	0.12	97.0	+0.351
	$\frac{7}{2}^+$	2.211	E2+M1	0.24	100.0	-0.468
	$\frac{9}{2}^+$	3.004	E2	0.19	88.6	
$^{28}Si_{0+}$	2^+	1.780	E2	0.41	100.0	
	3^-	6.880	E3	0.40	100.0	
$^{31}P_{\frac{1}{2}^+}$	$\frac{3}{2}^+$	1.266	E2+M1	0.15	100.0	+0.300
	$\frac{5}{2}^+$	2.234	E2	0.22	100.0	
	$\frac{7}{2}^-$	4.431	E3	0.31	10.0	
$^{32}S_{0+}$	2^+	2.230	E2	0.31	100.0	
	2^+	4.280	E2	0.12	86.0	
	3^-	5.010	E3	0.44	3.1	
$^{35}Cl_{\frac{3}{2}^+}$	$\frac{5}{2}^+$	1.760	E2+M1	0.17	100.0	+2.850
	$\frac{7}{2}^+$	2.650	E2	0.10	90.6	
	$\frac{7}{2}^-$	3.160	E3	0.10	90.0	
$^{36}S_{0+}$	2^+	3.290	E2	0.16	100.0	
$^{37}Cl_{\frac{3}{2}^+}$	$\frac{5}{2}^+$	3.090	E2+M1	0.13	100.0	+1.500
	$\frac{7}{2}^-$	3.100	E3+M2	0.16	100.0	+0.180
	$\frac{9}{2}^-$	4.010	E3	0.17	31.0	
$^{40}Ca_{0+}$	3^-	3.740	E3	0.40	100.0	
	2^+	3.900	E2	0.12	100.0	
$^{208}Pb_{0+}$	3^-	2.600	E3	0.11	100.0	

Tableau 3.13 : États collectifs inclus dans les calculs de Feshbach.

Dans la figure 3.16 nous comparons les ajustements phénoménologiques pour le système $^{32}S + ^{24}Mg$ à 65.0 et à 75.0 MeV (ligne continue) aux résultats des calculs de diffusion élastique obtenus avec les potentiels de Feshbach (ligne pointillée) inclus dans la figure 3.15.a-b. Étant donné que nous avons utilisé le même potentiel réel que pour les analyses semiphénoménologiques, nos calculs représentent, en fait, une comparaison entre les termes d'absorption du potentiel. Le bon accord existant à 65.0 MeV indique l'équivalence entre les deux termes d'absorption. Par contre, à 75.0 MeV nous observons que la diffusion élastique calculée avec les potentiels de Feshbach ne reproduit pas correctement les données expérimentales. La section efficace de reaction (σ_R^{in*} du tableau 3.15) s'avère être inférieure à celle obtenue par ajustement des données (σ_R du tableau 3.4). Ce déficit en absorption indique que dans les calculs du potentiel nous n'avons pas pris en

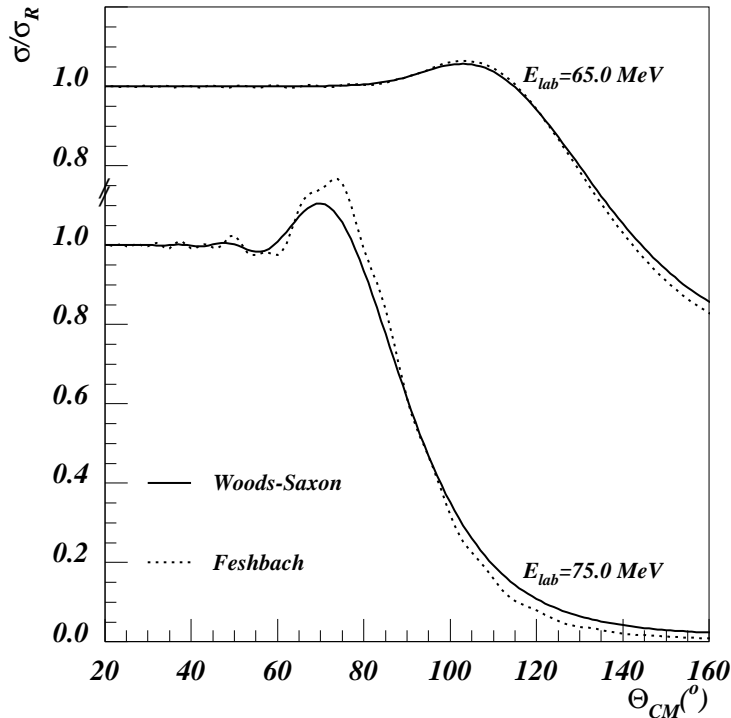


Figure 3.16: Calculs de diffusion élastique pour $^{32}\text{S} + ^{24}\text{Mg}$

considération tous les canaux qui participent à l'absorption. En effet, dans la figure 3.15.b nous observons qu'à 75.0 MeV il existe un écart entre le potentiel phénoménologique et celui de Feshbach, ce qui suggère la nécessité d'inclure la contribution à l'absorption totale de processus plus périphériques tels que les transferts d'un ou de plusieurs nucléons.

Dans les figures 3.17.a à 3.20.a nous comparons, pour tous les autres systèmes étudiés, les ajustements de la diffusion élastique obtenus avec les potentiels semiphénoménologiques (ligne continue) aux calculs microscopiques (ligne pointillée).

Les figures 3.17.b à 3.20.b permettent de comparer les potentiels imaginaires phénoménologiques correspondants (ligne continue) à ceux de Feshbach (ligne pointillée).

Une étude de ces figures montre que seules les données de la diffusion élastique de $^{35,37}\text{Cl} + ^{24}\text{Mg}$ peuvent être raisonnablement reproduites en utilisant les potentiels microscopiques qui n'incluent que la contribution à l'absorption due aux états inélastiques les plus bas. La caractéristique commune de ces systèmes est la présence du ^{24}Mg qui est un noyau fortement déformé, responsable d'une grande absorption comme nous avons pu le constater dans l'étude du système $^{32}\text{S} + ^{24}\text{Mg}$. Ceci implique une prédominance de la contribution de canaux inélastiques dans l'absorption aux énergies proches de la barrière de Coulomb. De plus les sections efficaces des réactions de transfert sont faibles pour ces systèmes (**BA91**) et (**BA92**).

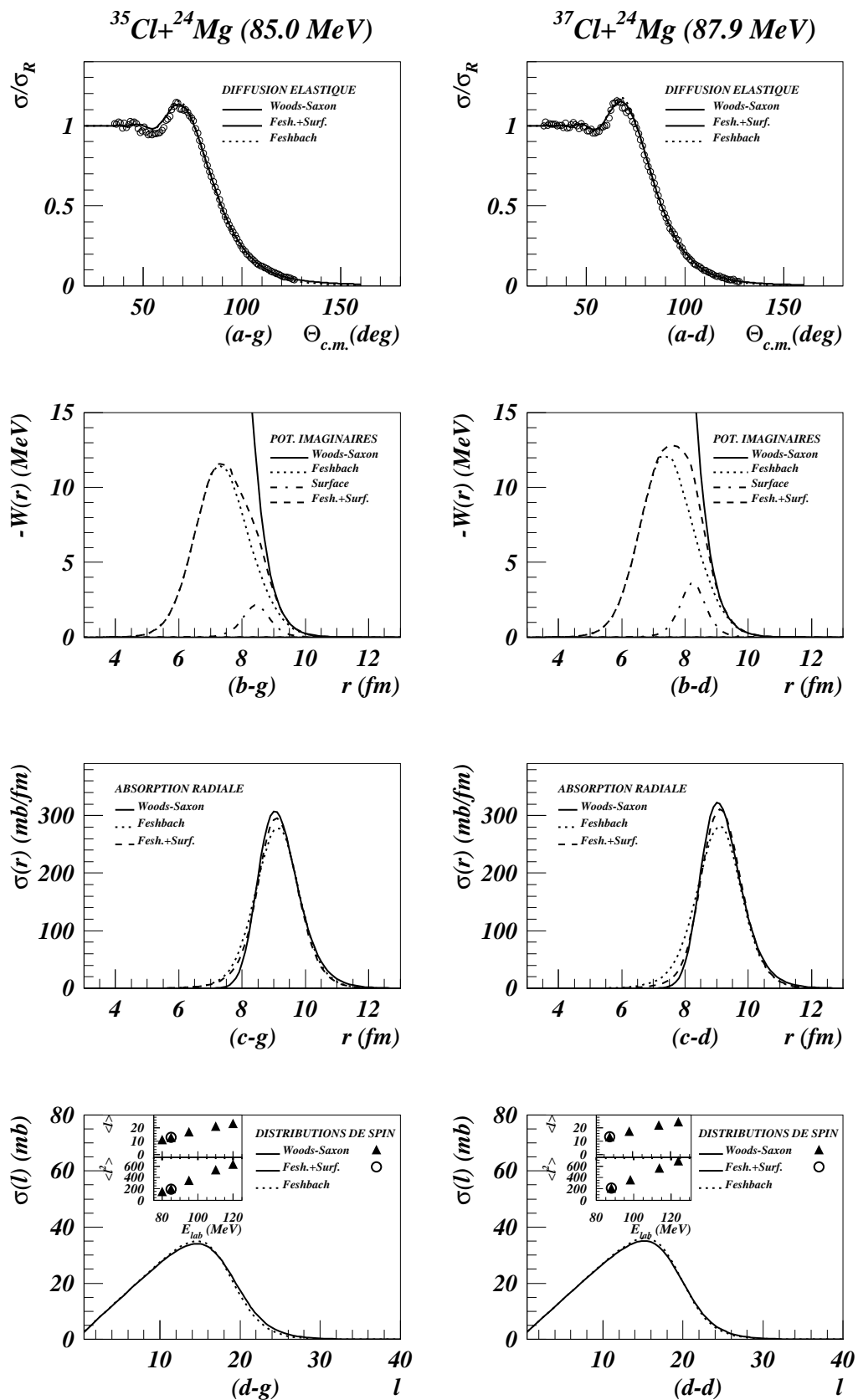


Figure 3.17: Calculs pour $^{35}\text{Cl} + ^{24}\text{Mg}$ et $^{37}\text{Cl} + ^{24}\text{Mg}$

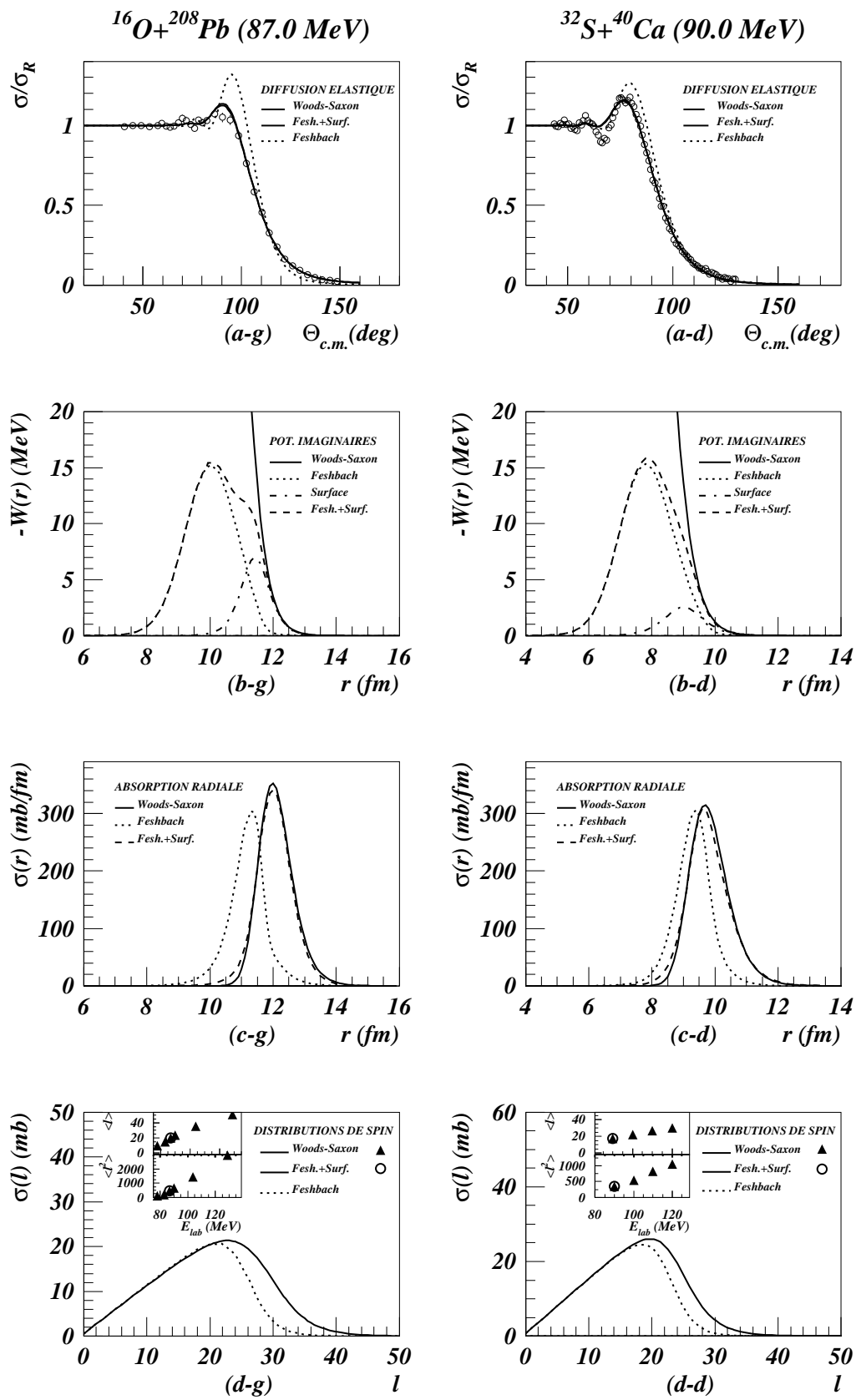


Figure 3.18: Calculs pour $^{16}\text{O} + ^{208}\text{Pb}$ et $^{32}\text{S} + ^{40}\text{Ca}$

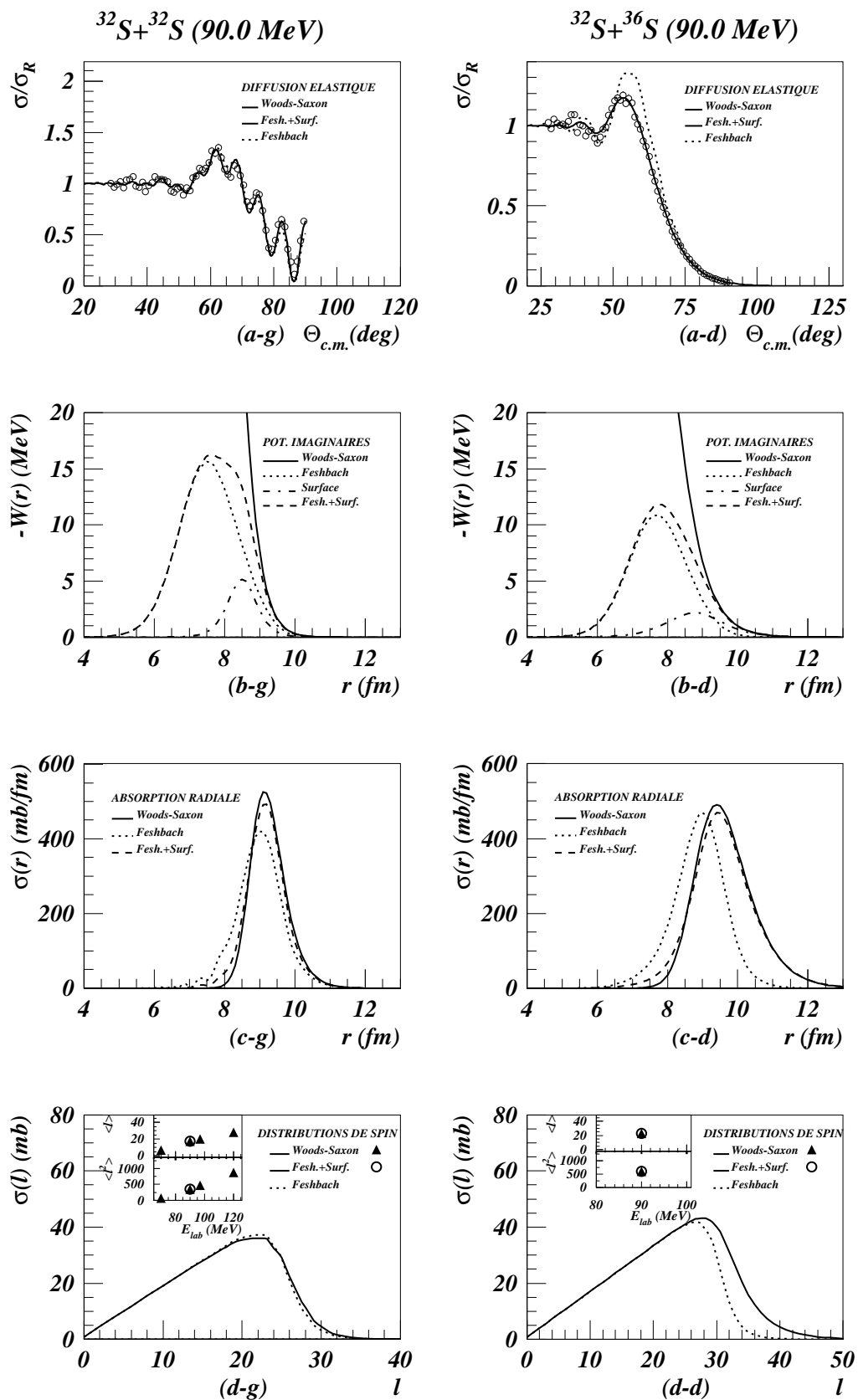


Figure 3.19: Calculs pour $^{32}\text{S} + ^{32}\text{S}$ et $^{32}\text{S} + ^{36}\text{S}$

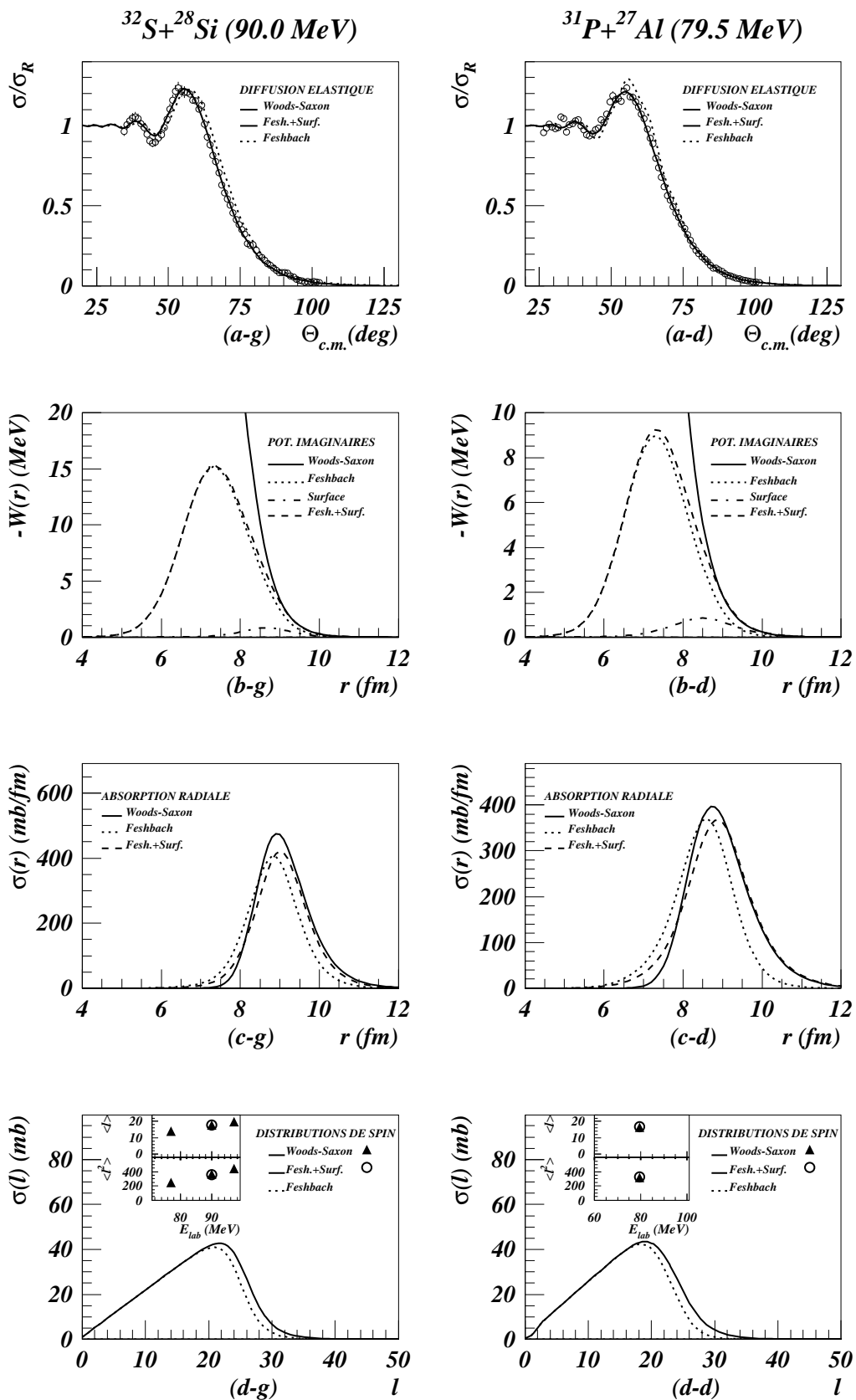


Figure 3.20: Calculs pour $^{32}\text{S} + ^{28}\text{Si}$ et $^{31}\text{P} + ^{27}\text{Al}$

Système	E_{lab} (MeV)	σ^{tr} (mb)	σ^{in} (mb)	$\sigma^{fis-fus}$ (mb)	σ_R^{tot} (mb)
$^{35}Cl + ^{24}Mg$	73.6	0.13 ± 0.06	128 ± 8	-	257 ± 20^a
	100.0	10 ± 2	193 ± 13	-	870 ± 17^a
$^{37}Cl + ^{24}Mg$	76.1	0.39 ± 0.15	129 ± 11	-	316 ± 12^a
	103.5	25 ± 3	184 ± 23	-	984 ± 20^a
$^{16}O + ^{208}Pb$	86.0	81.4 ± 10.4	87.5 ± 26.2	218 ± 11	384 ± 48
	88.0	105.8 ± 6.2	117 ± 25	350 ± 40	572.8 ± 71.2

a) Valeurs calculées par ajustement des données expérimentales de diffusion élastique.

Tableau 3.14 : Sections efficaces mesurées pour $^{16}O + ^{208}Pb$ et $^{35,37}Cl + ^{24}Mg$.

Dans le tableau 3.14 nous indiquons, pour les systèmes $^{35,37}Cl + ^{24}Mg$, les sections efficaces de réaction mesurées expérimentalement pour les réactions de transfert. Ces mesures ont été réalisées, pour chaque système, à deux énergies entre lesquelles se trouvent celles correspondant aux diffusions étudiées dans ce travail. Vu les faibles valeurs des sections efficaces de transfert en comparaison avec celles des sections efficaces totales de réaction, il est aisément de comprendre qu'en ne prenant en compte que la contribution des voies inélastiques de plus basses énergies d'excitation, nous pouvons reproduire raisonnablement bien les données expérimentales. Nous comprenons également pourquoi l'accord entre les calculs et les mesures est meilleur pour le $^{35}Cl + ^{24}Mg$ que pour le $^{37}Cl + ^{24}Mg$ étant donné que pour ce dernier système, la contribution des processus de transfert, bien que petite, est beaucoup plus grande que pour le $^{35}Cl + ^{24}Mg$.

Pour les autres systèmes étudiés, il existe toujours une différence entre le potentiel imaginaire microscopique et le potentiel phénoménologique. Il en résulte une mauvaise reproduction des données de diffusion élastique avec les potentiels que nous avons calculés. Cependant, pour ces systèmes et contrairement à ceux incluant le ^{24}Mg , il a toujours été observé expérimentalement une importante contribution des processus de transfert, et cela, même à des énergies proches de la barrière (**LIL**) et (**VI77**). En effet, dans le tableau 3.14 nous indiquons, pour le système $^{16}O + ^{208}Pb$ les sections efficaces de réaction mesurées expérimentalement pour différents processus de réaction à des énergies très proches de celle étudiée dans cette thèse. Nous observons que les sections efficaces de transfert sont du même ordre de grandeur que celles correspondant aux processus inélastiques et qu'elles représentent une partie importante des sections efficaces totales de réaction (20 à 25 %). Il n'est donc pas surprenant que l'on ne puisse pas reproduire les mesures de diffusion élastique en ne considérant que l'absorption due aux canaux inélastiques.

Afin de corriger le fait de ne pas avoir pris en compte les processus de transfert dans nos calculs microscopiques, nous introduisons cette contribution de manière

phénoménologique. En nous basant sur les facteurs de forme semi-classiques des transferts ((BRO81)) nous avons assumé un terme d'absorption de surface de la forme :

$$W_{phén.}^{trans.}(R) = -4 W_s a_s \frac{df(R)}{dr} \quad (3.13)$$

avec

$$f(r) = \frac{1}{1 + e^{\frac{(r-R_s)}{a_s}}} \quad (3.14)$$

où W_s , R_s et a_s sont, respectivement, la profondeur, le rayon et le paramètre de diffusivité du potentiel qui ont été déterminés par ajustement aux données expérimentales. De cette manière, nous utilisons dans nos calculs un potentiel total imaginaire donné par :

$$W_L^T(R) = W_L^{in}(R) + W_{phén.}^{trans.}(R) \quad (3.15)$$

Étant donné que le terme $W_{phén.}^{trans.}(R)$ a été déterminé par ajustement des données avec le potentiel imaginaire de l'équation 3.15, il doit contenir bien plus que les processus de transfert de nucléons. Entre autres, il contient des corrections au terme $W_L^{in}(R)$. Cependant, comme $W_L^{in}(R)$ a été obtenu en incluant dans les calculs du potentiel de Feshbach tous les canaux ouverts donnant une contribution supérieure à 1% à la section efficace de réaction, les corrections au terme $W_L^{in}(R)$ doivent être très peu significatives et $W_{phén.}^{trans.}(R)$ correspond principalement aux processus de transfert.

Le tableau 3.15 montre, pour chaque système, le nombre de canaux inélastiques inclus dans les calculs du potentiel de Feshbach ainsi que les valeurs des paramètres W_s , R_s et a_s déduites de l'ajustement aux données de diffusion élastique en utilisant le potentiel imaginaire total de l'équation 3.15.

Système	E_{lab} (MeV)	Nombre d'états	σ_R^{in*} (mb)	W_s (MeV)	R_s (fm)	a_s (fm)	χ^2/n	σ_R^{in*+tr} (mb)	σ_R^{tr} (mb)
$^{16}O + ^{208}Pb$	87.0	4	373	7.00	11.43	0.294	1.00	460	87
$^{31}P + ^{27}Al$	79.5	6	662	0.85	8.500	0.519	5.72	748	86
$^{32}S + ^{24}Mg$	65.0	2	57.0	—	—	—	3.9	—	—
$^{32}S + ^{24}Mg$	75.0	2	422	2.75	8.467	0.324	3.42	440	18
$^{32}S + ^{28}Si$	90.0	4	683	1.29	8.500	0.413	1.02	742	59
$^{32}S + ^{32}S$	90.0	3	629	5.15	8.500	0.271	2.79	632	3
$^{32}S + ^{36}S$	90.0	4	790	2.19	8.783	0.529	2.29	942	152
$^{32}S + ^{40}Ca$	90.0	5	394	2.53	9.000	0.413	3.29	472	78
$^{35}Cl + ^{24}Mg$	85.0	5	484	2.25	8.433	0.277	1.58	485	1
$^{37}Cl + ^{24}Mg$	87.9	5	505	3.64	8.244	0.264	0.95	508	3

Tableau 3.15 : Meilleurs paramètres des potentiels de surface.

Nous incluons également dans ce tableau les sections efficaces de réaction $\sigma_R^{in^*}$ et $\sigma_R^{in^*+tr}$ calculées avec le potentiel imaginaire de Feshbach et celui de l'équation 3.15, respectivement. Les augmentations de la section efficace de réaction obtenues après avoir inclus le terme phénoménologique de transfert ($\sigma_R^{in^*+tr} - \sigma_R^{in^*}$) sont compatibles avec les sections efficaces de transfert dans le cas des systèmes pour lesquels existent des mesures expérimentales (tableau 3.14). Il est important de signaler que le fait d'avoir utilisé un propagateur WKB complet dans la modélisation du potentiel de Feshbach (éq. 2.52), nos calculs permettent d'obtenir l'absorption due tant à la contribution des processus directs qu'à ceux de multi-étapes qui ont comme "porte d'entrée" l'excitation des états inélastiques explicitement inclus. Étant donné que dans un travail antérieur (**VI93**) il a été utilisé avec succès l'hypothèse que ce sont les processus de multi-étapes qui conduisent à la fusion, les valeurs de $\sigma_R^{in^*}$ obtenues dans nos calculs doivent inclure l'absorption due aux processus directs et de fusion.

Pour le système $^{16}O + ^{208}Pb$, les sections efficaces d'absorption correspondant à toutes les voies ouvertes à des énergies très proches de la notre ont été mesurées (**LIL**) et (**VI77**). En accord avec notre idée, la valeur de $\sigma_R^{in^*}$ calculée à 87 MeV s'avère être compatible avec la valeur de $\sigma^{in} + \sigma^{fis-fus}$ déduite des valeurs mesurées à 86 et à 88 MeV (tableau 3.14) ce qui n'exclut pas que les processus de transfert soient également des portes d'entrées conduisant à la fusion.

La contribution de $W_{phén.}^{trans.}(R)$ (ligne tiret-pointillée) ainsi que le potentiel imaginaire total de l'équation 3.15 (tirets) sont représentés sur la figure 3.21.b, pour le $^{32}S + ^{24}Mg$ et sur les figures 3.17.b à 3.20.b pour tous les autres systèmes. Nous pouvons observer qu'il existe un large domaine radial dans lequel le potentiel total imaginaire (Eq. 3.15) et celui de Woods-Saxon s'accordent parfaitement. En introduisant un potentiel de surface phénoménologique "plus périphérique que celui de Feshbach", pour décrire les processus de transfert, nous avons été capables de reproduire les données de diffusion élastique avec la même précision que celle obtenue lors de l'analyse semiphénoménologique décrite à la section précédente. En effet, sur les figures 3.17.a à 3.21.a, il n'est pas possible de distinguer les sections efficaces de diffusion élastique calculées avec l'un (tableau 3.12) ou l'autre (eq. 3.15) des potentiels imaginaires (lignes continues). Les lignes pointillées représentent les calculs effectués avec les potentiels imaginaires de Feshbach.

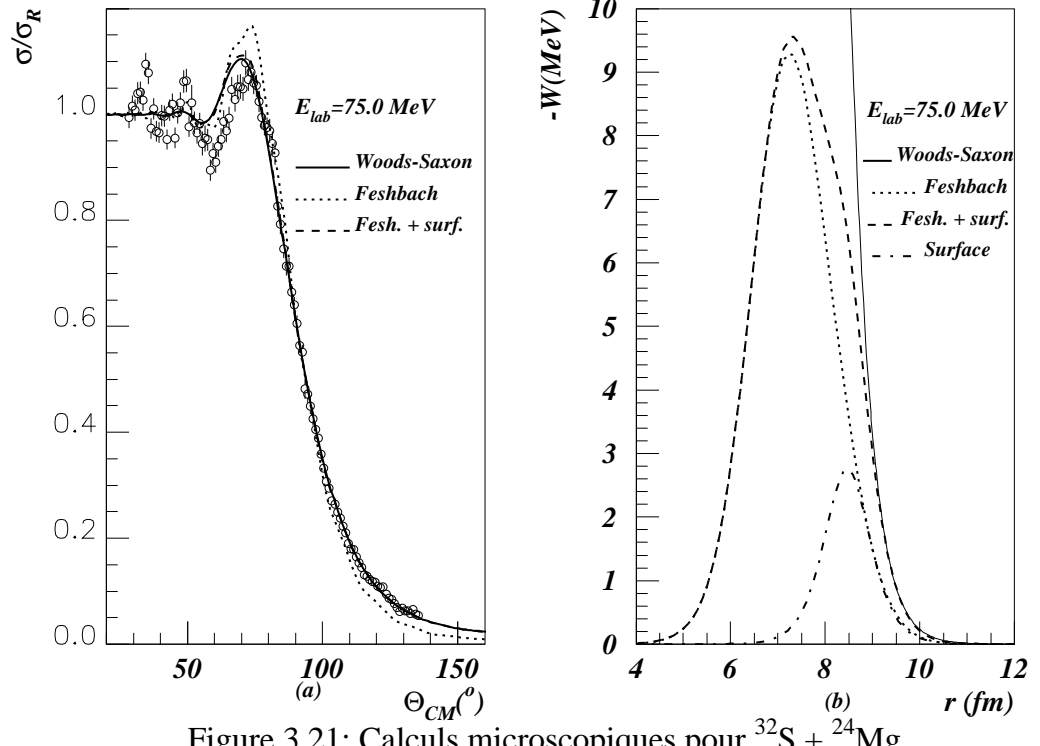


Figure 3.21: Calculs microscopiques pour $^{32}\text{S} + ^{24}\text{Mg}$

3.3.2 Distributions radiales de l'absorption

Suivant le procédé décrit dans la section 3.2.2 nous avons calculé les fonctions d'onde du mouvement relatif, utilisant le potentiel de Feshbach et celui donné par l'équation 3.15. L'équation 3.10 nous a permis de tracer les distributions radiales de l'absorption. Les courbes correspondantes sont reportées dans les figures 3.22 pour le $^{32}\text{S} + ^{24}\text{Mg}$. En particulier, dans la figure 3.22.a, est indiquée l'absorption pour le système $^{32}\text{S} + ^{24}\text{Mg}$ à 65 MeV qui est l'unique énergie, parmi celles étudiées, qui corresponde à une collision en dessous de la barrière de Coulomb. Comme il a été justifié dans la section 2.2.3, la théorie nous montre qu'il n'existe pas d'absorption en dessous de la barrière. Les calculs effectués avec le potentiel de Feshbach (ligne pointillée) montrent une discontinuité de la distribution de l'absorption correspondante entre 9 et 11 fm. Cette discontinuité qui concorde avec le domaine de distances situé en dessous de la barrière, indique, de par la valeur nulle du potentiel imaginaire, qu'il n'y a pas d'absorption (voir figure 3.15.a-ligne continue A). Par contre, les calculs effectués avec des potentiels phénoménologiques (ligne continue) non nuls dans tout le domaine radial (voir figure 3.15.b-a continue B), simulent ce manque d'absorption présentant une diffusivité très petite (table 3.4). Cependant, malgré les différentes formes des deux distributions, les positions des maximums d'absorption obtenus ainsi que les valeurs de l'absorption totale (mesurée par l'aire sous la courbe) sont en excellent accord (voir les tableaux 3.4 et 3.15).

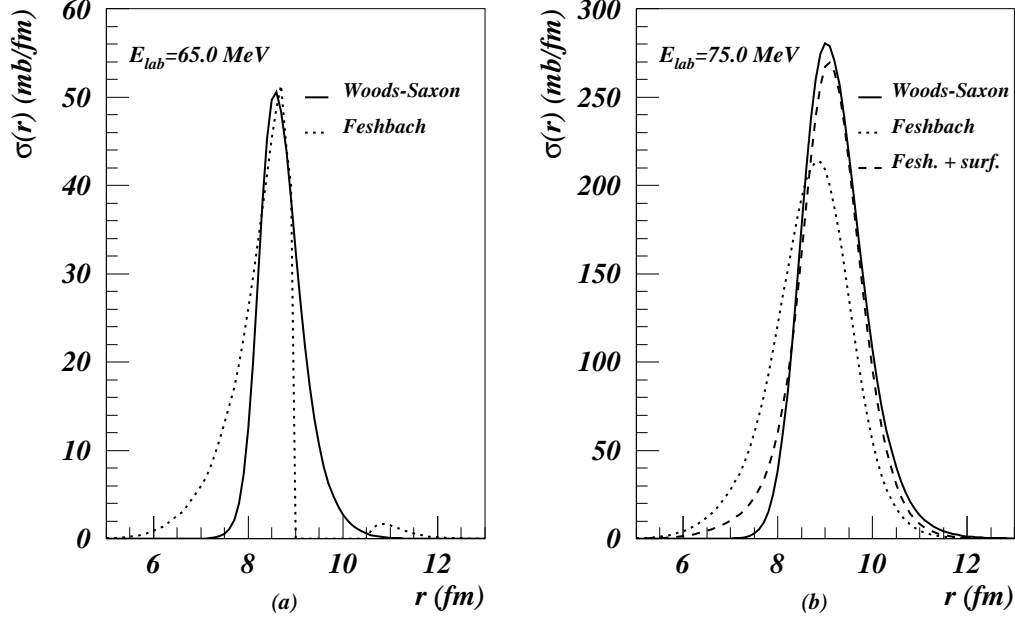


Figure 3.22: Calculs de l'absorption radiale à 65 et à 75 MeV pour $^{32}\text{S} + ^{24}\text{Mg}$

Les figures 3.17.c à 3.20.c montrent les distributions radiales de l'absorption calculées avec le potentiel de Feshbach (lignes pointillées) et avec celui de l'éq. 3.15 (tirets discontinus), pour les autres systèmes analysés. Elles sont comparées à celles obtenues avec les potentiels semiphénoménologiques (lignes continues). Comme nous l'avons expliqué précédemment, étant donné que nous avons assumé le même potentiel réel dans tous les calculs, nous obtenons, en fait, une comparaison directe entre les parties absorbantes des différents potentiels. Nous observons que les sections efficaces totales d'absorption calculées sont approximativement les mêmes pour le potentiel phénoménologique et celui de l'équation 3.15. Il apparaît donc que près de la barrière de Coulomb, l'accord entre les prédictions théoriques et les calculs effectués avec les potentiels phénoménologiques déduits de l'ajustement des expériences est bon et que seuls quelques canaux inélastiques et les processus de transfert de nucléons jouent un rôle prédominant dans l'absorption.

3.3.3 Distributions de spin de l'absorption

Suivant le procédé largement décrit dans la section 3.2.3, nous avons utilisé l'équation 3.12 pour calculer la contribution de chaque onde partielle à l'absorption totale, $\sigma_R(l)$, lorsque l'on utilise le potentiel de Feshbach ou celui donné par l'équation 3.15 pour décrire le terme d'absorption. Nous comparons, dans la figure 3.23 pour le $^{32}\text{S} + ^{24}\text{Mg}$ et dans les figures 3.17.d à 3.20.d pour les autres systèmes, les distributions de spin obtenues avec le potentiel de Feshbach (lignes pointillées), avec le potentiel phénoménologique de Woods-

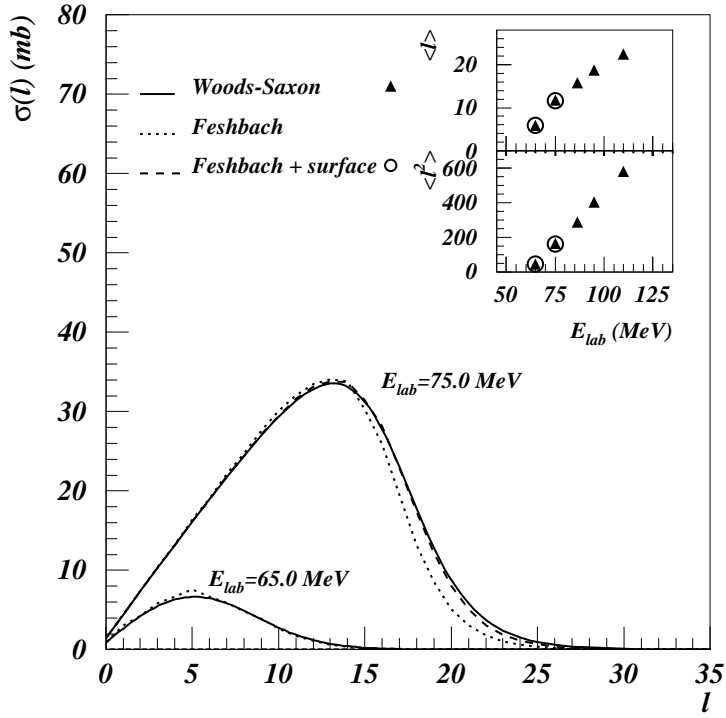


Figure 3.23: Distributions de spin pour le $^{32}\text{S} + ^{24}\text{Mg}$

Saxon (lignes continues) et celui de l'équation 3.15 (lignes discontinues). Les distributions obtenues avec les deux derniers potentiels sont en parfait accord au point d'être indistinguables. Nous comparons aussi les valeurs moyennes $\langle l \rangle$ et $\langle l^2 \rangle$ calculées avec les potentiels semiphénoménologiques (triangles) à celles calculées à une certaine énergie avec notre potentiel incluant les contributions des canaux inélastiques les plus bas et ceux des transferts (cercles).

Dans le tableau 3.16, sont indiquées les valeurs de $\langle l \rangle$, $\langle l^2 \rangle$ et σ_R (en mb) calculées avec les potentiels semiphénoménologiques et avec celui de l'équation 3.15. Les valeurs de χ^2/n obtenues lors de l'ajustement aux données de diffusion élastique avec les deux potentiels indiqués ci-dessus, sont également incluses, et montrent l'excellent accord obtenu entre les mesures expérimentales et les calculs réalisés avec ces deux types de potentiels.

Système	E_{lab} (MeV)	Calculs semiphénom.				Feshbach + Surf. (phénom.)			
		$\langle l \rangle$	$\langle l^2 \rangle$	σ_R^T	χ^2/n	$\langle l \rangle$	$\langle l^2 \rangle$	σ_R^{in*+tr}	χ^2/n
$^{16}O + ^{208}Pb$	87.0	20.15	475.00	474	1.08	19.95	464.38	460	1.00
$^{31}P + ^{27}Al$	79.5	16.57	318.12	737	1.80	16.70	323.20	748	5.72
$^{32}S + ^{24}Mg$	75.0	11.80	165.00	445	3.40	11.70	160.84	440	3.42
$^{32}S + ^{28}Si$	90.0	17.78	364.35	749	1.15	17.69	359.99	745	1.02
$^{32}S + ^{32}S$	90.0	17.51	352.68	631	2.90	17.47	350.71	632	2.79
$^{32}S + ^{36}S$	90.0	22.76	597.03	943	1.75	22.77	597.72	942	2.29
$^{32}S + ^{40}Ca$	90.0	17.23	347.16	473	3.59	17.24	348.00	472	3.29
$^{35}Cl + ^{24}Mg$	85.0	13.13	202.32	489	1.60	13.00	197.41	485	1.58
$^{37}Cl + ^{24}Mg$	87.9	13.45	211.41	508	0.90	13.39	209.88	508	0.95

Tableau 3.16 : Sections efficaces totales de réaction et valeurs moyennes des moments angulaires.

Chapitre 4

EFFETS COLLECTIFS AUX HAUTES ÉNERGIES.

Dans le chapitre précédent nous avons étudié l'absorption au voisinage de la barrière de Coulomb. Nous avons montré qu'il était possible de déterminer des potentiels microscopiques, calculés dans le formalisme de Feshbach avec un nombre limité d' états excités, qui permettent de reproduire les données expérimentales pour les systèmes très déformés. Pour les autres systèmes étudiés, sphériques ou peu déformés, à ce potentiel devait être ajouté un terme plus externe qui rende compte de l'absorption due aux réactions de transferts.

Nous avons donc à notre disposition un outil qui nous permet de calculer l'absorption aux énergies proches de la barrière de Coulomb, dans un domaine où le modèle de fermeture est inadapté. Nous savons, par ailleurs, que ce modèle est très efficace pour décrire l'absorption aux énergies plus élevées, lorsque toutes les voies d'absorption, ou du moins les plus importantes, sont ouvertes. En particulier, le système $^{16}O + ^{208}Pb$ a été largement étudié (**AN90**), (**VI91**) et (**VI93**). Du point de vue théorique, c'est un système très intéressant car les deux noyaux en interaction sont sphériques et à couches fermées. Des résultats similaires ont été obtenus pour des systèmes peu déformés comme le $^{32}S + ^{40}Ca$ (**VI91**). Cependant les études réalisées jusqu'à présent pour le système $^{16}O + ^{208}Pb$ ont été limitées aux énergies comprises entre 78 MeV et 192 MeV ce qui correspond à une variation de 4.75 à 12 MeV/Nucleon. La question de la limite de validité du modèle aux grandes énergies reste ouverte. Pour y répondre nous exposons dans ce chapitre l'étude effectuée à l'aide du système $^{16}O + ^{208}Pb$ à 793 MeV et 1503 MeV ; soit, respectivement, à des énergies de 49.6 MeV/Nucleon et 94 MeV/Nucleon, respectivement. Ainsi, l'intérêt de cette étude est double : Il s'agit, d'abord de déterminer les limites de validité du modèle en termes de variation de l'énergie de la collision, et ensuite, d'obtenir des informations relatives à l'importance des effets collectifs sur l'absorption à des énergies suffisamment élevées pour lesquelles les processus de diffusion nucléon-nucléon peuvent avoir une contri-

bution significative. Comme nous l'avons précédemment indiqué, et à cause principalement de l'utilisation de certaines approximations dans l'évaluation du potentiel noyau-noyau, comme par exemple l'emploi d'une interaction nucléon-nucléon de portée nulle, le modèle de l'approximation de fermeture est mieux adapté pour le calcul de la partie d'absorption du potentiel que pour la détermination du potentiel réel qui, comme d'habitude (**VIN93**), est remplacé dans l'évaluation du propagateur par un potentiel déduit de l'ajustement aux données de diffusion élastique ou par un autre qui lui est équivalent. En particulier, nous suivrons la même procédure décrite dans la référence (**VIN93**) et nous déterminerons la dépendance énergétique du potentiel réel obtenu par double convolution des densités des noyaux cible et projectile avec la force effective M3Y, faisant usage du pouvoir prédictif de la relation de dispersion que nous construirons en suivant la procédure décrite dans les références (**LI85**), (**NA85**) et (**MA86**).

4.1 ANALYSE DE LA DIFFUSION ÉLASTIQUE $^{16}O + ^{208}Pb$:

Dans l'analyse des données de la diffusion élastique $^{16}O + ^{208}Pb$ à 793 MeV (**LI**) et à 1503 MeV (**RO**), nous avons utilisé la paramétrisation phénoménologique du potentiel optique donnée par l'équation 2.18

$$V_{opt} = -V_0 f_R(r) - iW_0 f_I(r) \quad (4.1)$$

$f(r)$ étant le facteur de forme habituel de Woods-Saxon défini par l'équation 2.16

$$f(r) = \frac{1}{1 + e^{\frac{r-R}{a}}} \quad (4.2)$$

où a et $R = r_0(A_P^{\frac{1}{3}} + A_C^{\frac{1}{3}})$ représentent respectivement, la diffusivité et le rayon du potentiel noyau-noyau. Dans cette première analyse nous avons adopté les paramètres du potentiel optique inclus dans le tableau 4.1, qui furent obtenus par Mermaz et al. (**ME87**) à 793 MeV et par Roussel et al. (**RO86**) à 1503 MeV par ajustement aux données de la diffusion élastique $^{16}O + ^{208}Pb$ correspondantes.

E_{lab} (MeV)	V_0 (MeV)	R_R (fm)	a_R (fm)	W_0 (MeV)	R_W (fm)	a_W (fm)	Références	χ^2/n	σ_R (mb)
793.	50.	1.083	0.755	42.2	1.083	0.755	ME87	0.75	3600
1503.	80.	1.072	0.718	51.6	1.072	0.718	RO86, RO88	54.	3586
1503.	44.	1.072	0.718	26.1	1.072	0.718	présent travail	2.18	3209

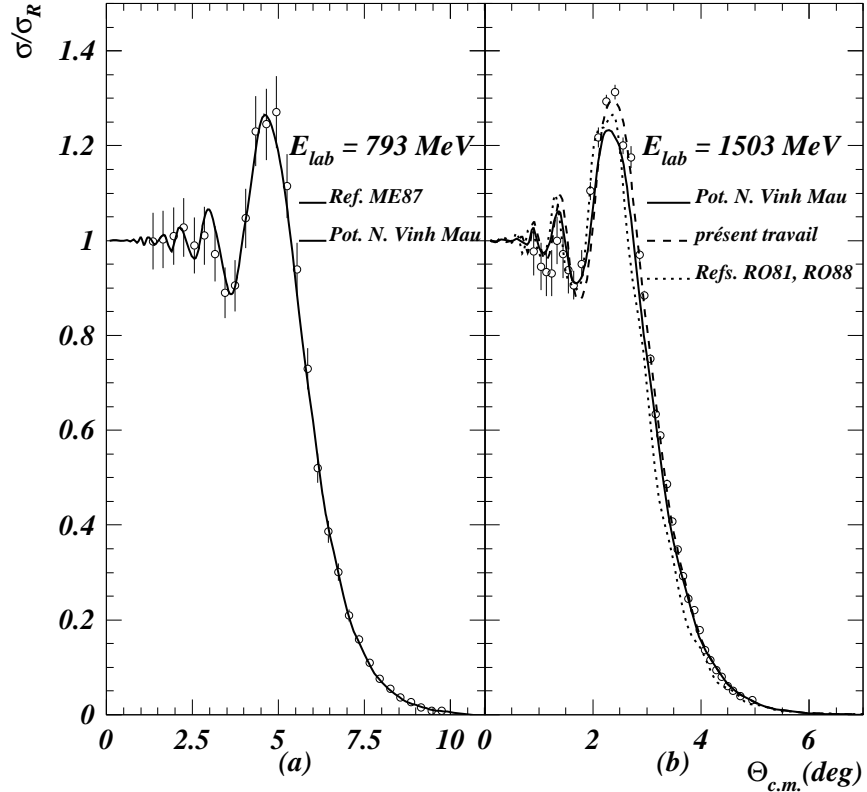


Figure 4.1: Comparaison des données expérimentales aux calculs

Tableau 4.1 : Paramètres du potentiel optique phénoménologique.

Dans les deux dernières colonnes, nous avons inclus les valeurs du paramètre χ^2/n , qui nous indique la qualité de l'ajustement obtenu avec les paramètres optiques correspondants, ainsi que la valeur de la section efficace de réaction calculée pour chaque cas. La figure 4.1.a indique l'excellent accord obtenu à 793 MeV entre l'expérience et les calculs réalisés, tandis que la figure 4.1.b met en évidence le désaccord existant entre les données de diffusion élastique mesurées à 1503 MeV et le résultat des calculs (ligne pointillée) utilisant les paramètres de Roussel et al.

Devant ce désaccord, nous avons réalisé un nouvel ajustement aux données expérimentales, en maintenant la même géométrie et en recherchant les valeurs des profondeurs de la partie réelle V_0 et imaginaire W_0 du potentiel optique, qui conduisent à une valeur minimale du paramètre χ^2/n . Les résultats sont inclus dans le tableau 4.1 et la distribution angulaire obtenue est représentée dans la figure 4.1.b par une ligne discontinue. L'ajustement aux données est, maintenant, excellent.

Les potentiels obtenus par cette procédure standard ainsi que les sections efficaces de réaction calculées à partir de ces potentiels, seront utilisés par la suite comme référence pour tous les calculs que nous réaliserons en utilisant des potentiels de différente nature.

Les données de diffusion élastique mesurées aux énergies indiquées dans le tableau 4.2, ont été prises de la référence (**LIL**) et analysées selon la même méthode semi-phénoménologique indiquée dans la référence (**LI85**). En accord avec cette méthode, la partie d'absorption du potentiel est décrite par un terme de Woods-Saxon dépendant de l'énergie, dont les paramètres sont pris de la référence (**NAG**) et inclus dans le tableau 4.2. La partie réelle du potentiel est déterminée comme un potentiel de double convolution dans lequel l'interaction entre les noyaux est décrite par une force effective locale M3Y qui a été amplement utilisée avec beaucoup de succès (**SA79**). L'unique différence entre les calculs que nous résumons dans le tableau 4.2 et ceux des références (**LI85**) et (**NAG**) réside dans la forme adoptée pour la densité de l'état fondamental des noyaux cible et projectile que nous avons considéré dans nos calculs comme une distribution de Fermi (Cf. équation 3.4). Comme nous l'indiquions dans le chapitre 3, la densité du ^{208}Pb a été obtenue par une méthode variationnelle semi-classique, déterminant séparément les paramètres pour la densité de protons et de neutrons indiqués dans le tableau 3.2. Cependant, dans le cas du noyau ^{16}O , vu que sa densité a été déduite d'expériences de diffusion d'électrons, nous avons effectué les corrections adéquates dues à la distribution de charge non nulle du neutron et à la dimension finie du proton (**SA79**). Les potentiels folding calculés dans ces conditions sont des potentiels nus dont la dépendance avec l'énergie s'obtient en les renormalisant au moyen d'ajustement aux distributions angulaires correspondant à chaque énergie. Les facteurs de renormalisation obtenus, dépendant de l'énergie, sont inclus dans le tableau 4.2, où nous indiquons également les valeurs des parties réelle et imaginaire du potentiel optique calculées à 12.4 fm, ainsi que les sections efficaces de réaction calculées avec les potentiels qui conduisent à un ajustement optimum donné par la valeur du paramètre χ^2/n .

E_{lab} (MeV)	N(E)	W_0 (MeV)	r_W (fm)	a_W (fm)	-V(12.4 fm) (MeV)	-W(12.4 fm) (MeV)	σ_R (mb)	χ^2/n
78.00	1.726	28.350	1.2635	0.4206	2.859	0.456	40.30	0.7
80.00	1.479	29.590	1.2695	0.4408	2.450	0.641	109.30	1.2
81.00	1.581	32.280	1.2666	0.4201	2.618	0.549	140.20	1.3
82.00	1.635	29.809	1.3482	0.3077	2.708	1.063	205.50	0.4
83.00	1.606	26.760	1.3428	0.3211	2.659	0.950	253.80	1.0
85.95	1.414	27.436	1.3284	0.3847	2.342	1.214	451.90	1.0
87.00	1.429	29.380	1.3251	0.3730	2.366	1.104	475.60	0.9
88.00	1.380	25.476	1.3208	0.3681	2.285	0.835	495.80	1.3
90.00	1.266	32.953	1.2924	0.4339	2.097	1.039	626.80	0.7
94.00	1.112	35.300	1.2787	0.4840	1.842	1.245	842.30	1.7
96.00	1.259	32.240	1.2900	0.4424	2.085	1.037	894.30	0.5
102.00	1.000	36.150	1.2286	0.5687	1.656	0.999	1153.00	0.7
104.00	1.311	32.800	1.3099	0.4088	2.171	1.197	1208.00	0.2
129.50	1.100	35.578	1.2370	0.6271	1.822	1.511	2079.00	0.6
138.50	0.958	40.203	1.2155	0.6029	1.586	1.132	2152.00	3.1
192.00	0.952	42.223	1.2098	0.6196	1.577	1.209	2893.00	1.1
216.60	0.584	38.092	1.1595	0.7363	0.967	1.071	3069.00	1.5
312.60	0.868	23.783	1.2178	0.6478	1.437	0.874	3419.00	0.1

Tableau 4.2 : Paramètres du modèle optique semi-phénoménologique pour le système $^{16}O + ^{208}Pb$.

Dans le chapitre 3 nous avons montré que pour des énergies proches de la barrière de Coulomb, l'absorption est contrôlée par des processus périphériques. Nous avons aussi montré qu'il n'y a de sensibilité que dans une région très étroite de la surface du potentiel. Pour cette raison nous avons considéré, dans les analyses phénoménologiques réalisées, une profondeur constante de 60 MeV pour la partie d'absorption du potentiel. Cependant, la philosophie adoptée pour la présente analyse a été différente car nous avons considéré les paramètres du potentiel imaginaire de la référence (**NAG**) qui utilise différentes profondeurs pour le terme d'absorption, et nous n'avons recherché que la nouvelle renormalisation du potentiel réel dans le but de corriger les petites différences dues aux densités distinctes que nous avons utilisées pour les noyaux cible et projectile dans le calcul du potentiel folding nu.

Deux raisons nous ont poussés à utiliser cette procédure :

En premier lieu, nous savons que le domaine de distance dans lequel se produit l'absorption augmente avec l'énergie et que par conséquent, la sensibilité aux détails du potentiel aux petites distances doit croître. Notre hypothèse consistant à maintenir constante la profondeur du terme d'absorption pourrait alors ne pas être adéquate aux énergies plus

élevées ; cependant, dans les calculs inclus dans le tableau 3.6 nous avons maintenu constante la profondeur du terme imaginaire jusqu'à une énergie de 192 MeV et nous avons obtenu des valeurs du facteur de renormalisation du potentiel réel compatibles avec celles incluses dans le tableau 4.2.

En second lieu, nous désirons reproduire de la forme la plus précise possible les calculs qui ont permis d'obtenir l'évolution du potentiel avec l'énergie indiquée dans la référence (**LI85**), pour une distance de 12.4 fm adoptée comme rayon de sensibilité.

4.2 DÉPENDANCE DE L'ÉNERGIE DU POTENTIEL RÉEL :

Comme il a été indiqué antérieurement, la dépendance énergétique du potentiel réel fut observée expérimentalement (**BA84**), (**LI85**), (**NA85**) et (**DI89**). Elle a été l'objet de nombreux travaux théoriques qui ont permis de bien la comprendre (**MA86**), (**VI91**) et (**PA91**). Ce phénomène est dû au couplage des canaux non élastiques à la voie élastique et se manifeste par une augmentation du potentiel réel lorsque diminue l'énergie de la collision des deux noyaux en interaction. Cette augmentation du potentiel est d'autant plus grande que le couplage est intense. Elle est aussi directement liée, au moyen d'une relation de dispersion, à la variation de l'absorption avec l'énergie. Cette relation de dispersion, donnée par l'équation 2.15 peut être écrite de la façon suivante :

$$\mathcal{R}e\Delta V_{E_S}(r, E) = \frac{E - E_S}{\pi} \mathcal{P} \int_{E_0}^{\infty} \frac{\mathcal{I}m\Delta V(r, E')}{(E' - E_S)(E' - E)} dE' \quad (4.3)$$

où \mathcal{P} représente la valeur principale de l'intégrale et $\mathcal{I}m\Delta V(r, E')$ le potentiel imaginaire que nous appellerons, par souci de simplicité dans ce qui suit, $W(r, E')$. E_0 est l'énergie seuil à laquelle le potentiel imaginaire s'annule, E_S est l'énergie de référence et $\mathcal{R}e\Delta V_{E_S}(r, E)$ est donné par :

$$\mathcal{R}e\Delta V_{E_S}(r, E) = V(r, E) - V(r, E_S) \quad (4.4)$$

où $V(r, E_S)$ est la valeur du potentiel réel total à l'énergie de référence.

L'équation 4.3 peut être évaluée, pour chaque valeur de r , en faisant usage d'un modèle linéaire très simple (**MA86**) dans lequel nous supposons que l'évolution de $W(r, E')$ avec l'énergie peut être représentée par des segments de droites qui unissent ses valeurs à

différentes énergies. Ainsi, pour un rayon donné, nous pouvons obtenir :

$$\mathcal{R}e\Delta V_{E_S}(r, E) = \frac{1}{\pi} \ln \frac{\prod_{i=0}^{n-1} \left| \frac{E_{i+1}-E}{E_i-E} \right|^{W_i(E)} \left| \frac{1}{E_n-E} \right|^{W_n}}{\prod_{i=0}^{n-1} \left| \frac{E_{i+1}-E_S}{E_i-E_S} \right|^{W_i(E_S)} \left| \frac{1}{E_n-E_S} \right|^{W_n}} \quad (4.5)$$

où

$$W_i(E) = \frac{W_{i+1} - W_i}{E_{i+1} - E_i} (E - E_i) + W_i \quad (4.6)$$

E_n étant une valeur très grande de l'énergie à laquelle nous supposons que le potentiel imaginaire W_n est approximativement constant. La relation 4.5 nous permet d'obtenir, à chaque énergie, l'augmentation du potentiel réel par rapport à sa valeur à l'énergie de référence E_S . Le potentiel réel total ainsi obtenu peut être exprimé comme produit du potentiel nu par un facteur de renormalisation, $N(E)$, dépendant de l'énergie :

$$V_{M3Y} + \Delta V(E) = N(E)V_{M3Y} \quad (4.7)$$

Nos calculs ont été réalisés dans les conditions suivantes :

a)- Nous avons pris comme énergie de référence $E_S = 138.5 MeV$ car le facteur de renormalisation du potentiel réel obtenu par ajustement aux données expérimentales a une valeur très proche de l'unité.

b)- L'équation 4.5 a été évaluée au rayon de sensibilité $R_S = 12.4 fm$ dont la valeur a été prise des références (**TH85**), (**LI85**) et (**NA85**) dans lesquelles il a été calculé à partir de l'ajustement aux données de diffusion élastique inclus dans le tableau 4.2.

c)- Nous avons choisi quatre segments qui connectent les valeurs du potentiel imaginaire $-W(r = 12.4 fm, E_{lab}) = 0.0, 1.21, 0.84, 0.56$ et $0.24 MeV$ qui correspondent, respectivement, aux énergies $E_{lab}=74, 85.95, 400, 793$ et $1503 MeV$. Les valeurs du potentiel imaginaire à ces énergies ont été calculées à partir des paramètres optiques trouvés lors de l'ajustement aux données de diffusion élastique inclus dans les tableaux 4.1 et 4.2.

Dans la partie inférieure de la figure 4.2, nous comparons notre hypothèse aux valeurs de $W(E)$ obtenues à $12.4 fm$ à partir des paramètres optiques qui s'ajustent aux données. La partie supérieure de cette même figure indique, à la même distance, une comparaison similaire entre les valeurs du potentiel réel total déduit de l'ajustement aux données et celui calculé à partir du potentiel nu et du terme de polarisation donné par l'équation 4.3 paramétrisée de la forme indiquée par l'équation 4.5. L'accord est excellent et tout à fait similaire à celui indiqué dans la référence (**MA86**).

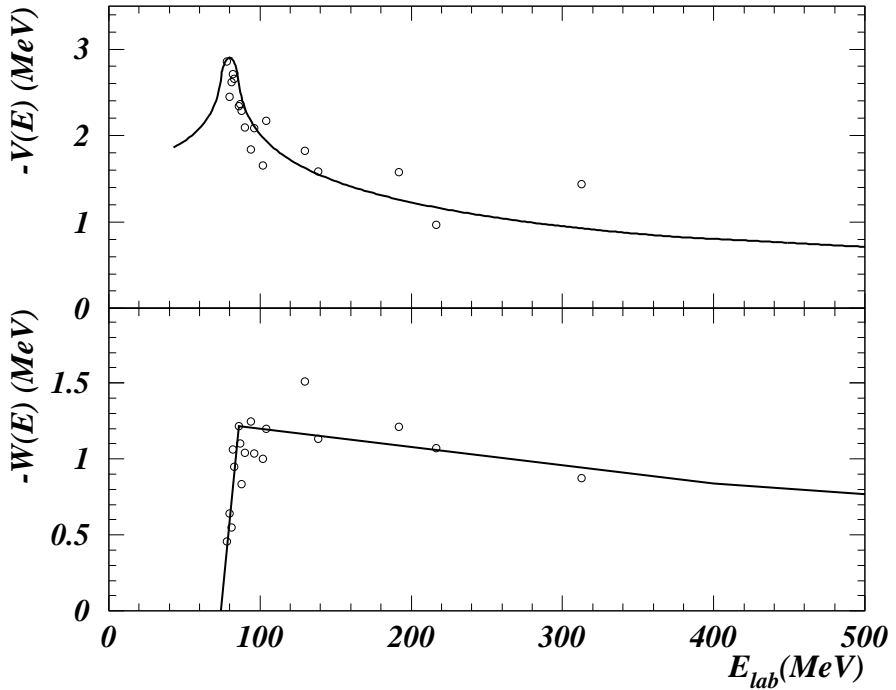


Figure 4.2: Dépendance énergétique du potentiel à 12.4 fm

E_{lab} (MeV)	N(E)	W MeV	R_W (fm)	a_W (fm)	-W(12.4fm) (MeV)	σ_R (mb)	χ^2/n
793	0.3572	42.2	1.083	0.755	0.56	3600	0.78
1503	0.1957	26.1	1.072	0.718	0.24	3210	2.76

Tableau 4.3 : Analyse semi-phénoménologique.

Ainsi, en utilisant le pouvoir prédictif de la relation de dispersion, nous avons calculé le facteur de renormalisation du potentiel folding nu. Les valeurs obtenues à 793 et à 1503 MeV sont indiquées dans le tableau 4.3. On pourrait s'interroger sur la validité, aux énergies plus élevées, de la relation de dispersion construite au rayon de sensibilité obtenu pour des énergies plus basses, car il est bien connu que le domaine de sensibilité du potentiel imaginaire augmente avec l'énergie, tandis que le rayon de sensibilité diminue. Il faudrait espérer que la valeur du rayon de sensibilité soit inférieure à 12.4 fm (**RO86**) pour les énergies plus élevées et que le domaine de sensibilité du potentiel soit différent de celui observé aux énergies plus basses qui, nous le savons, est très étroit (**PA95**). Nous aurions pu construire la relation de dispersion à une valeur du rayon correspondant

au rayon de sensibilité obtenu pour les énergies plus élevées, mais une telle relation de dispersion n'aurait pas de sens physique. En effet, la dépendance énergétique du potentiel réel est liée à la dépendance énergétique du potentiel imaginaire qui varie très rapidement à proximité de la barrière de Coulomb où le domaine de sensibilité du potentiel imaginaire est très étroit et se trouve localisé autour de 12.4 fm. En considérant, à ces énergies, un rayon de sensibilité plus petit que 12.4 fm correspondant aux énergies plus élevées, nous nous situerions hors du domaine de sensibilité où se produit l'absorption et, par conséquent, la valeur du potentiel imaginaire n'aurait aucun sens physique. Bien que notre relation de dispersion ait été bien construite pour les énergies plus basses, la question demeure de savoir si le potentiel calculé pour les énergies plus hautes est un potentiel correct. Afin de tester sa validité, nous avons calculé les distributions angulaires de la diffusion élastique $^{16}O + ^{208}Pb$ à 793 et à 1503 MeV, utilisant les paramètres optiques inclus dans le tableau 4.3, dans lequel nous pouvons observer que nous avons maintenu la même partie imaginaire du potentiel que pour les calculs phénoménologiques qui conduisaient au meilleur ajustement aux données, tandis que nous avons remplacé les potentiels réels phénoménologiques, inclus dans le tableau 4.1, par ceux déduits de la relation de dispersion. Étant donné que dans ces calculs nous avons maintenu les mêmes potentiels imaginaires que dans les calculs phénoménologiques de référence, ils constituent de fait une comparaison entre les potentiels réels.

Dans le tableau 4.3 nous trouvons les valeurs des sections efficaces de réaction calculées avec les potentiels indiqués, ainsi que les valeurs du paramètre χ^2/n . Ces valeurs sont pratiquement identiques à celles obtenues avec les potentiels du tableau 4.1. Dans la figure 4.1 nous montrons les résultats de ces calculs que nous ne pouvons pas distinguer des ajustements obtenus dans les calculs avec les potentiels phénoménologiques du tableau 4.1. L'excellent accord obtenu nous permet d'affirmer que le potentiel réel phénoménologique et celui calculé avec la relation de dispersion sont totalement équivalents tant à 793 MeV qu'à 1503 MeV. Dans la figure 4.3.a nous comparons le potentiel réel phénoménologique (ligne prononcée discontinue) à celui déduit de la relation de dispersion (ligne prononcée continue) à 793 MeV et nous observons qu'ils coïncident à partir de 10 fm. De manière analogue, à 1503 MeV, l'accord entre le potentiel réel phénoménologique (ligne fine discontinue) et celui calculé avec la relation de dispersion (ligne fine continue) est excellent à partir de 9.5 fm.

Tous ces résultats nous permettent de conclure que, tant à 793 MeV qu'à 1503 MeV :

- 1) Les potentiels réels, phénoménologique et calculé avec les équations 4.3 et 4.5, sont

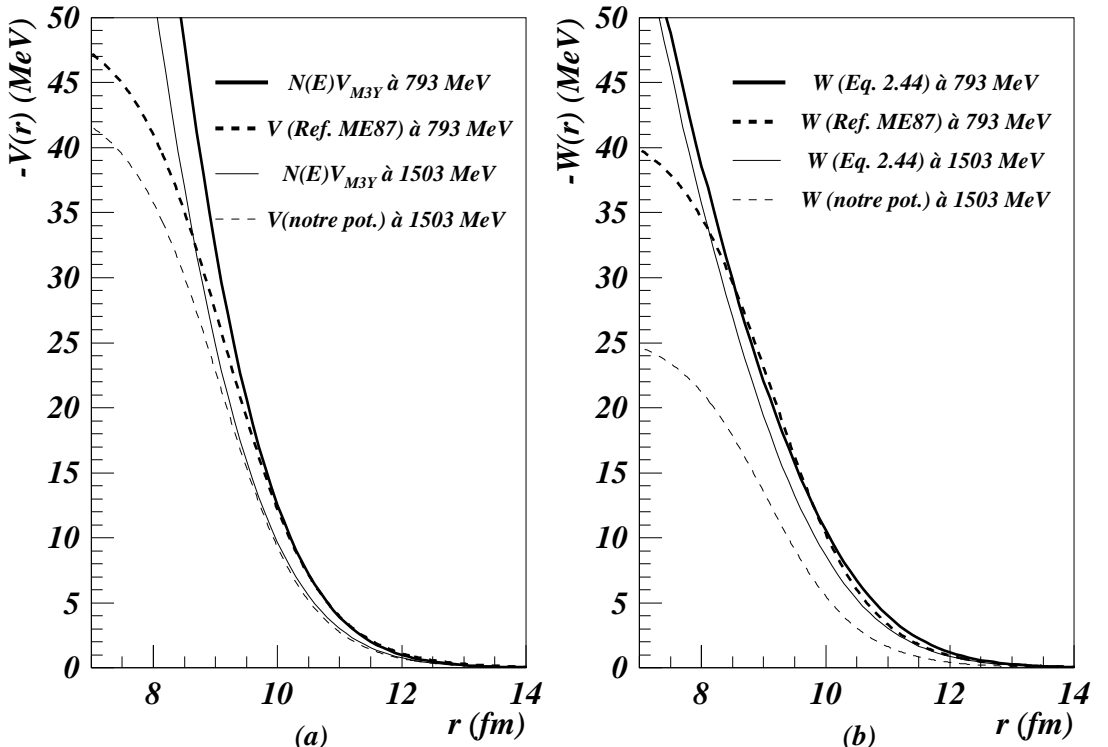


Figure 4.3 : Potentiels phénoménologiques et microscopiques à 793 et 1503 MeV pour $^{16}\text{O} + ^{208}\text{Pb}$

totallement équivalents et conduisent à des résultats pratiquement indiscernables.

2) Étant donné que les deux potentiels réels sont très différents aux petites distances et ont des valeurs très proches à partir d'environ 10 fm à 793 MeV et 9.5 fm à 1503 MeV, nous pouvons affirmer que la région de sensibilité du potentiel réel est inclue dans ce domaine et sa valeur aux distances inférieures n'a aucune incidence.

3) Étant donné que le rayon de sensibilité calculé aux énergies plus élevées (**RO85**) est situé dans la région où coïncident les potentiels réels phénoménologique et calculé, nous pouvons dire que nous avons adopté une modélisation correcte de l'équation 4.3 et nous pouvons admettre que, malgré leur grande différence aux distances inférieures à 9.5 fm, les potentiels sont totalement équivalents.

4) La dépendance énergétique observée dans le domaine de sensibilité est la même pour les deux potentiels réels.

Toutes ces conclusions justifient l'utilisation de potentiels réels déduits de la relation de dispersion pour les calculs microscopiques du potentiel imaginaire.

4.3 CALCULS MICROSCOPIQUES :

Les potentiels phénoménologiques du tableau 4.1 nous ont permis de reproduire de façon très satisfaisante les distributions angulaires $^{16}O + ^{208}Pb$ à 793 MeV et à 1503 MeV, tout au moins dans l'intervalle angulaire où ont été réalisées les mesures. Ils nous ont également permis d'obtenir les valeurs correspondantes des sections efficaces de réaction. Cependant, ils ne nous apportent aucune information sur les processus de réaction qui ont une importance significative dans l'absorption totale, ni sur la région du potentiel, superficielle ou profonde, où l'absorption se produit. C'est pour cette raison que nous utilisons des potentiels construits sur des bases microscopiques qui nous permettent de savoir quelles sont les voies d'absorption incluses dans les calculs et, par conséquent, quelle est leur importance dans l'absorption.

4.3.1 Potentiel imaginaire

Le calcul microscopique du potentiel imaginaire à 793 MeV et à 1503 MeV peut être effectué avec le modèle de l'approximation de fermeture dont les hypothèses de base ont été rappelées au chapitre 2. Pour l'évaluation de ces termes d'absorption nous utiliserons les potentiels réels déduits de la relation de dispersion et dont l'équivalence avec les potentiels phénoménologiques a été mise en évidence dans la section précédente. Nous n'indiquons ici que les paramètres que nous avons utilisés pour effectuer nos calculs (**VI91**) :

- 1) Les énergies moyennes des noyaux cible et projectile sont, respectivement, $\langle E_C \rangle = 3.5$ MeV pour ^{208}Pb et $\langle E_P \rangle = 6.5$ MeV pour ^{16}O . Elles ont été déterminées comme les énergies moyennes des états collectifs les plus bas du projectile et de la cible (2^+ , 3^- pour ^{16}O et 2^+ , 3^- , 4^+ , 5^- pour ^{208}Pb).
- 2) Les deux paramètres définissant l'interaction effective sont $V_0 = 58.7$ MeV et $\mu = 0.45$ fm^{-2} correspondant à une portée $r_0 \simeq 2$ fm. Ces valeurs ont été déterminées à l'énergie de 197 MeV, au rayon de sensibilité (12.4 fm) (**VI86**) et (**VI91**).

Avec ces paramètres et les densités des noyaux cible et projectile dans leurs états fondamentaux (Cf tableau 3.2 du chapitre 3), nous avons obtenu les potentiels imaginaires microscopiques indiqués dans la figure 4.3.b que nous comparons aux potentiels phénoménologiques de référence du tableau 4.3. A 793 MeV, les deux potentiels, phénoménologique (ligne prononcée discontinue) et microscopique (ligne prononcée continue) sont en accord pour des distances supérieures à 8 fm et présentent une portée similaire. Cependant, à 1503 MeV, le comportement des deux potentiels est complètement différent : le potentiel phénoménologique (ligne fine discontinue) présente une portée

et une profondeur inférieures à celles du potentiel microscopique (ligne fine continue). Le désaccord est manifeste dans tout le domaine de distances. Dans la figure 4.3.b, nous pouvons observer que la dépendance énergétique existant entre les potentiels phénoménologiques est différente de celle observée entre les potentiels microscopiques.

Voici, selon nous, une explication, tout au moins qualitative de ces différentes dépendances énergétiques ainsi que de la différence de portées observée : Le modèle de l'approximation de fermeture évalue la contribution au potentiel imaginaire due aux excitations du champ moyen. En particulier, les états collectifs de plus basses énergies d'excitation et les processus de transfert de nucléons, simulés principalement à travers des états de haute énergie d'excitation, ont une contribution de longue portée au potentiel d'absorption dont la dépendance énergétique est donnée uniquement par celle inclue dans le propagateur WKB. Nous savons cependant que, lors des collisions à hautes énergies, les processus de diffusion nucléon-nucléon gagnent de l'importance et contribuent de manière significative à la partie de volume du potentiel imaginaire, caractérisée par une courte portée, tandis que la dépendance énergétique du champ moyen combinée aux effets de recul tend à diminuer l'absorption à cause des processus plus périphériques tels que les excitations inélastiques de surface et les processus de transferts de nucléons (**SO92**). Dans cette référence, il est indiqué pour différents systèmes comment, y compris aux énergies de l'ordre de 50 MeV/nucléon, l'absorption reste dominée par les processus plus périphériques tandis que la contribution due à la diffusion nucléon-nucléon à grands angles n'est pas encore assez importante. Cependant, à 150 MeV/nucléon, la situation s'inverse et les processus de diffusion nucléon-nucléon sont déjà suffisamment importants pour contrôler l'absorption. Nous pouvons alors facilement comprendre pourquoi notre potentiel microscopique calculé à 793 MeV (49.5 MeV/nucléon) coïncide presque exactement avec le potentiel phénoménologique de référence à partir de 8 fm, exhibant tous les deux la même portée, alors qu'à 1503 MeV (93.9 MeV/nucléon) les deux potentiels ont une portée différente. En effet, à 793 MeV, les canaux de diffusion nucléon-nucléon contribuent faiblement à l'absorption qui est dominée par les contributions de longue portée dues aux excitations des états d'énergies plus basses inclus dans nos calculs. Cependant, à 1503 MeV la contribution à l'absorption due aux canaux de diffusion nucléon-nucléon ouverts est très importante, tandis que celle due aux états d'énergie d'excitation plus basse l'est beaucoup moins. Cette situation conduit à un potentiel d'absorption de portée moindre que celle du potentiel calculé avec le modèle de l'approximation de fermeture dans lequel

le potentiel imaginaire est dominé par les termes de longue portée qui proviennent de la contribution des états collectifs les plus bas.

4.3.2 Diffusion élastique $^{16}O + ^{208}Pb$

Utilisant le potentiel réel de double convolution, dont la dépendance énergétique a été calculée sur la base du pouvoir de prédiction de la relation de dispersion, et le potentiel imaginaire obtenu de la forme décrite dans la section précédente nous avons calculé la distribution angulaire de la diffusion élastique $^{16}O + ^{208}Pb$ à 793 MeV. Dans la figure 4.1.a nous comparons la distribution angulaire expérimentale aux calculs microscopiques (ligne continue), qu'il est impossible de distinguer des résultats obtenus avec les potentiels phénoménologiques et semi-phénoménologiques. Dans le tableau 4.4 sont indiquées les valeurs calculées de la section efficace totale de réaction, σ_R , et du paramètre χ^2/n , qui s'avèrent être très proches des valeurs obtenues avec les potentiels phénoménologiques (tableau 4.1) ou semi-phénoménologiques (tableau 4.3).

$E_{lab}(MeV)$	N(E)	$\sigma_R(mb)$	χ^2/n
793.0	0.3572	3673	0.68
1503.0	0.1957	3527	11.5

Tableau 4.4 : Calculs microscopiques de diffusion élastique.

L'excellent accord observé entre les calculs et les résultats expérimentaux, dans tout le domaine angulaire où la diffusion angulaire a été mesurée, montre l'équivalence entre le potentiel imaginaire phénoménologique de Mermaz (tableau 4.1) et celui calculé microscopiquement. Cet accord, et la coïncidence observée précédemment entre les valeurs des deux potentiels à partir de 8 fm (figure 4.3.b), ont une double signification :

- 1) Le modèle de l'approximation de fermeture inclut tous les canaux qui, à 793 MeV contribuent de manière significative à l'absorption (qui débute à partir de 8 fm environ).
- 2) Étant donné que les potentiels phénoménologiques et microscopiques utilisés dans nos calculs conduisent à des résultats indiscernables, malgré les différences de profondeurs aux distances inférieures à 8 fm, l'absorption doit avoir lieu aux distances supérieures à 8 fm ; c'est à dire à la surface du potentiel.

Ces conclusions peuvent être mises en évidence de manière beaucoup plus apparente en calculant la distribution radiale de l'absorption comme à la section 3.2.2 du chapitre 3 et en comparant le domaine de distances où elle prend des valeurs significatives à la

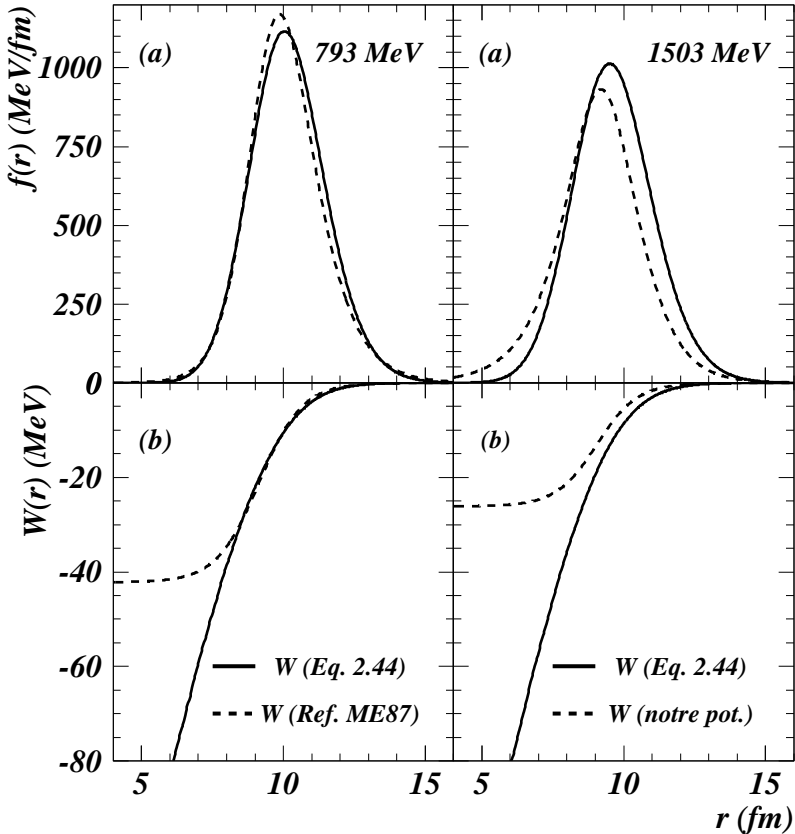


Figure 4.4 : Distributions radiales de l'absorption à 793 et 1503 MeV

distribution radiale du potentiel imaginaire responsable de cette absorption.

Dans la partie gauche de la figure 4.4.b sont présentés les potentiels imaginaires phénoménologique (ligne discontinue) et microscopique (ligne continue) utilisés pour les calculs des distributions radiales de l'absorption à 793 MeV. Dans la partie gauche de la figure 4.4.a sont comparées les distributions radiales de l'absorption calculées avec les potentiels imaginaires phénoménologique (ligne discontinue) et microscopique (ligne continue). La valeur de l'aire sous chaque courbe correspond à la section efficace totale de réaction à chaque énergie. Comme nous pouvons l'observer, l'accord entre les deux distributions radiales est excellent et les sections efficaces de réaction correspondantes diffèrent de moins de 2%. Nous observons également que la majeure partie de l'absorption a lieu à des distances supérieures à 8 fm.

Dans les figures 4.5.a-b-c nous comparons les valeurs de la fonction $(2l + 1)|\chi_l(r)|^2$ calculées à 793 MeV avec notre potentiel d'absorption microscopique (ligne continue) et le potentiel phénoménologique (ligne discontinue), pour différentes valeurs du moment angulaire l . L'accord observé dans tous les cas est excellent. La considération simultanée des figures 4.4.b (gauche) et 4.5.a-b-c nous facilite énormément la compréhension de la forme de la distribution radiale de l'absorption dont la définition analytique est donnée

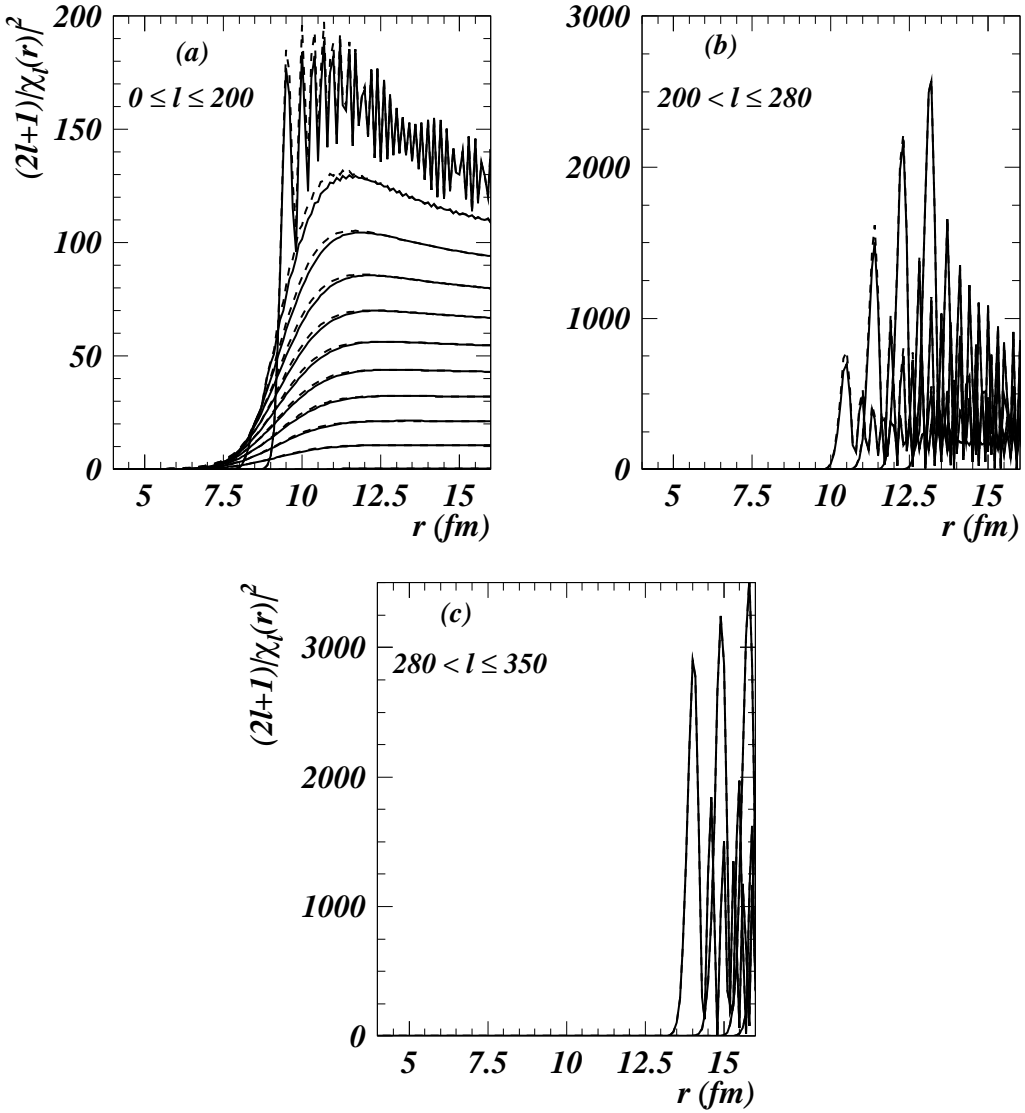


Figure 4.5 : Fonctions radiales pour $^{16}\text{O} + ^{208}\text{Pb}$ à 793 MeV

par l'équation 3.10.

En effet, aux distances inférieures à 6 fm les valeurs négligeables de la fonction $(2l+1)|\chi_l(r)|^2$ annihilent le potentiel imaginaire qui, à ces distances, est intense ; par contre, aux distances supérieures à 15 fm, c'est la valeur négligeable du potentiel imaginaire qui annihile les grandes valeurs de la fonction $(2l+1)|\chi_l(r)|^2$. Ceci a pour effet que l'absorption se produit dans un domaine de distances où les deux potentiels imaginaires coïncident. Les calculs réalisés à 1503 MeV conduisent à une situation complètement différente de celle obtenue à 793 MeV. En effet, à partir du potentiel réel déduit de la relation de dispersion et du terme microscopique d'absorption calculé avec le modèle de l'approximation de fermeture, les calculs de diffusion élastique réalisés à 1503 MeV permettent d'obtenir les valeurs de σ_R et de χ^2/n que nous indiquons dans le tableau 4.4 et qui sont très différentes de celles obtenues dans les calculs réalisés avec les potentiels phénoménologiques ou semi-

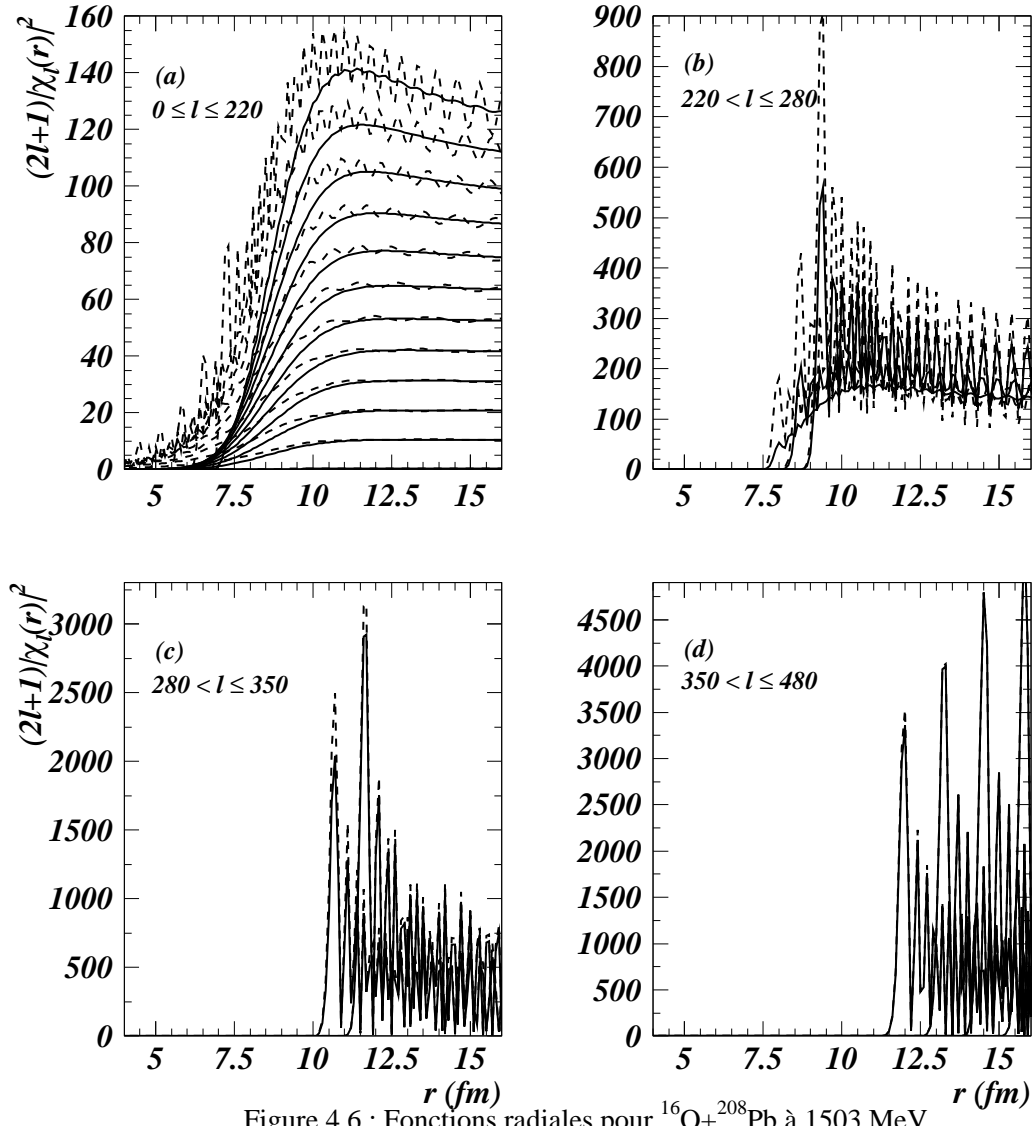


Figure 4.6 : Fonctions radiales pour $^{16}\text{O} + ^{208}\text{Pb}$ à 1503 MeV

phénoménologiques (Cf. tableau 4.1 et 4.3 repectivement).

Dans la figure 4.1.b, nous comparons les mesures expérimentales de diffusion élastique aux calculs microscopiques (ligne continue). L'accord observé est faible; notre potentiel microscopique conduisant à une section efficace de réaction qui diffère d'environ 10 % de celle calculée avec nos potentiels phénoménologiques (tableau 4.1) ou semi-phénoménologiques (tableau 4.3). Dans la partie droite de la figure 4.4.a, nous comparons les distributions radiales d'absorption calculées avec l'équation 3.10, en utilisant nos potentiels imaginaires phénoménologique (ligne discontinue) ou microscopique (ligne continue). Étant donné que notre potentiel imaginaire phénoménologique a été ajusté de manière à reproduire les données de diffusion élastique, il doit nécessairement inclure la contribution à l'absorption due à tous les canaux ouverts. Comme cela a fait l'objet d'une discussion antérieure; à cette énergie, la diffusion nucléon-nucléon devient très

importante conduisant à une forte contribution au terme élastique de volume de courte portée, tandis que la contribution des états d'énergie d'excitation plus basse conduit à un faible potentiel imaginaire de surface. Lorsque de nouveaux canaux s'ouvrent, l'absorption se distribue entre tous les canaux ouverts et la forme du potentiel imaginaire doit, par conséquent, changer. Ainsi donc, notre potentiel imaginaire phénoménologique doit avoir une portée moyenne inférieure à celle du potentiel microscopique et, ce dernier surestime les contributions des états de moindre énergie d'excitation, et ne prend pas en considération la contribution à l'absorption des processus de diffusion nucléon-nucléon. En effet, dans la partie droite de la figure 4.4.b, nous comparons les potentiels imaginaires phénoménologique (ligne discontinue) et microscopique (ligne continu) et nous observons que les deux potentiels sont très différents dans le domaine de distances où se produit l'absorption. Cette grande différence a pour conséquence que les fonctions d'onde radiales du mouvement relatif, $\chi_l(r)$, correspondant à chaque valeur l du moment angulaire relatif, et calculées avec chacun de ces potentiels sont très différentes dans la région où se produit l'absorption. Dans les figures 4.6.a-b-c-d sont représentées les fonctions $(2l + 1)|\chi_l(r)|^2$ calculées à 1503 MeV avec notre potentiel imaginaire phénoménologique (lignes discontinues) et microscopique (lignes continues). Au vu de toutes ces différences, il n'est pas surprenant qu'il y ait un désaccord entre les calculs de diffusion élastique et les données expérimentales. Il n'est pas étonnant, non plus, que les sections efficaces de réaction diffèrent de 10% et que les distributions radiales de l'absorption calculées avec nos potentiels imaginaires, phénoménologique et microscopique soient différentes.

Chapitre 5

CONSIDÉRATIONS FINALES.

5.1 RÉSULTATS ET CONCLUSIONS

Le travail de recherche dont cette thèse a fait l'objet avait pour but l'étude des interactions ion-ion aussi bien aux énergies proches de la barrière de Coulomb où les processus fortement collectifs contrôlent l'absorption, qu'aux énergies plus élevées où les phénomènes non collectifs tels que la diffusion nucléon-nucléon entrent en compétition avec les phénomènes collectifs et arrivent même à dominer l'absorption. Tout ce travail, qui a fait l'objet de quatre publications internationales (Nucl. Phys. A586 (1995) 537; Conférence publiée dans la revue Nucleus n° 26 (1999) ISSN 0864-084X ; Phys. Rev. C59 (1999) 1518 ; Phys. Rev. C60 (1999) 034612-1), a donné lieu aux résultats et conclusions suivants :

1)- Nous avons analysé les distributions angulaires de la diffusion élastique pour différents systèmes à des énergies proches de la barrière de Coulomb. Afin d'obtenir des conclusions globalement valides, nous avons sélectionné des systèmes très différents, tant du point de vue de leurs masses que de celui des caractéristiques des structures des deux noyaux en collision. Nous avons, ainsi, étudié un large éventail de systèmes allant de ceux formés par deux noyaux sphériques à couches fermées ($^{16}O+^{208}Pb$) à ceux fortement déformés et à couches ouvertes ($^{32}S+^{24}Mg$), dont les états liés de plus basses énergies sont fortement excités y compris aux énergies très proches de la barrière de Coulomb.

2)- Comme préliminaire de l'analyse des données expérimentales, nous avons ajusté les distributions angulaires de la diffusion élastique au moyen d'un potentiel optique dont la partie réelle, convenablement renormalisée, a été calculée par double convolution de l'interaction effective M3Y avec les densités des noyaux en interaction dans leurs états fondamentaux. Quant au terme d'absorption, il a été décrit par un potentiel du type Woods-Saxon dont les paramètres ont été soigneusement sélectionnés de manière à optimiser l'accord

entre les distributions angulaires mesurées et celles calculées. Les résultats obtenus lors de ces ajustements ont été appelés semiphénoménologiques et ont été adoptés comme références pour les calculs microscopiques postérieurs. En particulier, étant donné que ces potentiels ont été ajustés afin de reproduire, pour chaque cas, les données expérimentales, ils incluent tous les effets de structure, de dépendance de l'énergie, de la densité ou de l'inter-échange de nucléons bien qu'il ne soit pas possible de savoir dans quelle proportion influe chaque effet. Cependant, les distributions radiales de l'absorption calculées au moyen de ces potentiels montrent sans ambiguïté aucune qu'aux énergies proches de la barrière de Coulomb l'absorption se produit dans un étroit domaine de distances de la surface du potentiel noyau-noyau et qu'elle est totalement insensible à la valeur du terme d'absorption à petites distances, bien qu'elle s'élargisse à mesure que l'énergie de la collision augmente. Les sections efficaces de réaction déduites des ajustements aux données expérimentales se calculent à partir des distributions radiales de l'absorption et incluent tous les processus qui contribuent à l'absorption. Ils incluent, en particulier, la fusion.

3)- Utilisant les potentiels de convolution renormalisés décrits précédemment et moyennant une modélisation simple de la théorie de Feshbach, nous avons calculé la contribution à l'absorption due à un nombre réduit d'états collectifs de surface facilement excitables. Étant donné que le propagateur qui décrit le mouvement relatif des deux noyaux en interaction est un propagateur complet, et vu que nous avons inclus tous les canaux d'intérêt, notre potentiel imaginaire contient tous les processus de surface directs ou de multi-étapes qui contribuent de manière significative à l'absorption. Pour les systèmes plus fortement déformés, ($^{32}S + ^{24}Mg$, $^{35}Cl + ^{24}Mg$ et $^{37}Cl + ^{24}Mg$) les prédictions obtenues avec les potentiels microscopiques reproduisent de manière adéquate les données expérimentales et sont en total accord avec les résultats obtenus précédemment avec les potentiels semiphénoménologiques. En particulier, nos calculs montrent que l'absorption totale, qui inclut la fusion, peut être reproduite avec seulement la contribution au terme d'absorption d'un nombre réduit d'états collectifs de surface. Notre hypothèse consistant à n'inclure que les états vibrationnels de plus basse énergie et à approximer les facteurs de forme par des termes de surface implique que les voies de volume du noyau composé ne contribuent pas de manière significative à l'absorption vu que nous n'avons pris en considération que les états de surface. Notre modélisation conduit à la fusion à travers des processus de multi-étapes. Pour les autres systèmes étudiés, la contribution à l'absorption due aux processus de transfert d'un ou de plusieurs nucléons peut parfois être comparable à celle due aux processus inélastiques. L'inclusion d'un terme d'absorp-

tion phénoménologique pour décrire des processus plus périphériques que les excitations inélastiques, nous a permis de reproduire de manière satisfaisante les distributions angulaires expérimentales de la diffusion élastique. En particulier, l'augmentation de la section efficace obtenue en incluant le terme en question, par rapport à celle que l'on obtenait en ne considérant que l'absorption due aux voies inélastiques, est compatible avec la valeur de la section efficace de transfert pour les systèmes où cette dernière a été mesurée.

4)- L'utilisation de potentiels phénoménologiques décrits dans la littérature nous a permis de reproduire de façon très précise les diffusions élastiques $^{16}O + ^{208}Pb$ aux énergies de 793 MeV et 1503 MeV, et de déterminer la section efficace de réaction à ces énergies. Pour les raisons signalées précédemment, ces potentiels, ainsi que les calculs de modèle optique effectués avec, seront utilisés comme référence des calculs semiphénoménologiques et microscopiques postérieurs.

5)- A partir de potentiels imaginaires du type Woods-Saxon obtenus par ajustement aux données de la diffusion élastique $^{16}O + ^{208}Pb$ aux énergies comprises entre 78 MeV et 312.6 MeV, et moyennant une modélisation simple de la relation de dispersion (**MA86**), nous avons utilisé le pouvoir de prédiction de cette dernière pour déterminer la dépendance énergétique du potentiel réel à 793 MeV et à 1503 MeV. La validité de la relation de dispersion et l'équivalence entre ces potentiels et les potentiels phénoménologiques ont été clairement mises en évidence. En effet, en remplaçant les potentiels réels phénoménologiques par ceux extraits de la relation de dispersion, les calculs de modèle optique nous permettent de reproduire les données avec une qualité similaire et d'obtenir la même valeur de la section efficace de réaction. Bien que les deux types de potentiel aient des profondeurs très différentes ils présentent la même dépendance énergétique et coïncident à partir de 10 fm à 793 MeV et de 9.5 fm à 1503 MeV. Ceci indique qu'aux petites distances, la valeur du potentiel réel n'est pas significative.

6)- En utilisant les potentiels réels extraits de la relation de dispersion et le modèle proposé par N. Vinh Mau, nous avons calculé le terme d'absorption du potentiel. Étant donné que le modèle évalue de façon globale la contribution à l'absorption due aux voies non-élastiques, l'analyse de la diffusion élastique $^{16}O + ^{208}Pb$ à 793 MeV et à 1503 MeV peut nous indiquer si, à ces énergies, l'absorption reste encore contrôlée par les processus collectifs inclus dans le modèle et, par conséquent, si le modèle est toujours valide à ces énergies relativement élevées. Nos calculs à 793 MeV conduisent à des résultats identiques à ceux obtenus avec les potentiels de référence. Nous observons un excellent accord entre les potentiels microscopique et phénoménologique à partir de 8 fm qui est la

valeur où débute la région dans laquelle se produit l'absorption. Par contre, à 1503 MeV, le potentiel phénoménologique a une portée plus courte que le microscopique. Ceci conduit à des calculs de modèle optique qui ne reproduisent pas convenablement les données expérimentales. Ce désaccord n'est pas surprenant en soi étant donné que le modèle n'inclut pas les processus de diffusion nucléon-nucléon qui conduisent à une absorption de volume dont l'importance croît avec l'énergie.

5.2 PERSPECTIVES FUTURES.

Les résultats obtenus dans notre analyse microscopique aux énergies proches de la barrière de Coulomb ouvrent différentes possibilités pour continuer ce travail de recherche.

En premier lieu, étant donné qu'aux énergies très proches de la barrière de Coulomb les effets de polarisation coulombienne représentent une partie de l'absorption comparable à celle d'origine nucléaire, il est nécessaire d'inclure ces effets dans la modélisation de la théorie de Feshbach du potentiel optique que nous avons construite. Ceci peut se faire en calculant les éléments de matrice avec des facteurs de forme décrivant les deux contributions dues aux polarisations d'origine coulombienne et nucléaire.

En deuxième lieu, et pour maintenir la cohérence des calculs, il serait intéressant d'introduire comme termes de Feshbach, les contributions à l'absorption dues aux processus de transferts les plus significatifs.

En troisième lieu, vu que notre modélisation permet d'obtenir non seulement la contribution totale à l'absorption, mais aussi celle due à chacune des voies incluses dans le calcul, il est possible de déterminer aussi bien la section efficace totale de réaction qu'une distribution à travers les différents canaux. Par ailleurs si, tel qu'il a été mis en évidence dans un travail antérieur sur la fusion sous-coulombienne (**VI93**), ce sont les processus multi-étapes qui conduisent à la fusion, il est possible de calculer séparément les contributions à l'absorption dans chaque canal dues aux processus directs et de multi-étapes et, par conséquent, calculer la contribution à la section efficace de fusion correspondant à chaque voie de réaction.

Enfin, il faudrait signaler que les résultats obtenus lors de l'analyse de la diffusion $^{16}O + ^{208}Pb$ avec le modèle proposé par N. Vinh Mau à des énergies allant de 78 MeV à, au moins, 793 MeV, ainsi que la capacité de prédiction du modèle pour les calculs de fusion sous-coulombienne, nous permettent de conclure que dans la perspective de calculs futurs, ils pourraient être adoptés comme calculs-modèles de référence, comme nous l'avons fait

auparavant avec les calculs phénoménologiques ou semiphénoménologiques.

Références :

- (AN90) M.A. Andrés, F. Catara et F.G. Lanza,
Inst. Conf. Ser. 110 (1990) 231 ;
Phys. Rev. C44 (1991) 2709.
- (AZ85) M. El Azab Farid et G.R. Satchler,
Nucl. Phys. A438 (1985) 525.
- (BA84) A. Baeza, B. Bilwes, R. Bilwes, J. Diaz et J.L. Ferrero,
Nucl. Phys. A419 (1984) 412.
- (BA91) J.M. Barrigon,
Thèse de doctorat de l'université de Extremadura, Espagne 1991.
- (BA92) J.M. Barrigon, A. Baeza, J.L. Ferrero, J.C. Pacheco B. Bilwes et R. Bilwes,
Nucl. Phys. A545 (1992) 720.
- (BE77) G. Bertsch, J. Borisowicz, H. Mc Manus et W.G. Love,
Nucl. Phys. A284 (1977) 399.
- (BI83) B. Bilwes, R. Bilwes, V. D'Amico, J.L. Ferrero, G. Giardina et R. Potenza,
Nucl. Phys. A408 (1983) 173.
- (BI86) R. Bilwes et B. Bilwes,
Rapport C.R.N. (1986) 13.
- (BI87) B. Bilwes, R. Bilwes, F. Ballester, J. Diaz, J.L. Ferrero, C. Roldan,
L. Stuttgé et F. Sanchez,
Nucl. Phys. A473 (1987) 353.
- (BI91) B. Bilwes, R. Bilwes, N. Vinh Mau, J.L. Ferrero et J.C. Pacheco,
Nucl. Phys. A526 (1991) 292
- (BO75) A. Bohr et B.R. Mottelson,
Nuclear Structure, W.A. Benjamin, INC. New York (1975).
- (BO81) A. Bouyssy, N. Vinh Mau et D.M. Brink,
Phys. Lett. 102B (1981) 109.
- (BOR75) F. Borkowski et G.C. Li,
Z. Phys. (1975) 29
- (BOU81) A. Bouyssy, H. Ngô et N. Vinh Mau,
Nucl. Phys. A371 (1981) 173.

- (BR59)** G.E. Brown et M. Bosterli,
Phys. Rev. Lett. 3 (1959) 472.
- (BR77)** D.M. Brink et N. Tagikawa,
Nucl. Phys. A279 (1977) 159.
- (BR80)** W.J. Briscoe, H. Crannell et J.C. Bergstrom,
Nucl. Phys. A344 (1980) 475.
- (BR81)** R.A. Broglia et A. Winther,
Heavy ion reactions, The Benjaming Cummings Publ. Co. Reading. Mass. (1981).
- (BR85)** M. Brack, C. Guet et R.B. Hakansson,
Phys. Rep. 123 (1985) 274.
- (BRO81)** R.A. Broglia, G. Pollarolo et A. Winter,
Nucl. Phys. A361 (1981) 307
- (CO82)** J. Cook,
Comput. Phys. Commun. 25 (1982) 125.
- (DI89)** J. Diaz, J.L. Ferrero, J.A. Ruiz, B. Bilwes et R. Bilwes,
Nucl. Phys. A494 (1989) 311.
- (EL85)** El Itaoui, J.P. Ellis et B.A. Mughrabi,
Nucl. Phys. A441 (1985) 511.
- (EN78)** P.M. Endt et C. Van der Leun,
Nucl. Phys. A310 (1978) 1
- (ER72)** R. Erwein,
Mémoire d'ingénieur, CNAM, Mulhouse, (1972).
- (FA83)** A. Faessler, L. Rikus et S.B. Khadkikar,
Nucl. Phys. A401 (1983) 157.
- (FE58)** H. Feshbach,
Ann. of Phys. 5 (1958) 357.
- (FE62)** H. Feshbach,
Ann. of Phys. 19 (1962) 287.
- (FE90)** J.L Ferrero, J.C. Pacheco, A. Baeza, J.M. Barrigon, B. Bilwes, R. Bilwes
et N.Vinh Mau,
Nucl. Phys. A514 (1990) 367.

- (FE92)** H. Feshbach,
Theoretical nuclear physics : Nuclear reactions, John Wiley and Sons, Inc. U.S.A. (1992).
- (FR68)** R.F. Frosch, R. Hofstadter, J.S. Mc Carthy, G.K. Noldeke, K.J. Van Oostrum, B.C. Clark, R. Herman et D.G. Ravenhall,
Phys. Rev. 174 (1968) 1380.
- (GO76)** M. Golin, F. Petrovich et D. Robson,
Phys. Lett. 64B (1976) 253.
- (GR68)** G.W. Greenless, G.J. Pyle et Y.C. Tang,
Phys. Rev. 171 (1968) 1115.
- (HE56)** R.H. Helm,
Phys. Rev. 104 (1956) 1466.
- (HO63)** P.E. Hodgson,
The optical model of elastic scattering, Oxford University Press, (1963).
- (HO80)** H. Horinchi,
Prog. Theor. Phys. 64 (1980) 184.
- (HU81)** B. Humbert,
Thèse de doctorat de l'université L.Pasteur, Strasbourg, France (1981).
- (JA70)** D.F. Jackson,
Nuclear reactions, Methuen and Co LTD, London, 1970.
- (JA74)** C.W. De Jaeger et H. De Vries,
Atomic Data Tables 14 (1974) 479.
- (KA73)** D. Kalinsky,
Preprint 16/928-6258, The Weizmann Institute of Science (1973).
- (KA75)** D. Kalinsky, D. Melnic, U. Smilansky, N. Trautner, B.A. Watson, Y. Horowitz, S. Mordechai, G. Baur et D. Pelt,
Nucl. Phys. A250 (1975) 364.
- (KA77)** D. Kalinsky, D. Melnic, U. Smilansky, N. Trautner, Y. Horowitz et S. Mordechai,
Nucl. Phys. A289 (1977) 205.

- (KH81) S.B. Khadkikar, L. Rikus, A. Faessler et R. Sartor,
Nucl. Phys. A369 (1981) 495.
- (KO84) A.M. Kobos, B.A. Brown, R. Lindsay et G.R. Satchler,
Nucl. Phys. A425 (1984) 233.
- (KU81) K.I. Kubo et P.E. Hodgson,
Nucl. Phys. A366 (1981) 320.
- (KU91) K.I. Kubo,
Nucl. Phys. A534 (1991) 381.
- (LI) I. Linck,
Communication privée.
- (LIL) J. Lilley,
Communication privée.
- (LI74) G.C. Li et M.R. Yerian,
Phys. Rev. C9 (1974) 1861.
- (LI85) J.S. Lilley, B.R. Fulton, M.A. Nagarajan, J.J. Thompson et D.W. Banes,
Phys. Lett. B151 (1985) 181.
- (LO75) W.G. Love,
Nucl. Phys. A239 (1975) 74.
- (LO77) W.G. Love, T. Teresawa et G.R. Satchler
Nucl. Phys. A291 (1977) 183.
- (MA86) C. Mahaux, H. Ngô et G.R. Satchler,
Nucl. Phys. A449 (1986) 354;
Nucl. Phys. A456 (1986) 134.
- (ME87) M.C. Mermaz et al.,
Z. Phys. A326 (1987) 353.
- (NAG) M.A. Nagarajan
Private communication.
- (NA85) M.A. Nagarajan, C. Mahaux et G.R. Satchler,
Phys. Lett. 54 (1985) 1136.
- (PA91) J.C. Pacheco, J.L. Ferrero, N. Vinh Mau et B. Bilwes,
Phys. Lett. B267 (1991) 455.

- (PA95)** J.C. Pacheco, B. Bilwes, F. Sanchez, J.A. Ruiz, J. Diaz, J.L. Ferrero et M.D. Kadi-Hanifi,
Nucl. Phys. A588 (1995) 537.
- (PA97)** J.C. Pacheco,
(1997) non publié.
- (PAC95)** J.C. Pacheco,
(1995) non publié.
- (PE62)** F.G. Perey et B. Buck,
Nucl. Phys. 32 (1962) 363.
- (PE64)** F.G. Perey et D.S Saxon,
Phys. Lett. 10 (1964) 107.
- (PE80)** R. Peierls et N. Vinh Mau,
Nucl. Phys. A343 (1980) 1.
- (PO76)** J.E. Poling, E. Norbeck et R.R. Carlson,
Phys. Rev. C13 (1976) 648.
- (PO83)** G. Pollarolo, R.A. Broglia, et A. Winther,
Nucl. Phys. A406 (1983) 369
- (RA81)** J. Raynal,
Phys. Rev. C23 (1981) 2571
- (RA94)** J. Raynal,
Nuclear Data Bank of the OCDE (1994).
- (RO)** P. Roussel,
Communication privée.
- (RO86)** P. Roussel,
Thèse d'état. Université Paris-Sud. Centre d'Orsay (1986).
- (RO88)** P. Roussel-Chomaz, N. Alamanos, F. Auger, J. Barrette, B. Berthier,
B. Fernandez, L. Papineau, H. Doubre et W. Mittig,
Nucl. Phys. A477 (1988) 345
- (SA79)** G.R. Satchler et G.W. Lowe,
Phys Rep. 55 (1979) 183.
- (SA82)** A.B. Santra et B. Shina,
Phys. Lett. 110B (1982) 359.

- (SA83)** G.R. Satchler,
 Direct Nuclear Reactions (Oxford University Press 1983) Sect.
 4.3, p. 126.
- (SA89)** F. Sanchez,
 Thèse de doctorat de l'université de Valencia, Espagne (1989).
- (SC69)** L.I. Schiff,
 Quantum Mechanics, Mc Graw-Hill, New York, (1969).
- (SO92)** J.H. Sørensen et A. Winther,
 Nucl. Phys. A550 (1992) 329.
- (ST85)** L. Stuttgé,
 Thèse de doctorat de l'université Louis Pasteur, Strasbourg,
 France (1985).
- (TH85)** I.J. Thompson, M.A. Nagarajan, J.S. Lilley et B.R. Fulton,
 Phys. Lett. 157B (1985) 250.
- (VA75)** R. Vandenbosch et M.P. Webb,
 Univ. of Washington Nuc. Phys. Lab. Annual Rep. (1975) 136,
 unpublished.
- (VI77)** F. Videbaek, R.B. Golgstein, L. Grodzins, S.G. Steadman, T.A. Belote
 et J.D. Garrett,
 Phys. Rev. C15 (1977) 954.
- (VI86)** N. Vinh Mau,
 Nucl. Phys. A457 (1986) 413.
- (VI87)** N. Vinh Mau,
 Nucl. Phys. A470 (1987) 406.
- (VI90)** N. Vinh Mau,
 Inst. Phys. Conf. Ser. N 110 (1990) 1
- (VI91)** N. Vinh Mau, J.L. Ferrero, J.C. Pacheco et B. Bilwes,
 Nucl. Phys. A531 (1991) 435. et Phys. Rev. C47 (1993) 899.
- (VI93)** N. Vinh Mau, J.C. Pacheco, J.L. Ferrero et B. Bilwes,
 Nucl. Phys. A560 (1993) 879.

- (VIN93)** N.Vinh Mau,
Théorie des réactions nucléaires : Modèles d’interaction directe,
Institut de Physique Corpusculaire, Valencia, Espagne (1993).
- (VR87)** H. de Vries, C.W. de Jager et C. de Vries,
Atomic. Data and Nuclear Data Tables, 36 (1987) 495.
- (WE72)** L. Wendling,
Mémoire d’ingénieur, CNAM, Mulhouse, (1972).
- (WO54)** R.D. Woods et D.S. Saxon,
Phys. Rev. 95 (1954) 577.
- (ZE77)** G. Zenhacker,
Rapport C.R.N., S.A.T.D., Strasbourg, France (1977).

